

UNIVERSIDADE FEDERAL DE SÃO CARLOS
CENTRO DE CIÊNCIAS EXATAS E DE TECNOLOGIA
PROGRAMA DE PÓS-GRADUAÇÃO EM MATEMÁTICA

O Problema de Cauchy para a Equação da Onda Cúbica

Marcos Alves de Farias

SÃO CARLOS - SP
2011

UNIVERSIDADE FEDERAL DE SÃO CARLOS
CENTRO DE CIÊNCIAS EXATAS E DE TECNOLOGIA
PROGRAMA DE PÓS-GRADUAÇÃO EM MATEMÁTICA

O Problema de Cauchy para a Equação da Onda Cúbica

Marcos Alves de Farias

Orientador: Prof. Dr. José Ruidival Soares dos Santos Filho

Dissertação apresentada ao Programa de Pós-Graduação em Matemática da Universidade Federal de São Carlos, como parte dos requisitos para a obtenção do Título de Mestre em Matemática.

SÃO CARLOS - SP
2011

**Ficha catalográfica elaborada pelo DePT da
Biblioteca Comunitária da UFSCar**

F224pc

Farias, Marcos Alves de.

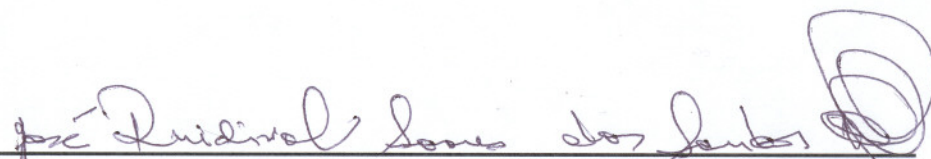
O problema de Cauchy para a equação da onda cúbica /
Marcos Alves de Farias. -- São Carlos : UFSCar, 2011.
75 f.

Dissertação (Mestrado) -- Universidade Federal de São
Carlos, 2011.

1. Equações diferenciais parciais. 2. Análise harmônica. 3.
Teoria das distribuições - análise funcional. I. Título.

CDD: 515.353 (20ª)

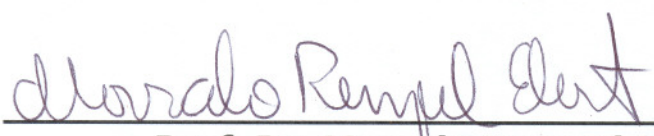
Banca Examinadora:



Prof. Dr. José Ruidival Soares dos Santos Filho
DM - UFSCar



Prof. Dr. Cezar Issao Kondo
DM - UFSCar



Prof. Dr. Marcelo Rempel Ebert
FFCLRP - USP

Pelos anos que passei em São Carlos, dedico este trabalho a meu pai, pois acredito que teria dado a própria vida para que eu pudesse realizar meus sonhos.

Agradecimentos

Agradeço primeiramente aos meus pais Carlos e Dionisia por todo apoio que me deram em cada etapa de minha vida, acredito que muito das conquistas que eu tive se devem a todas as lições que aprendi com eles. Devo também um agradecimento especial ao Professor José Ruidival dos Santos Filho pela preciosa orientação que me deu durante todo o período de mestrado e por toda paciência que tenho certeza teve para comigo. Agradeço também a toda minha família e aos meus amigos em especial Luiz e Liang pelos passeios em São Paulo e ao Emílio por todo companherismo em São Carlos. Acredito que também devo um agradecimento a meu primo Thiago por ter plantado em mim a semente de um sonho que acredito estar realizando hoje, estudar. Finalmente, agradeço a CAPES pelo auxílio financeiro.

Resumo

Neste trabalho estudamos um resultado de boa colocação global para a equação da onda cúbica $\partial_t^2 u - \Delta u + u^3 = 0$ em $\mathbb{R} \times \mathbb{R}^3$, no qual os dados de Cauchy estão no espaço de Sobolev $H^s(\mathbb{R}^3) \times H^{s-1}(\mathbb{R}^3)$, para $\frac{13}{18} < s < 1$. A prova é baseada no trabalho de T. Roy, [23], nele é estabelecido uma lei de quase conservação de energia e a partir disso se obtém uma desigualdade que aliada a teoria da boa colocação local estabelecida por Lindbald e Sogge em [18] garante a boa colocação global para o problema.

Palavras chaves: Equação da Onda Cúbica, Decomposição Homogênea de Littlewood Paley, Estimativas de Strichartz, Energia Modificada.

Abstract

In this work, we study the result of global well-Posedness for the cubic wave equation $\partial_t^2 u - \Delta u + u^3 = 0$ in $\mathbb{R} \times \mathbb{R}^3$, where the Cauchy data is in the Sobolev space $H^s(\mathbb{R}^3) \times H^{s-1}(\mathbb{R}^3)$ with $\frac{13}{18} < s < 1$. The proof is based on the work of T. Roy, [23], in this paper Roy propose a almost conservation law for the energy and from this he get a inequality that together with the local well-posedness theory proved by Lindbald and Sogge in [18] guarantee the global well-posedness for the problem.

Keywords: Cubic Wave Equation, Homogeneous Littlewood-Paley Decomposition, Strichartz estimates, Mollified Energy.

Sumário

| | |
|---|-----------|
| Introdução | 1 |
| 1 Preliminares | 3 |
| 1.1 Espaços L^p | 3 |
| 1.2 Distribuições | 5 |
| 1.3 Espaços de Sobolev | 10 |
| 1.4 Decomposição de Littlewood-Paley e Espaços de Besov | 19 |
| 2 Estimativas de Strichartz | 27 |
| 2.1 Notação | 27 |
| 2.2 Estimativas | 27 |
| 3 A Equação da Onda Cúbica | 36 |
| 3.1 Introdução | 36 |
| 3.2 Resultados Preliminares | 40 |
| 3.3 Prova do teorema principal | 67 |
| Referências Bibliográficas | 74 |

Introdução

O objetivo deste trabalho é estudar um resultado de boa colocação global para o problema de Cauchy envolvendo a equação da onda cúbica, isto é,

$$\begin{cases} \partial_{tt}u - \Delta u &= -u^3 \\ u(0, x) &= u_0(x) \\ \partial_t u(0, x) &= u_1(x) \end{cases} \quad (1)$$

com dados iniciais $(u_0, u_1) \in H^s(\mathbb{R}^3) \times H^{s-1}(\mathbb{R}^3)$ e $\frac{13}{18} < s < 1$.

Diremos que o problema da onda cúbica é localmente bem posto no espaço $H^s(\mathbb{R}^3) \times H^{s-1}(\mathbb{R}^3)$ se para quaisquer dados iniciais $(u_0, u_1) \in H^s(\mathbb{R}^3) \times H^{s-1}(\mathbb{R}^3)$, existir uma bola $B \subset H^s(\mathbb{R}^3) \times H^{s-1}(\mathbb{R}^3)$ contendo (u_0, u_1) tal que

- Existe um tempo $T > 0$, um conjunto $X_T \subset C([0, T], H^s(\mathbb{R}^3)) \times C([0, T], H^{s-1}(\mathbb{R}^3))$ e um único par de funções $(u, \partial_t u)$ em X_T satisfazendo (1).
- A aplicação

$$\Psi : B \longrightarrow X_T$$

$$(v_0, v_1) \longmapsto (v, \partial_t v)$$

é uniformemente contínua.

É conhecido que (1) é localmente bem posto em $H^s(\mathbb{R}^3) \times H^{s-1}(\mathbb{R}^3)$ para $s \geq 1$. Lindbald e Sogge em [18] provaram que o problema (1) é localmente bem posto para $\frac{1}{2} < s < 1$. Além da boa colocação local para esses casos, temos também que o tempo de existência local das soluções dependem somente da norma dos dados iniciais $\|(u_0, u_1)\|_{H^s \times H^{s-1}} = \|u_0\|_{H^s} + \|u_1\|_{H^{s-1}}$ e essa dependência faz com que T decresça com o aumento de $\|(u_0, u_1)\|_{H^s \times H^{s-1}}$.

Este resultado de boa colocação local tem grande importância no trabalho de Roy, [23], pois é a partir dele que Roy prova a boa colocação global para o problema (1).

Por boa colocação global entendemos que o problema da onda cúbica é localmente bem posto no espaço $H^s(\mathbb{R}^3) \times H^{s-1}(\mathbb{R}^3)$ e a solução local u existe para todo $T \geq 0$.

Devido a teoria da boa colocação local, Roy precisou apenas provar uma desigualdade do tipo

$$\|(u(T), \partial_t u(T))\|_{H^s \times H^{s-1}} \leq C(s, \|u_0\|_{H^s}, \|u_1\|_{H^{s-1}}, T), \quad \forall T \in (0, \infty) \quad (2)$$

para obter a boa colocação global.

De fato, se T^* representa o supremo dos instantes T tal que existe uma única solução $(u, \partial_t u) \in C([0, T], H^s(\mathbb{R}^3)) \times C([0, T], H^{s-1}(\mathbb{R}^3))$, então para $s > \frac{1}{2}$ há duas possibilidades:

1. $T^* = \infty$, neste caso temos a boa colocação global.
2. $T^* < \infty$ e neste caso vale

$$\lim_{t \rightarrow T^*} (\|u(t)\|_{H^s} + \|\partial_t u(t)\|_{H^{s-1}}) = \infty. \quad (3)$$

Observemos que supondo $T^* < \infty$ e $\lim_{t \rightarrow T^*} \|u(t)\|_{H^s} + \|\partial_t u(t)\|_{H^{s-1}} < \infty$, então pela definição de limite existirá uma sequência $\{t_n\}_{n \in \mathbb{N}}$ e um $M > 0$ tal que

- $t_n \nearrow T^*$.
- $\|u(t_n)\|_{H^s} + \|\partial_t u(t_n)\|_{H^{s-1}} \leq M, \forall n \in \mathbb{N}$.

Portanto, tomando $\varphi_n = u(t_n)$ e $\psi_n = \partial_t u(t_n)$, teremos (φ_n, ψ_n) pertencente a $H^s(\mathbb{R}^3) \times H^{s-1}(\mathbb{R}^3)$ tal que $\|\varphi_n\|_{H^s} \leq M$ e $\|\psi_n\|_{H^{s-1}} \leq M$ e pela teoria da boa colocação local existirá uma única solução $v_n(t)$ para o problema

$$\begin{cases} \partial_{tt} v_n - \Delta v_n &= -v_n^3 \\ v_n(0) &= \varphi_n \\ \partial_t v_n(0) &= \psi_n \end{cases}$$

além disso, essas soluções $v_n(t), n \in \mathbb{N}$, estarão bem definidas em um intervalo $[0, T_M)$, para algum T_M que depende apenas de M . Definindo

$$\tilde{u}_n(t) = \begin{cases} u(t), & \text{se } 0 \leq t < t_n \\ v_n(t - t_n), & \text{se } t_n \leq t < t_n + T_M \end{cases}$$

teremos que $\tilde{u}_n(t)$ é uma solução para (1) definida em $[0, t_n + T_M)$. Agora como $t_n \nearrow T^*$ segue que existe um $n_0 \in \mathbb{N}$ tal que $t_{n_0} + T_M > T^*$ e portanto $\tilde{u}_{n_0}(t)$ será uma solução definida em $[0, t_{n_0} + T_M)$, o que é uma contradição, pois o intervalo $[0, T^*)$ é maximal.

Portanto, se tivermos uma desigualdade a priori do tipo (2), então o limite (3) será finito e assim teremos a boa colocação global.

Capítulo 1

Preliminares

Estabeleceremos neste capítulo os resultados básicos que serão utilizados no desenvolvimento deste trabalho. Iniciaremos este capítulo discutindo algumas propriedades que envolvem espaços de Lebesgue L^p bem como das distribuições \mathcal{D}' e de Sobolev H_r^s e concluiremos com a decomposição homogênea de Littlewood-Paley e a definição de espaço homogêneo de Besov $\dot{B}_{r,s}^p$.

1.1 Espaços L^p

Nesta seção denotaremos por X um espaço de medida arbitrária e por μ uma medida positiva definida em X .

Definição 1.1.1 *Sejam $0 < p \leq \infty$ e f uma função complexa mensurável em X , definiremos:*

$$\|f\|_{L^p} = \left(\int_X |f|^p d\mu \right)^{\frac{1}{p}}, \quad p < \infty$$

$$\|f\|_{L^\infty} = \inf\{a \geq 0 : \mu(\{x \in X : |f(x)| > a\}) = 0\}$$

e por $L^p(\mu)$ o espaço das funções complexas mensuráveis em X tal que

$$\|f\|_{L^p} < \infty.$$

Para $1 \leq p \leq \infty$ se dissermos que duas funções que coincidam em quase toda parte define o mesmo elemento em $L^p(\mu)$ estamos dando propriedades de norma para $\|\cdot\|_{L^p}$ e no caso de $1 \leq p < \infty$ estaremos definindo $L^p(\mu)$ como um espaço de Banach. Para a demonstração deste resultado, veja [10].

Se a medida em questão μ for a de Lebesgue e o espaço for \mathbb{R}^n ou algum subconjunto aberto Ω do \mathbb{R}^n então denotaremos $L^p(\mu)$ por $L^p(\mathbb{R}^n)$ ou $L^p(\Omega)$. Caso nada seja dito quando nos referirmos a funções mensuráveis, estaremos nos referindo as funções Lebesgue mensuráveis.

Para registro de informação, diremos que $p, q \in (1, \infty)$ são expoentes conjugados, se $\frac{1}{p} + \frac{1}{q} = 1$.

Proposição 1.1.1 (Desigualdade de Hölder) *Sejam $1 < p, q < \infty$ expoentes conjugados. Se f e g são funções mensuráveis em X , então*

$$\int_X |fg| d\mu \leq \|f\|_{L^p} \|g\|_{L^q}$$

$$\int_X |fg| d\mu \leq \|f\|_{L^1} \|g\|_{L^\infty}.$$

Demonstração: Ver [10], pág. 174.

Proposição 1.1.2 *Se $0 < p < q < r \leq \infty$, então $L^p \cap L^r \subset L^q$ e $\|f\|_{L^q} \leq \|f\|_{L^p}^\lambda \|f\|_{L^r}^{1-\lambda}$, onde $\lambda \in (0, 1)$ é definido por*

$$\lambda = \frac{q^{-1} - r^{-1}}{p^{-1} - r^{-1}}.$$

Demonstração: Ver [10], pág. 185.

Proposição 1.1.3 (Desigualdade de Chebychev) *Se $f \in L^p (1 \leq p < \infty)$, então para todo $\lambda > 0$, vale:*

$$\mu(\{x : |f(x)| > \lambda\}) \leq \left(\frac{\|f\|_{L^p}}{\lambda}\right)^p.$$

Demonstração: Ver [10], pág. 178.

A seguir enunciaremos uma caracterização para a norma L^p através de integrais sobre $[0, \infty)$.

Teorema 1.1.1 *Se $0 \leq p < \infty$, então para toda função mensurável, segue:*

$$\|f\|_{L^p}^p = p \int_0^\infty \lambda^{p-1} \mu(\{x : |f(x)| > \lambda\}) d\lambda.$$

Demonstração: Ver [10], pág. 191.

Definição 1.1.2 *Sejam f e g funções mensuráveis em \mathbb{R}^n , definiremos a convolução de f por g como segue abaixo:*

$$f * g(x) = \int_{\mathbb{R}^n} f(y)g(x - y)dy$$

para todo $x \in \mathbb{R}^n$ tal que a integral acima seja finita.

Proposição 1.1.4 (Desigualdade de Young) *Sejam $f \in L^p(\mathbb{R}^n)$ e $g \in L^q(\mathbb{R}^n)$. Se $\frac{1}{p} + \frac{1}{q} = 1 + \frac{1}{r}$, então*

$$\|f * g\|_{L^r} \leq \|f\|_{L^p} \|g\|_{L^q}.$$

Demonstração: Ver [10], pág. 241.

Proposição 1.1.5 *Se $f \in L^p(\mathbb{R}^n)$, com $1 < p \leq \infty$, então para a função Mf definida por*

$$Mf(x) = \sup_{r>0} \frac{1}{m(B(x,r))} \int_{B(x,r)} |f(y)| dy$$

vale,

$$\|Mf\|_{L^p} \leq A_p \|f\|_{L^p}$$

onde A_p depende somente de p e da dimensão n .

Demonstração: Ver [26], pág. 5.

1.2 Distribuições

Sejam Ω um subconjunto aberto do \mathbb{R}^n e $\phi : \Omega \rightarrow \mathbb{C}$ uma função contínua. Definiremos o suporte $Supp(\phi)$ de ϕ como o fecho em Ω do conjunto $\{x \in \Omega : \phi(x) \neq 0\}$.

Definição 1.2.1 *Seja Ω um subconjunto aberto do \mathbb{R}^n . Denotaremos por $C_0^\infty(\Omega)$ o espaço das funções infinitamente diferenciáveis com suporte compacto. As funções deste espaço daremos o nome de funções testes.*

Como um exemplo de função teste em \mathbb{R}^n , tome

$$\phi(x) = \begin{cases} e^{-(|x|^2-1)^{-1}}, & \text{se } |x| < 1 \\ 0, & \text{se } |x| \geq 1 \end{cases}$$

Para a prova de que esta de fato é uma função teste, veja na referência [14].

Proposição 1.2.1 *Seja Ω um subconjunto aberto do \mathbb{R}^n . Se K é um subconjunto compacto de Ω , então existe uma função $\psi \in C_0^\infty(\Omega)$ tal que $0 \leq \psi(x) \leq 1$ para todo x em Ω e $\psi(x) = 1$ em uma vizinhança de K .*

Demonstração: Ver [14], pág. 7.

Definição 1.2.2 *Diremos que uma sequência de funções $\{\phi_j\}_{j \in \mathbb{N}}$ em $C_0^\infty(\Omega)$ converge a zero em $C_0^\infty(\Omega)$ se satisfizer duas condições:*

1. *Existe um subconjunto compacto K de Ω tal que $Supp(\phi_j) \subseteq K, \forall j \in \mathbb{N}$.*
2. *Para todo inteiro positivo m , as derivadas de ordem m das funções ϕ_j convergem uniformemente a zero quando j tende para infinito.*

Vale observar que é possível dotar $C_0^\infty(\Omega)$ com uma topologia de forma a tornar $C_0^\infty(\Omega)$ um espaço topológico completo e garantir que a noção de convergência nessa topologia coincida como a da definição acima. Para isso veja [3].

Definição 1.2.3 Seja $\Omega \subseteq \mathbb{R}^n$ aberto. Um funcional linear contínuo $u : C_0^\infty(\Omega) \rightarrow \mathbb{C}$ é dito uma distribuição em Ω . Denotaremos o espaço das distribuições em Ω por $\mathcal{D}'(\Omega)$.

Por vezes é conveniente escrever $\langle u, \phi \rangle$ em vez de $u(\phi)$.

Exemplo 1.2.1 Considere $\Omega = \mathbb{R}^n$ e defina $\delta_0(\phi) = \phi(0)$, $\forall \phi \in C_0^\infty(\mathbb{R}^n)$. Esta distribuição é conhecida como delta de Dirac.

Para criarmos uma série de exemplos de distribuições, podemos definir o seguinte conjunto.

Definição 1.2.4 Se $f : \Omega \subseteq \mathbb{R}^n \rightarrow \mathbb{C}$ é uma função Lebesgue mensurável tal que para cada compacto $K \subset \Omega$ tenha-se

$$\int_K |f| dx < \infty$$

então dizemos que f é localmente integrável e escrevemos $f \in L_{loc}^1(\Omega)$.

Só para termos uma idéia do tamanho do conjunto $L_{loc}^1(\Omega)$, é fácil ver que todas as funções que são contínuas definidas em Ω estão em $L_{loc}^1(\Omega)$ e também pela desigualdade de Hölder, as funções em $L^p(\Omega)$ para $p \geq 1$ também estão em $L_{loc}^1(\Omega)$.

Exemplo 1.2.2 Seja $f \in L_{loc}^1(\Omega)$ com $\Omega \subset \mathbb{R}^n$ aberto. Definindo

$$T_f(\phi) = \int_{\Omega} f(x)\phi(x)dx, \forall \phi \in C_0^\infty(\Omega)$$

teremos T_f uma distribuição. De fato, a linearidade de T_f segue da linearidade da integral, quanto a continuidade segue da estimativa

$$|T_f(\phi)| \leq \sup_{x \in \Omega} |\phi(x)| \int_{\text{Supp}(\phi)} |f(x)| dx.$$

Neste ponto vale observar que para $f, g \in L_{loc}^1$, se $T_f(\phi) = T_g(\phi)$ para toda ϕ em $C_0^\infty(\Omega)$, então teremos $f(x) = g(x)$ em quase toda parte de Ω . Para este fato veja [14].

Desta forma, através da injeção $f \mapsto T_f$ podemos identificar o espaço e os subespaços de $L_{loc}^1(\Omega)$ como subespaços de $\mathcal{D}'(\Omega)$.

Devido a este fato, em alguns momentos por questão de simplicidade escreveremos $\langle f, \phi \rangle$ para representar $T_f(\phi)$.

Proposição 1.2.2 $C_0^\infty(\Omega)$ é denso em $\mathcal{D}'(\Omega)$.

Demonstração: Ver [14], pág. 64.

Definição 1.2.5 Diremos que uma sequência $\{u_j\}_{j \in \mathbb{N}}$ em $\mathcal{D}'(\Omega)$ converge a $u \in \mathcal{D}'(\Omega)$, se $u_j(\phi)$ converge a $u(\phi)$ para toda $\phi \in C_0^\infty(\Omega)$.

Muitas operações podem ser definidas no espaço das distribuições, neste ponto mencionaremos apenas duas, são elas a diferenciação de uma distribuição e o produto de uma distribuição por uma função infinitamente diferenciável.

Definição 1.2.6 *Seja $\Omega \subset \mathbb{R}^n$ um subconjunto aberto. Dados $u \in \mathcal{D}'(\Omega)$ e $f \in C^\infty(\Omega)$, definiremos*

$$\partial_{x_j} u(\phi) = -u(\partial_{x_j} \phi), \forall \phi \in C_0^\infty(\Omega)$$

$$fu(\phi) = u(f\phi), \forall \phi \in C_0^\infty(\Omega).$$

É fácil ver que as definições acima definem distribuições $\partial_{x_j} u$ e fu e que além disso as aplicações $f \mapsto \partial_{x_j} u$ e $f \mapsto fu$ são contínuas.

É neste sentido que falamos em solução fraca para uma dada equação diferencial, ou seja, dizemos que uma solução u para uma dada equação diferencial é fraca, se $u \in \mathcal{D}'(\Omega)$ e satisfaz a equação no sentido das distribuições. Como um exemplo, poderíamos dizer que se $u_0 \in \mathcal{D}'(\Omega)$ é uma solução fraca da equação $\sum_{|\alpha| \leq k} a_\alpha \partial^\alpha u = f$ então, teríamos

$$\sum_{|\alpha| \leq k} (-1)^{|\alpha|} u_0(a_\alpha \partial^\alpha \phi) = T_f(\phi), \forall \phi \in C_0^\infty(\Omega).$$

Definição 1.2.7 *Denotaremos por $\mathcal{S}(\mathbb{R}^n)$ o subespaço de $C^\infty(\mathbb{R}^n)$ definido pelas funções ϕ tais que*

$$\sup_{x \in \mathbb{R}^n} |(1 + |x|)^N |\partial^\alpha \phi(x)| < \infty$$

para todo inteiro não negativo N e para todo $\alpha \in \mathbb{N}^n$.

O espaço $\mathcal{S}(\mathbb{R}^n)$ é conhecido como espaço de Schwartz e sua topologia é definida por meio da família de seminormas $\{ \|(1 + |\cdot|)^N |\partial^\alpha \phi|\|_\infty \}_{N \in \mathbb{N}, \alpha \in \mathbb{N}^n}$.

Proposição 1.2.3 $C_0^\infty(\mathbb{R}^n)$ é denso em $\mathcal{S}(\mathbb{R}^n)$.

Demonstração: Ver [14], pág. 79.

Definição 1.2.8 *Seja $f \in \mathcal{S}(\mathbb{R}^n)$, a transformada de Fourier de f é definida por*

$$\widehat{f}(\xi) = \int_{\mathbb{R}^n} e^{-ix \cdot \xi} f(x) dx, \quad \xi \in \mathbb{R}^n$$

onde $i = \sqrt{-1}$ e $x \cdot \xi = x_1 \xi_1 + \dots + x_n \xi_n$.

Em algumas ocasiões utilizaremos a notação $\mathcal{F}(f)$ para representar a transformada de Fourier de uma dada função f .

Teorema 1.2.1 *A transformada de Fourier é um operador linear contínuo e invertível de $\mathcal{S}(\mathbb{R}^n)$ em $\mathcal{S}(\mathbb{R}^n)$, além disso fixadas $\phi, \psi \in \mathcal{S}(\mathbb{R}^n)$, valem as seguintes fórmulas:*

1. $\mathcal{F}^{-1}(\phi)(x) = (2\pi)^{-n} \int_{\mathbb{R}^n} e^{ix \cdot \xi} \phi(\xi) d\xi$
2. $\widehat{\partial^\alpha \phi}(\xi) = \xi^\alpha \widehat{\phi}(\xi)$
3. $\mathcal{F}(x^\alpha \phi)(\xi) = (-1)^{|\alpha|} \partial^\alpha \widehat{\phi}(\xi)$
4. $\int_{\mathbb{R}^n} \widehat{\phi}(x) \psi(x) dx = \int_{\mathbb{R}^n} \phi(x) \widehat{\psi}(x) dx$
5. $\int_{\mathbb{R}^n} \phi(x) \overline{\psi}(x) dx = (2\pi)^{-n} \int_{\mathbb{R}^n} \widehat{\phi}(x) \overline{\widehat{\psi}}(x) dx$
6. $\widehat{\phi * \psi} = \widehat{\phi} \widehat{\psi}$
7. $\widehat{\phi \psi} = (2\pi)^{-n} \widehat{\phi} * \widehat{\psi}$.

Demonstração: Ver [14], pág. 77.

Corolário 1.2.1 *Se $\phi \in \mathcal{S}(\mathbb{R}^n)$, então*

$$\left\| \widehat{\phi} \right\|_{L^\infty} \leq \|\phi\|_{L^1} \quad (1.1)$$

$$\|\phi\|_{L^\infty} \leq (2\pi)^{-n} \left\| \widehat{\phi} \right\|_{L^1}. \quad (1.2)$$

Demonstração: Dado $\xi \in \mathbb{R}^n$, segue por

$$\left| \widehat{\phi}(\xi) \right| = \left| \int e^{-ix \cdot \xi} \phi(x) dx \right| \leq \int |\phi(x)| dx = \|\phi\|_{L^1}$$

a relação (1.1).

Para a relação (1.2), basta verificar que

$$|\phi(x)| = |\mathcal{F}^{-1}(\mathcal{F}(\phi))(x)| = (2\pi)^{-n} \left| \int e^{ix \cdot \xi} \widehat{\phi}(\xi) d\xi \right| \leq (2\pi)^{-n} \left\| \widehat{\phi} \right\|_{L^1}$$

vale para todo $x \in \mathbb{R}^n$. \square

Definição 1.2.9 *Um funcional linear contínuo em $\mathcal{S}(\mathbb{R}^n)$ é dito uma distribuição temperada. O espaço das distribuições temperadas é denotado por $\mathcal{S}'(\mathbb{R}^n)$.*

Definição 1.2.10 *Dado $u \in \mathcal{S}'(\mathbb{R}^n)$, definiremos a transformada de Fourier de u por*

$$\widehat{u}(\phi) = u(\widehat{\phi}), \quad \forall \phi \in \mathcal{S}(\mathbb{R}^n).$$

Exemplo 1.2.3 Fixado $\phi \in \mathcal{S}(\mathbb{R}^n)$, calculemos a transformada de Fourier de δ_0 .

$$\widehat{\delta_0}(\phi) = \delta_0(\widehat{\phi}) = \widehat{\phi}(0) = \int_{\mathbb{R}^n} \phi(x) dx = T_1(\phi).$$

Portanto $\widehat{\delta_0} = T_1$ e pela transformada inversa teremos $\mathcal{F}^{-1}(T_1) = \delta_0$.

Proposição 1.2.4 Sejam $f, g, f_1, \dots, f_k \in \mathcal{S}(\mathbb{R}^n)$. Temos:

$$\int_{\mathbb{R}^n} f(x)g(x)dx = (2\pi)^{-n} \int_{\mathbb{R}^n} \widehat{f}(x)\widehat{g}(-x)dx \quad (1.3)$$

$$\int_{\mathbb{R}^n} f_1(x)\dots f_k(x)dx = (2\pi)^{-n(k-1)} \int_{\xi_1+\dots+\xi_k=0} \widehat{f}_1(\xi_1)\dots\widehat{f}_k(\xi_k)d\xi_1\dots d\xi_k. \quad (1.4)$$

Demonstração: Começaremos demonstrando (1.3).

Observando que

$$\mathcal{F}^{-1}(g)(x) = (2\pi)^{-n} \int_{\mathbb{R}^n} e^{-i(-x)\cdot\xi} g(\xi) d\xi = (2\pi)^{-n} \mathcal{F}(g)(-x)$$

segue

$$\begin{aligned} \int_{\mathbb{R}^n} f(x)g(x)dx &= \int_{\mathbb{R}^n} \mathcal{F}^{-1}(\mathcal{F}(f))(x)g(x)dx \\ &= \int_{\mathbb{R}^n} \mathcal{F}(f)(x)\mathcal{F}^{-1}(g)(x)dx \\ &= (2\pi)^{-n} \int_{\mathbb{R}^n} \mathcal{F}(f)(x)\mathcal{F}(g)(-x)dx \end{aligned}$$

Provemos agora (1.4).

$$\begin{aligned} \int_{\xi_1+\dots+\xi_k=0} \widehat{f}_1(\xi_1)\dots\widehat{f}_k(\xi_k)d\xi_1\dots d\xi_k &= \int_{\mathbb{R}^{kn}} \delta_0(\xi_1 + \dots + \xi_k) \widehat{f}_1(\xi_1)\dots\widehat{f}_k(\xi_k)d\xi_1\dots d\xi_k \\ &= (2\pi)^{-n} \int_{\mathbb{R}^{kn}} \int_{\mathbb{R}^n} e^{ix\cdot(\xi_1+\dots+\xi_k)} dx \widehat{f}_1(\xi_1)\dots\widehat{f}_k(\xi_k)d\xi_1\dots d\xi_k \\ &= (2\pi)^{-n} \int_{\mathbb{R}^n} \int_{\mathbb{R}^{kn}} e^{ix\cdot(\xi_1+\dots+\xi_k)} \widehat{f}_1(\xi_1)\dots\widehat{f}_k(\xi_k)d\xi_1\dots d\xi_k dx \\ &= (2\pi)^{-n} \int_{\mathbb{R}^n} \int_{\mathbb{R}^n} e^{ix\cdot\xi_1} \widehat{f}_1(\xi_1)d\xi_1\dots \int_{\mathbb{R}^n} e^{ix\cdot\xi_k} \widehat{f}_k(\xi_k)d\xi_k dx \\ &= (2\pi)^{n(k-1)} \int_{\mathbb{R}^n} f_1(x)\dots f_k(x)dx. \quad \square \end{aligned}$$

Proposição 1.2.5 (Identidade de Plancherel) Se $f \in L^2(\mathbb{R}^n)$, então

$$\|f\|_{L^2}^2 = (2\pi)^{-n} \|\widehat{f}\|_{L^2}^2.$$

Demonstração: Ver [14], pág. 81.

Quando se trabalha com análise de Fourier uma classe de operadores que frequentemente aparece é a classe dos multiplicadores de Fourier. Se m é uma função mensurável e limitada em \mathbb{R}^n , em algumas situações pode-se definir o operador T_m através da seguinte relação:

$$\widehat{T_m f}(\xi) = m(\xi)\widehat{f}(\xi). \quad (1.5)$$

Caso tenha-se $\|T_m f\|_{L^p} \leq A \|f\|_{L^p}$ para toda função f em $L^p(\mathbb{R}^n)$, dizemos que m é um multiplicador de Fourier em L^p .

A próxima proposição citará um caso em que um operador deste tipo pode ser definido como um multiplicador de Fourier.

Proposição 1.2.6 *Seja k é um inteiro maior do que $\frac{n}{2}$ e ν uma função de classe C^k no complementar da origem de \mathbb{R}^n . Se tivermos*

$$\left| \left(\frac{\partial}{\partial x} \right)^\alpha \nu(x) \right| \leq B |x|^{-|\alpha|}, \quad \forall \alpha \in \mathbb{N}^n \text{ tal que } |\alpha| \leq k$$

então para $1 < p < \infty$, teremos

$$\|T_\nu f\|_{L^p} \leq A_p \|f\|_{L^p}$$

onde o operador T_ν está definido como em (1.5).

Demonstração: Ver [26], pág. 96.

1.3 Espaços de Sobolev

Devido a grande importância destes espaços, começaremos esta seção definindo espaços de Sobolev modelados em $L^2(\mathbb{R}^n)$.

Definição 1.3.1 *Definiremos o espaço abaixo como o espaço não homogêneo de Sobolev*

$$H^s(\mathbb{R}^n) = \left\{ u \in \mathcal{S}'(\mathbb{R}^n) : \|(1 + D)^s u\|_{L^2(\mathbb{R}^n)} < \infty \right\}$$

onde $D = \sqrt{-\Delta}$ representa o operador definido via transformada inversa de Fourier, ou seja, $Du = \mathcal{F}^{-1}(|\cdot| \widehat{f}(\cdot))$.

Como norma para o espaço $H^s(\mathbb{R}^n)$, utilizaremos:

$$\|u\|_{H^s} = \left(\int_{\mathbb{R}^n} (1 + |\xi|^2)^s |\widehat{u}(\xi)|^2 d\xi \right)^{\frac{1}{2}}.$$

De fato esta é uma boa definição de norma, aplicando a identidade de Plancherel, observamos

$$\|(1 + D)^s u\|_{L^2} = (2\pi)^{-n} \|(1 + |\cdot|)^s \widehat{u}\|_{L^2} = (2\pi)^{-n} \left(\int_{\mathbb{R}^n} (1 + |\xi|)^{2s} |\widehat{u}(\xi)|^2 d\xi \right)^{\frac{1}{2}}.$$

Criaremos agora duas situações, uma em que $s \geq 0$ e a outra onde $s < 0$.
Supondo $s \geq 0$, teremos:

$$(1 + |\xi|)^{2s} = [(1 + |\xi|)^2]^s = [1 + 2|\xi| + |\xi|^2]^s \geq [1 + |\xi|^2]^s.$$

Se por outro lado supormos $s < 0$, então

$$(1 + |\xi|)^2 \leq 2^2(1 + |\xi|^2).$$

Como $s < 0$, teremos:

$$(1 + |\xi|)^{2s} \geq 2^{2s}(1 + |\xi|^2)^s.$$

Devido as duas situações que analisamos, concluímos que existe um $C > 0$ tal que

$$C(1 + |\xi|)^{2s} \geq (1 + |\xi|^2)^s, \forall \xi \in \mathbb{R}^n.$$

Portanto, para $u \in H^s(\mathbb{R}^n)$ segue:

$$\begin{aligned} \|u\|_{H^s}^2 &= \int_{\mathbb{R}^n} (1 + |\xi|^2)^s |\widehat{u}(\xi)|^2 d\xi \\ &\leq C \int_{\mathbb{R}^n} (1 + |\xi|)^{2s} |\widehat{u}(\xi)|^2 d\xi \\ &= C(2\pi)^{2n} \|(1 + D)^s u\|_{L^2}^2 < \infty \end{aligned}$$

As demais propriedades de norma seguem da linearidade da transformada de Fourier e da norma L^2 com respeito a medida $(1 + |\xi|^2)^s d\xi$.

Proposição 1.3.1 *Se s é um número real, então o espaço H^s equipado com a norma $\|\cdot\|_{H^s}$ é um espaço de Hilbert.*

Demonstração: O fato de que a norma $\|\cdot\|_{H^s}$ provém do produto interno

$$\langle f, g \rangle_{H^s} = \int_{\mathbb{R}^n} (1 + |\xi|^2)^s \widehat{f}(\xi) \overline{\widehat{g}(\xi)} d\xi$$

é imediato. Provemos então que o espaço H^s é completo.

De fato, seja $\{u_m\}_{m \in \mathbb{N}}$ uma sequência de Cauchy em H^s , pela definição da norma em H^s teremos que $\{\widehat{u}_m\}_{m \in \mathbb{N}}$ é uma sequência de Cauchy em $L^2(\mathbb{R}^n, (1 + |\xi|^2)^s d\xi)$. Por outro lado, $L^2(\mathbb{R}^n, (1 + |\xi|^2)^s d\xi)$ é um espaço completo e portanto existirá uma função $\tilde{u} \in L^2(\mathbb{R}^n, (1 + |\xi|^2)^s d\xi)$ tal que

$$\lim_{n \rightarrow \infty} \|\widehat{u}_m - \tilde{u}\|_{L^2(\mathbb{R}^n, (1 + |\xi|^2)^s d\xi)} = 0. \quad (1.6)$$

Em particular, a sequência $\{\widehat{u}_m\}_{m \in \mathbb{N}}$ tende para \tilde{u} no espaço $\mathcal{S}'(\mathbb{R}^n)$ e definindo $u = \mathcal{F}^{-1}(\tilde{u})$, como a transformada de Fourier é um isomorfismo de $\mathcal{S}'(\mathbb{R}^n)$ segue que $u \in \mathcal{S}'(\mathbb{R}^n)$. Por fim, $u_m \rightarrow u$ em H^s por (1.6). \square

Proposição 1.3.2 *Se s é um inteiro não negativo, então o espaço $H^s(\mathbb{R}^n)$ é o espaço das funções u pertencentes a $L^2(\mathbb{R}^n)$ tal que $\partial^\alpha u \in L^2(\mathbb{R}^n)$ para todo $\alpha \in \mathbb{N}^n$ com $|\alpha| \leq s$. Além disso, a norma $\|\cdot\|_{H^s}$ é equivalente à norma:*

$$\|u\|^2 = \sum_{|\alpha| \leq s} \|\partial^\alpha u\|_{L^2}^2.$$

Demonstração: Dado $s \in \mathbb{N}$, pelo binômio de Newton temos

$$(1 + |\xi|^2)^s = \sum_{j=0}^s \binom{s}{j} |\xi|^{2j}$$

portanto, fixando $0 \leq j \leq s$ e $u \in L^2(\mathbb{R}^n)$, segue:

$$\begin{aligned} |\xi|^{2j} |\widehat{u}(\xi)|^2 &= (\xi_1^2 + \dots + \xi_n^2)^j |\widehat{u}(\xi)|^2 \\ &= \sum_{|\alpha|=j} c_\alpha |\xi^\alpha \widehat{u}(\xi)|^2 \\ &= \sum_{|\alpha| \leq s} c_\alpha |\widehat{\partial^\alpha u}(\xi)|^2. \end{aligned}$$

Assim,

$$\begin{aligned} (1 + |\xi|^2)^s |\widehat{u}(\xi)|^2 &= \sum_0^s \sum_{|\alpha| \leq s} c_\alpha \binom{s}{j} |\widehat{\partial^\alpha u}(\xi)|^2 \\ &= \sum_{|\alpha| \leq s} \tilde{c}_\alpha |\widehat{\partial^\alpha u}(\xi)|^2. \end{aligned}$$

Integrando em ambos os membros e aplicando Plancherel, teremos:

$$\begin{aligned} \int_{\mathbb{R}^n} (1 + |\xi|^2)^s |\widehat{u}(\xi)|^2 d\xi &= \int_{\mathbb{R}^n} \sum_{|\alpha| \leq s} \tilde{c}_\alpha |\widehat{\partial^\alpha u}(\xi)|^2 d\xi \\ &= \sum_{|\alpha| \leq s} (2\pi)^n \tilde{c}_\alpha \|\partial^\alpha u\|_{L^2}^2. \end{aligned}$$

Tomando $C_1 = \min\{(2\pi)^n \tilde{c}_\alpha : |\alpha| \leq s\}$ e $C_2 = \max\{(2\pi)^n \tilde{c}_\alpha : |\alpha| \leq s\}$, obtemos:

$$C_1 \sum_{|\alpha| \leq s} \|\partial^\alpha u\|_{L^2}^2 \leq \int_{\mathbb{R}^n} (1 + |\xi|^2)^s |\widehat{u}(\xi)|^2 d\xi \leq C_2 \sum_{|\alpha| \leq s} \|\partial^\alpha u\|_{L^2}^2.$$

□

Corolário 1.3.1 *S é continuamente incluído em H^s .*

Demonstração: Pelo teorema anterior, sabemos que se s é um inteiro positivo, então

$$\|u\|_{H^s}^2 \leq C \sum_{|\alpha| \leq s} \|\partial^\alpha u\|_{L^2}^2.$$

Por outro lado,

$$\begin{aligned} \|\partial^\alpha u\|_{L^2} &= \left(\int_{\mathbb{R}^n} |\partial^\alpha u(x)|^2 \frac{(1+|x|)^{n+1}}{(1+|x|)^{n+1}} dx \right)^{\frac{1}{2}} \\ &\leq C \sup_{x \in \mathbb{R}^n} (1+|x|)^{\frac{n+1}{2}} |\partial^\alpha u(x)| \\ &\leq C \|u\|_{N,\alpha}^2 \end{aligned}$$

onde N é um inteiro maior do que $\frac{n+1}{2}$.

Portanto,

$$\|u\|_{H^s} \leq C \sum_{|\alpha| \leq s} \|u\|_{N,\alpha}^2.$$

Portanto $\mathcal{S} \hookrightarrow H^s$ se s é natural. Por fim, se s é real, denotando por $[s]$ o menor inteiro positivo maior ou igual que s , obtemos $\mathcal{S} \hookrightarrow H^{[s]} \hookrightarrow H^s$, como queríamos demonstrar. \square

Teorema 1.3.1 *Seja s um número real.*

1. *O espaço $C_0^\infty(\mathbb{R}^n)$ é denso em $H^s(\mathbb{R}^n)$.*
2. *A multiplicação por uma função de $\mathcal{S}(\mathbb{R}^n)$ é uma aplicação contínua de $H^s(\mathbb{R}^n)$ em $H^s(\mathbb{R}^n)$.*

Demonstração: Para a prova do primeiro item vamos utilizar a caracterização de densidade devido ao corolário 12.3 da página 88 de [20].

Propriedade: Seja \mathcal{N} um espaço normado. Um subespaço $X \subset \mathcal{N}$ é denso em \mathcal{N} se, e somente se, o único elemento de \mathcal{N}^* (isto é, o conjunto dos funcionais lineares e contínuos) que se anula em X é o funcional nulo.

Assim, como $H^s(\mathbb{R}^n)$ é um espaço de Hilbert, seja $u \in H^s(\mathbb{R}^n)$ tal que $\forall \varphi \in C_0^\infty(\mathbb{R}^n)$, tenha-se

$$\int_{\mathbb{R}^n} \widehat{\varphi}(\xi) (1+|\xi|^2)^s |\widehat{u}(\xi)|^2 d\xi = 0.$$

Uma vez que $C_0^\infty(\mathbb{R}^n)$ é denso em \mathcal{S} e $\mathcal{S} \hookrightarrow H^s$ então, $\forall f \in \mathcal{S}$ segue

$$\int_{\mathbb{R}^n} \widehat{f}(\xi) (1+|\xi|^2)^s |\widehat{u}(\xi)|^2 d\xi = 0.$$

Isso mostra que $\langle (1 + |\cdot|^2)^s \widehat{u}, f \rangle = 0, \forall f \in \mathcal{S}$, o que implica que $(1 + |\cdot|^2)^s \widehat{u} = 0$ no sentido das distribuições temperadas. Como a função $\rho(\xi) = (1 + |\xi|^2)^s$ não se anula e \mathcal{F} é isomorfismo, segue que $u = 0$.

Quanto ao segundo item, sabemos que $\widehat{\varphi u} = (2\pi)^{-n} \widehat{\varphi} * \widehat{u}, \forall u \in \mathcal{S}$. Então,

$$\begin{aligned} \|\varphi u\|_{H^s}^2 &= \int_{\mathbb{R}^n} (1 + |\xi|^2)^s |\widehat{\varphi u}|^2 d\xi \\ &\leq (2\pi)^{-n} \int \left((1 + |\xi|^2)^{\frac{s}{2}} \int |\widehat{\varphi}(\xi - \eta)| |\widehat{u}(\eta)| d\eta \right)^2 d\xi. \end{aligned}$$

Portanto o nosso objetivo é estudar a norma L^2 da função definida por

$$U(\xi) = (1 + |\xi|^2)^{\frac{s}{2}} \int |\widehat{\varphi}(\xi - \eta)| |\widehat{u}(\eta)| d\eta$$

para isto, definimos

$$\begin{aligned} I_1(\xi) &= \{\eta : 2|\xi - \eta| \leq |\eta|\} \\ I_2(\xi) &= \{\eta : 2|\xi - \eta| \geq |\eta|\}. \end{aligned}$$

Podemos então escrever $U(\xi) = U_1(\xi) + U_2(\xi)$, onde

$$U_j(\xi) = (1 + |\xi|^2)^{\frac{s}{2}} \int_{I_j(\xi)} \widehat{\varphi}(\xi - \eta) |\widehat{u}(\eta)| d\eta, j = 1, 2.$$

Iniciaremos estimando o termo correspondente a $U_1(\xi)$. Para tanto, observemos que se $\eta \in I_1(\xi)$ então

$$\frac{1}{2} |\eta| \leq^{(i)} |\xi| \leq^{(ii)} \frac{3}{2} |\eta|.$$

De fato, pela desigualdade triangular,

$$|\eta| = |\eta - \xi + \xi| \leq |\eta - \xi| + |\xi| \leq \frac{|\eta|}{2} + |\xi| \Rightarrow \frac{1}{2} |\eta| \leq |\xi|$$

e de modo análogo,

$$|\xi| = |\xi - \eta + \eta| \leq |\xi - \eta| + |\eta| \leq \frac{|\eta|}{2} + |\eta| \Rightarrow |\xi| \leq \frac{3}{2} |\eta|.$$

Também para todo $\xi \in \mathbb{R}$, existe um $C > 0$ tal que para a dupla (ξ, η) com $\eta \in I_1(\xi)$,

$$(1 + |\xi|^2)^s \leq C(1 + |\eta|^2)^s. \quad (1.7)$$

Com efeito, para $s \geq 0$, pela desigualdade (ii):

$$1 + |\xi|^2 \leq 1 + \frac{9}{4} |\eta|^2 \leq \frac{9}{4} (1 + |\eta|^2) \Rightarrow (1 + |\xi|^2)^s \leq \left(\frac{9}{4}\right)^s (1 + |\eta|^2)^s.$$

Agora, utilizando (i) para $s < 0$:

$$1 + |\xi|^2 \geq 1 + \frac{1}{4} |\eta|^2 \geq \frac{1}{4} (1 + |\eta|^2) \Rightarrow (1 + |\xi|^2)^s \leq \left(\frac{1}{4}\right)^s (1 + |\eta|^2)^s.$$

Utilizando então a desigualdade (1.7) em $U_1(\xi)$, segue que

$$\begin{aligned} U_1(\xi) &= (1 + |\xi|^2)^{\frac{s}{2}} \int_{I_1(\xi)} \widehat{\varphi}(\xi - \eta) |\widehat{u}(\eta)| d\eta \\ &\leq \int (1 + |\eta|^2)^{\frac{s}{2}} |\widehat{\varphi}(\xi - \eta)| |\widehat{u}(\eta)| d\eta. \end{aligned}$$

Calculando a norma da função U_1 em L^2 , temos

$$\begin{aligned} \|U_1\|_{L^2}^2 &= \int |U_1(\xi)|^2 d\xi \\ &\leq C^2 \int \left(\int (1 + |\eta|^2)^{\frac{s}{2}} |\widehat{\varphi}(\xi - \eta)| |\widehat{u}(\eta)| d\eta \right)^2 d\xi \\ &= C^2 \|\widehat{\varphi} * (1 + |\cdot|^2)^{\frac{s}{2}} \widehat{u}\|_{L^2}^2 \\ &\leq C^2 \|\widehat{\varphi}\|_{L^1}^2 \|(1 + |\cdot|^2)^{\frac{s}{2}} \widehat{u}\|_{L^2}^2 \\ &= \|\widehat{\varphi}\|_{L^1}^2 \|u\|_{H^s}^2. \end{aligned}$$

Extraindo a raiz, teremos:

$$\|U_1\|_{L^2} \leq C \|\widehat{\varphi}\|_{L^1} \|u\|_{H^s}.$$

De maneira semelhante ao que fizemos para provar (1.7), se (η, ξ) é tal que $\eta \in I_2(\xi)$ e $s \geq 0$, então existem constantes $C_1, C_2 > 0$ tais que

$$(1 + |\xi|^2)^s \leq C_1(1 + |\xi - \eta|^2)^s \quad e \quad (1 + |\eta|^2)^s \leq C_2(1 + |\xi - \eta|^2)^s.$$

Assim, podemos escrever

$$\begin{aligned} U_2(\xi) &= (1 + |\xi|^2)^{\frac{s}{2}} \int_{I_2(\xi)} |\widehat{\varphi}(\xi - \eta)| |\widehat{u}(\eta)| d\eta \\ &\leq (1 + |\xi|^2)^{\frac{|s|}{2}} \int_{I_2(\xi)} |\widehat{\varphi}(\xi - \eta)| |\widehat{u}(\eta)| (1 + |\eta|^2)^{\frac{|s|}{2}} (1 + |\eta|^2)^{\frac{s}{2}} d\eta \\ &\leq C \int |\widehat{\varphi}(\xi - \eta)| (1 + |\xi - \eta|^2)^{|s|} (1 + |\eta|^2)^{\frac{s}{2}} |\widehat{u}(\eta)| d\eta \\ &\leq C \int (1 + |\xi - \eta|^2)^{-\frac{n+1}{2}} (1 + |\eta|^2)^{\frac{s}{2}} |\widehat{u}(\eta)| d\eta. \end{aligned}$$

Na última desigualdade, usamos o fato de que, como $\widehat{\varphi} \in \mathcal{S}$ existe $C > 0$ tal que

$$\widehat{\varphi}(z) \leq C(1 + |z|^2)^{\frac{(n+1)}{2} - |s|}, \forall z \in \mathbb{R}^n.$$

Finalmente,

$$\begin{aligned}
\|U_2\|_{L^2} &\leq C^2 \int \left(\int (1 + |\eta - \eta|^2)^{-\frac{n+1}{2}} (1 + |\eta|^2)^{\frac{s}{2}} |\widehat{u}(\eta)| d\eta \right)^2 d\xi \\
&= C^2 \left\| (1 + |\cdot|^2)^{-\frac{n+1}{2}} * (1 + |\cdot|^2)^{\frac{s}{2}} \widehat{u} \right\|_{L^2}^2 \\
&\leq C^2 \left\| (1 + |\cdot|^2)^{-\frac{n+1}{2}} \right\|_{L^1}^2 \left\| (1 + |\cdot|^2)^{\frac{s}{2}} \widehat{u} \right\|_{L^2}^2 \\
&= C^2 \left\| (1 + |\cdot|^2)^{-\frac{n+1}{2}} \right\|_{L^1}^2 \|u\|_{H^s}^2.
\end{aligned}$$

Extraindo a raiz,

$$\|U_2\|_{L^2} \leq C \left\| (1 + |\cdot|^2)^{-\frac{n+1}{2}} \right\|_{L^1} \|u\|_{H^s}.$$

□

Teorema 1.3.2 *Se s é um número real positivo menor do que $\frac{n}{2}$, então o espaço $H^s(\mathbb{R}^n)$ é continuamente incluído em $L^p(\mathbb{R}^n)$ para $p = \frac{2n}{n-2s}$ e temos*

$$\|f\|_{L^p} \leq C \|f\|_{\dot{H}^s}, \quad \text{onde} \quad \|f\|_{\dot{H}^s}^2 = \int_{\mathbb{R}^n} |\xi|^{2s} |\widehat{f}(\xi)|^2 d\xi.$$

Demonstração: Multiplicando f por um número real positivo, é suficiente provar a desigualdade no caso em que $\|f\|_{\dot{H}^s} = 1$.

Vamos calcular a norma de f em L^p utilizando a caracterização dada pelo Teorema 1.1.1, isto é

$$\|f\|_{L^p}^p = p \int_0^\infty \lambda^{p-1} m(\{x : |f(x)| > \lambda\}) d\lambda \quad (1.8)$$

com m a medida de Lebesgue no \mathbb{R}^n . Para $A > 0$ a ser escolhido, escrevemos

$$\widehat{f} = \widehat{f} \cdot 1_{\mathbb{R}^n} = \widehat{f} \cdot 1_{B(0,A) \cup B^c(0,A)} = \widehat{f} \cdot 1_{B(0,A)} + \widehat{f} \cdot 1_{B^c(0,A)}$$

onde 1_X representa a função característica do conjunto X .

Aplicando a transformada inversa de Fourier,

$$f = \mathcal{F}^{-1}(f) = \mathcal{F}^{-1}(\widehat{f} \cdot 1_{B(0,A)}) + \mathcal{F}^{-1}(\widehat{f} \cdot 1_{B^c(0,A)}).$$

Para facilitar a notação, sejam $f_{1,A} = \mathcal{F}^{-1}(\widehat{f} \cdot 1_{B(0,A)})$ e $f_{2,A} = \mathcal{F}^{-1}(\widehat{f} \cdot 1_{B^c(0,A)})$.

Como $\mathcal{F}(f_{1,A})$ está suportada no conjunto compacto $B(0,A)$ segue pela desigualdade de Hölder que $\mathcal{F}(f_{1,A})$ pertence a L^1 , portanto pelo Corolário 1.2.1, segue:

$$\begin{aligned}
\|f_{1,A}\|_{L^\infty} &\leq (2\pi)^{-n} \left\| \widehat{f_{1,A}} \right\|_{L^1} \\
&= (2\pi)^{-n} \int_{B(0,A)} |\xi|^{-s} |\xi|^s |\widehat{f}(\xi)| d\xi \\
&\leq (2\pi)^{-n} \left(\int_{B(0,A)} |\xi|^{-2s} d\xi \right)^{\frac{1}{2}} \|f\|_{\dot{H}^s} \\
&= \left(C \int_0^A r^{-2s} r^{n-1} dr \right)^{\frac{1}{2}} \\
&= \frac{C}{(n-2s)^{\frac{1}{2}}} A^{\frac{n}{2}-s}.
\end{aligned}$$

Tomando $A = A_\lambda = \left(\frac{\lambda(n-2s)^{\frac{1}{2}}}{4C} \right)^{\frac{2}{n}}$, segue que

$$\|f_{1,A}\|_{L^\infty} \leq \frac{C}{(n-2s)^{\frac{1}{2}}} \left[\left(\frac{\lambda(n-2s)^{\frac{1}{2}}}{4C} \right)^{\frac{2}{n}} \right]^{\frac{n}{2}-s} = \frac{\lambda}{4} \leq \frac{\lambda}{2}$$

e pela definição de supremo essencial,

$$m(\{x \in \mathbb{R}^n : |f_{1,A}(x)| > \frac{\lambda}{2}\}) = 0.$$

Por outro lado, pela desigualdade triangular,

$$\{x : |f(x)| > \lambda\} \subset \{x : |f_{1,A}(x)| > \frac{\lambda}{2}\} \cup \{x : |f_{2,A}(x)| > \frac{\lambda}{2}\}$$

e deste modo,

$$m(\{x : |f(x)| > \lambda\}) \leq m(\{x : |f_{2,A}(x)| > \frac{\lambda}{2}\}).$$

Substituindo em (1.8),

$$\|f\|_{L^p}^p \leq p \int_0^\infty \lambda^{p-1} m(\{x : |f_{2,A}(x)| > \frac{\lambda}{2}\}) d\lambda. \quad (1.9)$$

Ora pela desigualdade de Chebyshev,

$$m(\{x : |f_{2,A}(x)| > \frac{\lambda}{2}\}) \leq \frac{4}{\lambda^2} \|f_{2,A}\|_{L^2}^2.$$

Pela identidade de Plancherel, segue

$$\begin{aligned}\|f_{2,A}\|_{L^2}^2 &= (2\pi)^{-n} \left\| \widehat{f_{2,A}} \right\|_{L^2}^2 \\ &= (2\pi)^{-n} \int_{\{|\xi| \geq A_\lambda\}} |\widehat{f}(\xi)|^2 d\xi.\end{aligned}$$

Assim,

$$m(\{x : |f_{2,A}(x)| > \frac{\lambda}{2}\}) \leq \frac{4}{\lambda^2} (2\pi)^{-n} \int_{\{|\xi| \geq A_\lambda\}} |\widehat{f}(\xi)|^2 d\xi.$$

Aplicando esta última expressão em (1.9), produzirá:

$$\begin{aligned}\|f\|_{L^p}^p &\leq 4p(2\pi)^{-n} \int_0^\infty \int_{\{|\xi| \geq A_\lambda\}} \lambda^{p-3} |\widehat{f}(\xi)|^2 d\xi \\ &= 4p(2\pi)^{-n} \int_{\mathbb{R}^+ \times \mathbb{R}^n} \lambda^{p-3} 1_{\{(\lambda,\xi): |\xi| \geq A_\lambda\}}(\lambda, \xi) |\widehat{f}(\xi)|^2 d\xi.\end{aligned}\tag{1.10}$$

No entanto, pela escolha de A_λ ,

$$|\xi| \geq A_\lambda \Leftrightarrow \lambda \leq \frac{4C}{(n-2s)^{\frac{1}{2}}} |\xi|^{\frac{n}{p}} = C_\xi.$$

Substituindo em (1.10) e utilizando o teorema de Fubini, concluímos que

$$\begin{aligned}\|f\|_{L^p}^p &\leq 4p(2\pi)^{-n} \int_{\mathbb{R}^n} \int_0^{C_\xi} \lambda^{p-3} |\widehat{f}(\xi)|^2 d\xi \\ &= 4p(2\pi)^{-n} \int_{\mathbb{R}^n} \frac{C_\xi^{p-2}}{p-2} |\widehat{f}(\xi)|^2 d\xi \\ &= \frac{4p(2\pi)^{-n}}{p-2} \left(\frac{4C}{(n-2s)^{\frac{1}{2}}} \right)^{p-2} \int_{\mathbb{R}^n} |\xi|^{\frac{n(p-2)}{p}} |\widehat{f}(\xi)|^2 d\xi \\ &= \frac{4p(2\pi)^{-n}}{p-2} \left(\frac{4C}{(n-2s)^{\frac{1}{2}}} \right)^{p-2},\end{aligned}$$

pois $2s = \frac{n(p-2)}{p}$ e $\|f\|_{\dot{H}^s} = 1$. \square

Definição 1.3.2 Fixados $s \in \mathbb{R}$ e $1 \leq r \leq \infty$, definiremos o espaço homogêneo de Sobolev $\dot{H}_r^s(\mathbb{R}^n)$ por

$$\dot{H}_r^s(\mathbb{R}^n) = \{u \in \mathcal{S}'(\mathbb{R}^n) : \|u\|_{\dot{H}_r^s} = \|D^\rho u\|_{L^r} < \infty\}.$$

Para o caso $r = 2$ em algumas ocasiões representaremos \dot{H}_2^s por \dot{H}^s .

Num primeiro momento, observemos que o espaço $\dot{H}_r^s(\mathbb{R}^n)$ é um espaço seminormado, uma vez que

$$\|u\|_{\dot{H}_r^s} = 0 \Leftrightarrow \text{Supp}(\widehat{u}) \subset \{0\} \Leftrightarrow u \text{ é um polinômio.}$$

Uma saída para esse problema seria definir a seguinte relação de equivalência em $\dot{H}_r^s(\mathbb{R}^n)$:

$$f \sim g \Leftrightarrow f - g \text{ é um polinômio.} \quad (1.11)$$

e identificar o espaço $\dot{H}_r^s(\mathbb{R}^n)$ com o espaço quociente que acabamos de obter, onde a norma definida no espaço quociente seria a seminorma $\|\cdot\|_{\dot{H}_r^s}$ de qualquer representante da classe de equivalência. Na próxima seção voltaremos a discutir este problema e encontraremos uma solução mais conveniente para o que pretendemos fazer aqui.

Vale apenas mencionar que por um argumento semelhante ao que demos no começo deste capítulo, são equivalentes as normas para \dot{H}^s definidas no Teorema 1.3.2 e na definição acima.

Proposição 1.3.3 *Sejam $s_1, s_2 \in \mathbb{R}$ e $1 < r_1 \leq r_2 < \infty$. Se $s_1 - \frac{n}{r_1} = s_2 - \frac{n}{r_2}$, então existe uma constante $C > 0$ tal que*

$$\|f\|_{\dot{H}_{r_2}^{s_2}} \leq C \|f\|_{\dot{H}_{r_1}^{s_1}}.$$

Demonstração: Ver [4], pág. 153.

1.4 Decomposição de Littlewood-Paley e Espaços de Besov

Com a intenção de definirmos Espaço Homogêneo de Besov e também devido as estimativas que faremos no último capítulo, definiremos nesta seção a decomposição homogênea de Littlewood-Paley.

De acordo com a Proposição 1.2.1, existe uma função radial $\phi \in C_0^\infty(\mathbb{R}^n)$ suportada em $\{\xi \in \mathbb{R}^3 : |\xi| \leq 2\}$ tal que ϕ assume valores no intervalo $[0, 1]$ e ϕ assume 1 na bola unitária $\{\xi \in \mathbb{R}^n : |\xi| \leq 1\}$. Seja ψ a função definida por

$$\psi(\xi) = \phi(\xi) - \phi(2\xi).$$

Para facilitar a notação, seja $\psi_j(\xi) = \psi(2^{-j}\xi)$. Assim, teremos:

$$\text{supp}\psi_j \subset \{\xi : 2^{j-1} \leq |\xi| \leq 2^{j+1}\}$$

e para $\xi \neq 0$

$$\sum_{j \in \mathbb{Z}} \psi_j(\xi) = 1. \quad (1.12)$$

De fato, se $\xi \neq 0$ então existirá $j_0 \in \mathbb{Z}$ tal que $2^{j_0-1} \leq |\xi| \leq 2^{j_0+1}$ e assim

$$\sum_{j \in \mathbb{Z}} \psi_j(\xi) = \psi_{j_0-1}(\xi) + \psi_{j_0}(\xi) + \psi_{j_0+1}(\xi) = 1.$$

Sendo $M \in 2^{\mathbb{Z}}$, definimos via transformada inversa de Fourier os seguintes operadores:

$$\widehat{P_{\leq M} u}(\xi) = \phi\left(\frac{\xi}{M}\right)\widehat{u}(\xi) \quad (1.13)$$

$$\widehat{P_M u}(\xi) = \psi\left(\frac{\xi}{M}\right)\widehat{u}(\xi) \quad (1.14)$$

$$\widehat{P_{> M} u}(\xi) = \widehat{u}(\xi) - \phi\left(\frac{\xi}{M}\right)\widehat{u}(\xi). \quad (1.15)$$

Observação 1.4.1 Se $u \in \mathcal{S}'(\mathbb{R}^n)$ e $\varphi \in \mathcal{S}(\mathbb{R}^n)$ então

$$\langle P_M u, \varphi \rangle = \langle u, P_M \varphi \rangle. \quad (1.16)$$

Por definição,

$$\begin{aligned} \langle P_M u, \varphi \rangle &= \langle \mathcal{F}(P_M u), \mathcal{F}^{-1}(\varphi) \rangle \\ &= \left\langle \psi\left(\frac{\cdot}{M}\right)\widehat{u}, \mathcal{F}^{-1}(\varphi) \right\rangle \\ &= \left\langle u, \mathcal{F}\left(\psi\left(\frac{\cdot}{M}\right)\mathcal{F}^{-1}(\varphi)\right) \right\rangle. \end{aligned}$$

Como $\varphi \in \mathcal{S}(\mathbb{R}^n)$, segue

$$\mathcal{F}^{-1}(\varphi)(x) = (2\pi)^{-n}\widehat{\varphi}(-x), \quad \forall x \in \mathbb{R}^n.$$

Lembrando que ψ é uma função radial, teremos:

$$\begin{aligned} \mathcal{F}\left(\psi\left(\frac{\cdot}{M}\right)\mathcal{F}^{-1}(\varphi)\right)(\xi) &= \int e^{-ix \cdot \xi} \psi\left(\frac{x}{M}\right) \mathcal{F}^{-1}(\varphi)(x) dx \\ &= (2\pi)^{-n} \int e^{-ix \cdot \xi} \psi\left(\frac{x}{M}\right) \widehat{\varphi}(-x) dx \\ &= (2\pi)^{-n} \int e^{ix \cdot \xi} \psi\left(-\frac{x}{M}\right) \widehat{\varphi}(x) dx \\ &= (2\pi)^{-n} \int e^{ix \cdot \xi} \psi\left(\frac{x}{M}\right) \widehat{\varphi}(x) dx \\ &= \mathcal{F}^{-1}\left(\psi\left(\frac{\cdot}{M}\right)\widehat{\varphi}\right)(\xi) \\ &= P_M \varphi(\xi). \end{aligned}$$

A decomposição

$$u = \sum_{M \in 2^{\mathbb{Z}}} P_M u \quad (1.17)$$

é conhecida como decomposição homogênea de Littlewood-Paley. Porém não é difícil observar que a decomposição (1.17) nem sempre é verdadeira em $\mathcal{S}'(\mathbb{R}^n)$, como contra exemplo poderíamos tomar a distribuição temperada definida pela função $u(x) = 1$. De fato, pela Observação 1.4.1,

$$\begin{aligned} \langle P_M u, \varphi \rangle &= \langle u, P_M \varphi \rangle = \langle 1, P_M \varphi \rangle \\ &= \langle 1, \mathcal{F}^{-1}(\mathcal{F}(P_M \varphi)) \rangle \\ &= \langle \delta_0, \mathcal{F}(P_M \varphi) \rangle = \langle \delta_0, \psi(\frac{\cdot}{M}) \widehat{\varphi} \rangle = \psi(\frac{0}{M}) \widehat{\varphi}(0) = 0 \end{aligned}$$

e portanto $P_M u = 0, \forall M \in 2^{\mathbb{Z}}$, assim a decomposição (1.17) de $u = 1$ é zero.

Um modo de driblarmos este problema seria considerarmos o espaço \mathcal{S}'_h das distribuições temperadas u tal que

$$\lim_{j \rightarrow -\infty} \dot{S}_j u = 0 \text{ em } \mathcal{S}'$$

onde $\dot{S}_j u = \mathcal{F}^{-1}(\phi(2^{-j} \cdot) \widehat{u})$.

Desta forma pode-se constatar na referência [9] que a decomposição (1.17) é verdadeira no espaço \mathcal{S}'_h .

Observação 1.4.2

1. Um polinômio u não pertence a esse espaço a menos que $u = 0$. Na verdade, se u é um polinômio, então $\dot{S}_j u = u$, para todo $j \in \mathbb{Z}$.

De fato, se u é um polinômio, então $\widehat{u} = \sum_{\alpha \in \Lambda} a_\alpha \partial^\alpha \delta_0$, portanto se fixarmos $\varphi \in \mathcal{S}$, teremos:

$$\langle \dot{S}_j u, \varphi \rangle = \langle \mathcal{F} \dot{S}_j u, \mathcal{F}^{-1} \varphi \rangle.$$

Para facilitar a notação, seja $\nu = \mathcal{F}^{-1} \varphi$, portanto

$$\begin{aligned} \langle \dot{S}_j u, \varphi \rangle &= \langle \phi(2^{-j} \cdot) \widehat{u}, \nu \rangle = \langle \widehat{u}, \phi(2^{-j} \cdot) \nu \rangle \\ &= \langle \sum_{\alpha \in \Lambda} a_\alpha \partial^\alpha \delta_0, \phi(2^{-j} \cdot) \nu \rangle \\ &= \sum_{\alpha \in \Lambda} a_\alpha (-1)^{|\alpha|} \langle \delta_0, \partial^\alpha (\phi(2^{-j} \cdot) \nu) \rangle \\ &= \sum_{\alpha \in \Lambda} a_\alpha (-1)^{|\alpha|} \sum_{|\beta| \leq |\alpha|} C_\beta \partial^\beta \phi(0) \partial^{\alpha-\beta} \nu(0) \end{aligned}$$

$$\begin{aligned}
&= \sum_{\alpha \in \Lambda} a_\alpha (-1)^{|\alpha|} \partial^\alpha \nu(0) \\
&= \langle \sum_{\alpha \in \Lambda} a_\alpha \partial^\alpha \delta_0, \nu \rangle \\
&= \langle \widehat{u}, \nu \rangle \\
&= \langle u, \varphi \rangle.
\end{aligned}$$

2. Se uma distribuição temperada u é tal que sua transformada de Fourier \widehat{u} é localmente integrável perto de 0, então u pertence a \mathcal{S}'_h .

De fato, dado $\varphi \in \mathcal{S}$ tal que $\nu = \mathcal{F}^{-1}\varphi$, temos:

$$\lim_{j \rightarrow -\infty} \langle \dot{S}_j u, \varphi \rangle = \lim_{j \rightarrow -\infty} \int_{B(0, 2^{j+1})} \widehat{u}(\xi) \phi(2^{-j}\xi) \nu(\xi) d\xi = 0.$$

Pelo fato 1 da Observação 1.4.2, podemos redefinir o espaço de Sobolev homogêneo $\dot{H}_r^s(\mathbb{R}^n)$ como

$$\dot{H}_r^s(\mathbb{R}^n) = \{u \in \mathcal{S}'_h(\mathbb{R}^n) : \|u\|_{\dot{H}_r^s} = \|D^\rho u\|_{L^r} < \infty\}$$

nessa situação, teremos $\dot{H}_r^s(\mathbb{R}^n)$ um espaço vetorial normado.

Agora de posse da decomposição homogênea de Littlewood-Paley, podemos definir os Espaços de Besov homogêneo.

Definição 1.4.1 Fixados $\rho \in \mathbb{R}$ e $1 \leq r, s \leq \infty$, definiremos o espaço de Besov homogêneo $\dot{B}_{r,s}^\rho(\mathbb{R}^n)$ por

$$\dot{B}_{r,s}^\rho(\mathbb{R}^n) = \{u \in \mathcal{S}'_h(\mathbb{R}^n) : \|u\|_{\dot{B}_{r,s}^\rho} = \|2^{\rho j} P_{2^j} u\|_{l_j^s L_x^r} < \infty\}$$

onde, $\|2^{\rho j} P_{2^j} u\|_{l_j^s L_x^r} = \left(\sum_{j \in \mathbb{Z}} \|2^{\rho j} P_{2^j} u\|_{L^r}^s \right)^{\frac{1}{s}}$.

Proposição 1.4.1 Sejam $1 \leq r_2 \leq r_1 \leq \infty$, $1 \leq s \leq \infty$, $\rho_1, \rho_2 \in \mathbb{R}$. Se $\rho_1 - \frac{n}{r_1} = \rho_2 - \frac{n}{r_2}$ então $\dot{B}_{r_2,s}^{\rho_2} \subset \dot{B}_{r_1,s}^{\rho_1}$ e

$$\|u\|_{\dot{B}_{r_1,s}^{\rho_1}} \leq C \|u\|_{\dot{B}_{r_2,s}^{\rho_2}}.$$

Demonstração: Como $P_{2^j} u = \mathcal{F}^{-1}(\psi(2^{-j}\cdot)\widehat{u})$, segue

$$P_{2^j} u = \mathcal{F}^{-1}(\psi_j \widehat{u}) = \mathcal{F}^{-1}(\psi_j) * u.$$

Para facilitar a notação seja $\varphi_j = \mathcal{F}^{-1}(\psi_j)$. Assim, $P_{2^j} u = \varphi_j * u$ e portanto,

$$\|u\|_{\dot{B}_{r,s}^\rho} = \left(\sum_{j \in \mathbb{Z}} \|2^{\rho j} \varphi_j * u\|_{L^r}^s \right)^{\frac{1}{s}}. \quad (1.18)$$

Retomando a partição da unidade que fizemos para obter (1.12), se definirmos $\widetilde{\varphi}_j = \varphi_{j-1} + \varphi_j + \varphi_{j+1}$, teremos $\widehat{\varphi}_j = \widetilde{\varphi}_j \widehat{\varphi}_j$. Portanto,

$$\varphi_j * u = \widetilde{\varphi}_j * \varphi_j * u$$

segue pela desigualdade de Young que

$$\|\varphi_j * u\|_{L^{r_1}} \leq \|\widetilde{\varphi}_j\|_{L^p} \|\varphi_j * u\|_{L^{r_2}}$$

com $\frac{n}{p'} = \frac{n}{r_2} - \frac{n}{r_1} = \rho_2 - \rho_1$, onde p' representa o expoente conjugado de p . Fazendo uma mudança de variável dentro da integral, teremos:

$$\begin{aligned} \|\varphi_j * u\|_{L^{r_1}} &\leq 2^{\frac{jn}{p'}} \|\widetilde{\varphi}_0\|_{L^p} \|\varphi_j * u\|_{L^{r_2}} \\ &= 2^{j(\rho_2 - \rho_1)} \|\widetilde{\varphi}_0\|_{L^p} \|\varphi_j * u\|_{L^{r_2}}. \end{aligned}$$

Tomando então $C = \|\widetilde{\varphi}_0\|_{L^p}$ obtemos o resultado. \square

Proposição 1.4.2 *Existem $C_1, C_2 > 0$ tal que*

$$C_1 \|D^\mu u\|_{\dot{B}_{r,s}^{\rho-\mu}} \leq \|u\|_{\dot{B}_{r,s}^\rho} \leq C_2 \|D^\mu u\|_{\dot{B}_{r,s}^{\rho-\mu}}. \quad (1.19)$$

Demonstração: Para esta demonstração utilizaremos a caracterização (1.18) da norma de Besov.

Iniciaremos demonstrando a desigualdade:

$$\|D^\mu(\varphi_j * u)\|_{L^r} \leq C 2^{j\mu} \|\varphi_j * u\|_{L^r}. \quad (1.20)$$

De fato, quando introduzimos a caracterização (1.18) para a norma de Besov na demonstração da Proposição 1.4.1, provamos que $\varphi_j * u = \widetilde{\varphi}_j * \varphi_j * u$, onde

$$\widetilde{\varphi}_j = \varphi_{j-1} + \varphi_j + \varphi_{j+1}$$

e portanto,

$$\begin{aligned} D^\mu(\varphi_j * u) &= D^\mu(\widetilde{\varphi}_j * \varphi_j * u) \\ &= \sum_{l=-1}^1 D^\mu(\varphi_{j+l} * \varphi_j * u). \end{aligned}$$

Tomando a norma de Lebesgue e aplicando a desigualdade triangular, obtemos:

$$\|D^\mu(\varphi_j * u)\|_{L^r} \leq \sum_{l=-1}^1 \|D^\mu(\varphi_{j+l} * \varphi_j * u)\|_{L^r}.$$

Observando que

$$\begin{aligned} \|D^\mu(\varphi_{j+l} * \varphi_j * u)\|_{L^r} &= \|D^\mu\varphi_{j+l} * \varphi_j * u\|_{L^r} \\ &\leq \sup_{\|g\|_{L^r}=1} \|D^\mu\varphi_{j+l} * g\|_{L^r} \|\varphi_j * u\|_{L^r} \end{aligned}$$

para que possamos obter (1.20) será suficiente provarmos

$$\|D^\mu\varphi_{j+l} * g\|_{L^r} \leq C2^{j\mu}$$

para todo $g \in L^r$ tal que $\|g\|_{L^r} = 1$.

Fixemos então $g \in L^r$ tal que $\|g\|_{L^r} = 1$, pela desigualdade de Young, teremos:

$$\|D^\mu\varphi_{j+l} * g\|_{L^r} \leq \|D^\mu\varphi_{j+l}\|_{L^1} \|g\|_{L^r} = \|D^\mu\varphi_{j+l}\|_{L^1}. \quad (1.21)$$

Por outro lado,

$$\begin{aligned} D^\mu\varphi_{j+l}(x) &= \mathcal{F}^{-1}(|\cdot|^\mu \widehat{\varphi}_{j+l})(x) = \mathcal{F}^{-1}(|\cdot|^\mu \widehat{\varphi}_0(2^{-(j+l)}\xi))(x) \\ &= (2\pi)^{-n} \int e^{ix \cdot \xi} |\xi|^\mu \widehat{\varphi}_0(2^{-(j+l)}\xi) d\xi. \end{aligned}$$

Após a mudança de variável $\xi = 2^{j+l}w$, teremos:

$$\begin{aligned} D^\mu\varphi_{j+l}(x) &= (2\pi)^{-n} \int e^{ix \cdot 2^{j+l}w} 2^{\mu(j+l)} |w|^\mu \widehat{\varphi}_0(w) 2^{n(j+l)} dw \\ &= 2^{\mu(j+l)} 2^{n(j+l)} (2\pi)^{-n} \int e^{ix \cdot 2^{j+l}w} |w|^\mu \widehat{\varphi}_0(w) dw \\ &= 2^{\mu(j+l)} 2^{n(j+l)} \mathcal{F}^{-1}(|\cdot|^\mu \widehat{\varphi}_0)(2^{j+l}x) \\ &= 2^{\mu(j+l)} 2^{n(j+l)} D^\mu\varphi_0(2^{j+l}x). \end{aligned}$$

Portanto,

$$\|D^\mu\varphi_{j+l}\|_{L^1} = 2^{\mu(j+l)} 2^{n(j+l)} \|D^\mu\varphi_0(2^{j+l}\cdot)\|_{L^1}. \quad (1.22)$$

Estimemos agora $\|D^\mu\varphi_0(2^{j+l}\cdot)\|_{L^1}$.

$$\begin{aligned} \|D^\mu\varphi_0(2^{j+l}\cdot)\|_{L^1} &= \int |D^\mu\varphi_0(2^{j+l}x)| dx \\ &= \int |D^\mu\varphi_0(y)| 2^{-n(j+l)} dy \\ &= 2^{-n(j+l)} \|D^\mu\varphi_0\|_{L^1}. \end{aligned}$$

Por (1.22), obtemos:

$$\|D^\mu \varphi_{j+l}\|_{L^1} = 2^{\mu j} 2^{\mu l} \|D^\mu \varphi_0\|_{L^1}.$$

Sendo $C' = \max\{2^{\mu l} : l \in \{-1, 0, 1\}\}$, se tomarmos $C = C' \|D^\mu \varphi_0\|_{L^1}$, então teremos:

$$\|D^\mu \varphi_{j+l}\|_{L^1} \leq C 2^{\mu j}$$

desta forma obtemos a desigualdade (1.20).

Agora de posse da desigualdade (1.20), observe:

$$\begin{aligned} \|D^\mu u\|_{\dot{B}_{r,s}^{\rho-\mu}} &= \left(\sum_{j \in \mathbb{Z}} \|2^{(\rho-\mu)j} \varphi_j * D^\mu u\|_{L^r}^s \right)^{\frac{1}{s}} \\ &= \left(\sum_{j \in \mathbb{Z}} \|2^{(\rho-\mu)j} D^\mu (\varphi_j * u)\|_{L^r}^s \right)^{\frac{1}{s}} \\ &\leq C \left(\sum_{j \in \mathbb{Z}} \|2^{\rho j} \varphi_j * u\|_{L^r}^s \right)^{\frac{1}{s}} = C \|u\|_{\dot{B}_{r,s}^\rho}. \end{aligned}$$

Tomando $C_1 = \frac{1}{C}$ obtemos uma parte da desigualdade (1.19), por outro lado repetindo alguns dos últimos argumentos, segue que

$$\begin{aligned} \|u\|_{\dot{B}_{r,s}^\rho} &= \|D^{-\mu} D^\mu u\|_{\dot{B}_{r,s}^\rho} \\ &\leq C_2 \|D^\mu u\|_{\dot{B}_{r,s}^{\rho-\mu}} \end{aligned}$$

para algum $C_2 > 0$ e assim obtemos (1.19). \square

Aqui, vale a pena uma observação a respeito da Proposição 1.4.2, seu resultado implica que o operador D^μ opera como um homeomorfismo linear entre os espaços $\dot{B}_{r,s}^\rho$ e $\dot{B}_{r,s}^{\rho-\mu}$. Se deixássemos de lado o fato de que um isomorfismo entre espaços vetoriais normados deve preservar também a norma desses espaços, poderíamos dizer que o operador D^μ é um isomorfismo entre os espaços $\dot{B}_{r,s}^\rho$ e $\dot{B}_{r,s}^{\rho-\mu}$.

Proposição 1.4.3 *As seguintes inclusões se verificam*

$$\dot{B}_{r,2}^s(\mathbb{R}^n) \subset \dot{H}_r^s, \quad \text{para } 2 \leq r < \infty \text{ e } s \in \mathbb{R} \quad (1.23)$$

$$\dot{B}_{r,2}^s(\mathbb{R}^n) \supset \dot{H}_r^s, \quad \text{para } 1 < r \leq 2 \text{ e } s \in \mathbb{R}. \quad (1.24)$$

Demonstração: Ver [4], pág. 152.

Proposição 1.4.4 *Dada $u \in \mathcal{S}'_h(\mathbb{R}^n)$, existirão constantes $C_1 > 0$ e $C_2 > 0$ tal que vale a seguinte estimativa de Littlewood paley*

$$C_1 \left\| \left(\sum_{j \in \mathbb{Z}} |P_{2^j} u|^2 \right)^{\frac{1}{2}} \right\|_{L^r} \leq \|u\|_{L^r} \leq C_2 \left\| \left(\sum_{j \in \mathbb{Z}} |P_{2^j} u|^2 \right)^{\frac{1}{2}} \right\|_{L^r} .$$

Demonstração: Ver [28], pg. 242.

Capítulo 2

Estimativas de Strichartz

2.1 Notação

Nesta seção definiremos toda uma notação que será fortemente utilizada a partir deste capítulo.

Sejam x e y números reais positivos.

1. A simbologia $x \lesssim y$ denotará que existe uma constante universal $K > 0$ tal que $x \leq Ky$. Diremos que K_0 é a constante determinada pela relação $x \lesssim y$, caso K_0 seja a menor constante K tal que $x \leq Ky$ seja verdade.
2. Denotaremos por $x \sim y$ caso se tenha $x \lesssim y$ e $y \lesssim x$.
3. A notação $x \ll y$ implicará na existência de uma constante $K < \frac{1}{100}$ tal que $x \leq Ky$.
4. Dado $0 < \epsilon \ll 1$, denotaremos por $x+$, $x++$, $x-$ e $x--$ respectivamente $x - \epsilon$, $x + 2\epsilon$, $x - \epsilon$ e $x - 2\epsilon$. Abusando da notação estabelecida em alguns momentos poderemos escrever $+$ e $-$ para representar $0+$ e $0-$.
5. Sendo J um intervalo, representaremos por $|J|$ o seu comprimento.

2.2 Estimativas

Devido a sua importância em muitos trabalhos que envolveram o problema da onda, dedicaremos este capítulo as Estimativas de Strichartz.

As Estimativas de Strichartz compreendem uma classe de desigualdades que se obtém a partir de um problema de valor inicial, esta classe de desigualdades tem se mostrado muito útil em problemas de boa colocação para as equações da Onda e de Schrödinger. Neste trabalho porém não a utilizaremos diretamente para obter a boa

colocação para o problema que estamos abordando, mas será a partir dela que se desenvolverá muitos dos resultados que serão utilizados para a prova do resultado que desejamos.

No artigo [27] publicado em 1977 Robert Strichartz provou que se u é solução para o problema não homogêneo da onda

$$\begin{cases} \partial_{tt}u(t, x) - \Delta u(t, x) & = & F(t, x) \quad , \quad \forall t \geq 0 \\ u(0, x) & = & f(x) \\ \partial_t u(0, x) & = & g(x) \end{cases}$$

então

$$\|u\|_{L^q(\mathbb{R}, L^q(\mathbb{R}^n))} \lesssim \|f\|_{\dot{H}^\rho} + \|g\|_{\dot{H}^{\rho-1}} + \|F\|_{L^{q'}(\mathbb{R}, L^{q'}(\mathbb{R}^n))}$$

para $q = \frac{2(n+1)}{n+1-2\rho}$ e $1 \leq \rho < \frac{n-1}{2}$.

Seguindo o desenvolvimento de R. Strichartz, B. Marshall em [19] estudando a equação de Klein-Gordon publicou um artigo em 1981 sugerindo a não igualdade dos expoentes nas normas de Lebesgue em t e em x . H. Pecher em 1984 publicou o artigo [21] em que obteve quase todas as possibilidades hoje conhecidas para a estimativa homogênea de Strichartz. Estimativas de Strichartz para a equação da onda foram depois generalizadas por Ginebre e Velo em [12], trocando-se as normas de Lebesgue por normas mais gerais, será este o caso que abordaremos aqui. M. Keel e T. Tao numa contribuição maior trabalharam em [15] fechando assim o problema da estimativa homogênea de Strichartz, ao longo dos anos vários outros trabalho foram feitos no sentido de expandir ainda mais o alcance das Estimativas de Strichartz, inclusive há muitos artigos recentes a respeito deste tipo de desigualdade.

Neste capítulo trabalharemos no \mathbb{R}^3 e partiremos de um resultado do artigo de Ginebre e Velo [12] que enunciaremos aqui como um Lema, em seguida provaremos a seguinte estimativa de Strichartz para o problema da onda.

Teorema 2.2.1 *Sejam $\rho_1, \rho_2, \mu \in \mathbb{R}$, $2 < q_1, q_2 \leq \infty$ e $2 \leq r_1, r_2 < \infty$. Suponhamos também que as seguintes condições são satisfeitas:*

$$\frac{1}{q_i} \leq \frac{1}{2} - \frac{1}{r_i}, \quad \text{para } i = 1, 2$$

$$\rho_1 + 3 \left(\frac{1}{2} - \frac{1}{r_1} \right) - \frac{1}{q_1} = \mu = 1 - \left[\rho_2 + 3 \left(\frac{1}{2} - \frac{1}{r_2} \right) - \frac{1}{q_2} \right].$$

Supondo $f \in \dot{H}^\mu(\mathbb{R}^3)$, $g \in \dot{H}^{\mu-1}(\mathbb{R}^3)$ e $F \in L^{q'_2}(\mathbb{R}, \dot{B}_{r'_2, 2}^{-\rho_2})$. Se u é solução (fraca) do problema

$$\begin{cases} \partial_{tt}u - \Delta u & = & F \\ u(0, x) & = & f \\ \partial_t u(0, x) & = & g \end{cases} \quad (2.1)$$

então

$$\|u\|_{L^{q_1}(\mathbb{R}, \dot{B}_{r_1, 2}^{\rho_1})} \lesssim \|f\|_{\dot{H}^\mu} + \|g\|_{\dot{H}^{\mu-1}} + \|F\|_{L^{q'_2}(\mathbb{R}, \dot{B}_{r'_2, 2}^{-\rho_2})}.$$

Antes de enunciarmos o Lema que nos possibilitará demonstrarmos o Teorema, façamos uma observação.

Observação 2.2.1 *Tendo em vista o problema (2.1), considere os seguintes problemas*

$$\begin{cases} \partial_{tt}v - \Delta v = 0 \\ v(0, x) = f \\ \partial_t v(0, x) = g \end{cases} \quad (2.2)$$

e

$$\begin{cases} \partial_{tt}w - \Delta w = F \\ w(0, x) = 0 \\ \partial_t w(0, x) = 0 \end{cases} \quad (2.3)$$

Não é difícil ver que se tivermos uma solução v para (2.2) e w para (2.3), então formalmente $u = v + w$ será uma solução para (2.1). Por outro lado, se aplicarmos a transformada de Fourier com relação a variável espacial no problema (2.2), obteremos um problema de valor inicial envolvendo uma EDO,

$$\begin{cases} \partial_{tt}\widehat{v} + |\xi|^2\widehat{v} = 0 \\ \widehat{v}(0, \xi) = \widehat{f} \\ \partial_t\widehat{v}(0, \xi) = \widehat{g} \end{cases} \quad (2.4)$$

resolvendo este PVI e aplicando transformada de Fourier inversa na solução, obtemos a solução para o problema homogêneo (2.2).

$$v(t) = \cos(Dt)f + D^{-1}\sin(Dt)g. \quad (2.5)$$

Na expressão de $v(t)$ o D denota o operador $\sqrt{-\Delta}$ que definimos na página 10, ou seja, os operadores $\cos(Dt)$ e $D^{-1}\sin(Dt)$ são definidos via transformada inversa de Fourier,

$$\begin{aligned} \cos(Dt)f &= \mathcal{F}^{-1}(\cos(|\cdot|t)\widehat{f}) \\ D^{-1}\sin(Dt)f &= \mathcal{F}^{-1}(|\cdot|^{-1}\sin(|\cdot|t)\widehat{f}) \end{aligned}$$

A solução w para o problema (2.3) pode ser dada via Princípio de Duhamel, veja referência [1].

$$w(t) = \int_{s<t} D^{-1}\sin(D(t-s))F(s)ds.$$

Aqui também temos o operador $D^{-1}\sin(D(t-s))$ definido via transformada inversa de Fourier,

$$\mathcal{F}^{-1}(|\cdot|^{-1}\sin(|\cdot|(t-s))\widehat{F}(s)).$$

Definindo as famílias de operadores $U(t) = e^{itD}$ e $U(t)^* = e^{-itD}$, $t \in \mathbb{R}$. A solução u pode ser escrita como

$$\begin{aligned} u(t) &= \frac{1}{2}(U(t) + U(-t))f + D^{-1}\frac{1}{2i}(U(t) - U(-t))g \\ &+ \int_{s<t} D^{-1}\frac{1}{2i}(U(t)U(s)^* - (U(-t)U(-s)^*))F(s)ds. \end{aligned}$$

Vamos agora enunciar o Lema que nos possibilitará demonstrar o Teorema 2.2.1 .

Lema 2.2.1 *Suponhamos que as triplas ordenadas (q_1, r_1, γ_1) e (q_2, r_2, γ_2) satisfaçam*

$$\begin{aligned} 2 < q_i &\leq \infty, \quad \text{para } i = 1, 2 \\ 2 &\leq r_i < \infty, \quad \text{para } i = 1, 2 \\ \frac{1}{q_i} &= \frac{1}{2} - \frac{1}{r_i}, \quad \text{para } i = 1, 2 \\ \gamma_i &= 2 \left(\frac{1}{2} - \frac{1}{r_i} \right), \quad \text{para } i = 1, 2. \end{aligned}$$

Então

$$\|U(t)f\|_{L^{q_1}(\mathbb{R}, \dot{B}_{r_1,2}^{-\gamma_1})} \lesssim \|f\|_{\dot{B}_{2,2}^0}, \quad \forall f \in \dot{B}_{2,2}^0$$

$$\left\| \int_{t < s} (U(t)U(s)^*)F(s)ds \right\|_{L^{q_1}(\mathbb{R}, \dot{B}_{r_1,2}^{-\gamma_1})} \lesssim \|F\|_{L^{q'_2}(\mathbb{R}, \dot{B}_{r'_2,2}^{\gamma_2})}, \quad \forall F \in L^{q'_2}(\mathbb{R}, \dot{B}_{r'_2,2}^{\gamma_2}).$$

Demonstração: Veja [12].

Demonstremos agora o Teorema 2.2.1.

Fixados $\rho_1, \rho_2, \mu \in \mathbb{R}$, $2 < q_1, q_2 \leq \infty$ e $2 \leq r_1, r_2 < \infty$ de acordo com as hipóteses do Teorema 2.2.1. Seja $s_1 \leq r_1$ de modo que $\frac{1}{q_1} = \frac{1}{2} - \frac{1}{s_1}$, com esta escolha de s_1 obtemos $-\gamma_1 + \mu - \frac{3}{s_1} = \rho_1 - \frac{3}{r_1}$, onde $\gamma_1 = 2 \left(\frac{1}{2} - \frac{1}{s_1} \right)$.

Seja também $s_2 \leq r_2$ de modo que $\frac{1}{q_2} = \frac{1}{2} - \frac{1}{s_2}$, com esta escolha de s_2 obtemos $-\gamma_2 - \mu + 1 - \frac{3}{s_2} = \rho_2 - \frac{3}{r_2}$, onde $\gamma_2 = 2 \left(\frac{1}{2} - \frac{1}{s_2} \right)$.

Estamos agora nas hipóteses do Lema 2.2.1 e portanto, teremos:

$$\|U(t)f\|_{L^{q_1}(\mathbb{R}, \dot{B}_{s_1,2}^{-\gamma_1})} \lesssim \|f\|_{\dot{B}_{2,2}^0}, \quad \forall f \in \dot{B}_{2,2}^0$$

$$\left\| \int_{t < s} (U(t)U(s)^*)F(s)ds \right\|_{L^{q_1}(\mathbb{R}, \dot{B}_{s_1,2}^{-\gamma_1})} \lesssim \|F\|_{L^{q'_2}(\mathbb{R}, \dot{B}_{s'_2,2}^{\gamma_2})}, \quad \forall F \in L^{q'_2}(\mathbb{R}, \dot{B}_{s'_2,2}^{\gamma_2}).$$

Pela Proposição 1.4.2, se trocarmos f e F respectivamente por $D^\mu f$ e $D^\mu F$, então

$$\|U(t)f\|_{L^{q_1}(\mathbb{R}, \dot{B}_{s_1,2}^{-\gamma_1+\mu})} \lesssim \|f\|_{\dot{B}_{2,2}^\mu}, \quad \forall f \in \dot{B}_{2,2}^\mu. \quad (2.6)$$

$$\left\| \int_{t < s} (U(t)U(s)^*)F(s)ds \right\|_{L^{q_1}(\mathbb{R}, \dot{B}_{s_1,2}^{-\gamma_1+\mu})} \lesssim \|F\|_{L^{q'_2}(\mathbb{R}, \dot{B}_{s'_2,2}^{\gamma_2+\mu})}, \quad \forall F \in L^{q'_2}(\mathbb{R}, \dot{B}_{s'_2,2}^{\gamma_2+\mu}). \quad (2.7)$$

Chamando de $\tau_1 = -\gamma_1 + \mu$, $\tau_2 = -(\gamma_2 + \mu - 1)$ e lembrando o modo como escrevemos u utilizando os operadores $U(t)$ e $U(s)^*$, segue:

$$\begin{aligned} \|u\|_{L^{q_1}(\mathbb{R}, \dot{B}_{s_1,2}^{\tau_1})} &\lesssim \|U(t)f\|_{L^{q_1}(\mathbb{R}, \dot{B}_{s_1,2}^{\tau_1})} + \|D^{-1}U(t)g\|_{L^{q_1}(\mathbb{R}, \dot{B}_{s_1,2}^{\tau_1})} + \\ &\quad \left\| \int_{t < s} D^{-1}(U(t)U(s)^*)F(s)ds \right\|_{L^{q_1}(\mathbb{R}, \dot{B}_{s_1,2}^{\tau_1})} \end{aligned}$$

Utilizando os resultados (2.6) e (2.7) na expressão acima, produziremos:

$$\begin{aligned} \|u\|_{L^{q_1}(\mathbb{R}, \dot{B}_{s_1,2}^{\tau_1})} &\lesssim \|f\|_{\dot{B}_{2,2}^{\mu}} + \|D^{-1}g\|_{\dot{B}_{2,2}^{\mu}} + \|D^{-1}F\|_{L^{q_2'}(\mathbb{R}, \dot{B}_{s_2,2}^{\gamma_2+\mu})} \\ &\lesssim \|f\|_{\dot{B}_{2,2}^{\mu}} + \|g\|_{\dot{B}_{2,2}^{\mu-1}} + \|F\|_{L^{q_2'}(\mathbb{R}, \dot{B}_{s_2,2}^{\gamma_2+\mu-1})}. \end{aligned}$$

Finalizando, como $\tau_2 = -(\gamma_2 + \mu - 1)$, segue:

$$\|u\|_{L^{q_1}(\mathbb{R}, \dot{B}_{s_1,2}^{\tau_1})} \lesssim \|f\|_{\dot{H}^{\mu}} + \|g\|_{\dot{H}^{\mu-1}} + \|F\|_{L^{q_2'}(\mathbb{R}, \dot{B}_{s_2,2}^{-\tau_2})}. \quad (2.8)$$

Por outro lado, $r_1 \geq s_1$ e $\tau_1 - \frac{3}{s_1} = \rho_1 - \frac{3}{r_1}$ e pela Proposição 1.4.1, temos:

$$\|u\|_{L^{q_1}(\mathbb{R}, \dot{B}_{r_1,2}^{\rho_1})} \lesssim \|u\|_{L^{q_1}(\mathbb{R}, \dot{B}_{s_1,2}^{\tau_1})}. \quad (2.9)$$

Como $r_2 \geq s_2$ e $\tau_2 - \frac{3}{s_2} = \rho_2 - \frac{3}{r_2}$, segue que $s_2' \geq r_2'$ e $-\tau_2 - \frac{3}{s_2'} = -\rho_2 - \frac{3}{r_2'}$ e pela Proposição 1.4.1, temos:

$$\|F\|_{L^{q_2'}(\mathbb{R}, \dot{B}_{s_2,2}^{-\tau_2})} \lesssim \|F\|_{L^{q_2'}(\mathbb{R}, \dot{B}_{r_2,2}^{-\rho_2})}. \quad (2.10)$$

Substituindo (2.9) e (2.10) em (2.8), obtemos o resultado desejado:

$$\|u\|_{L^{q_1}(\mathbb{R}, \dot{B}_{r_1,2}^{\rho_1})} \lesssim \|f\|_{\dot{H}^{\mu}} + \|g\|_{\dot{H}^{\mu-1}} + \|F\|_{L^{q_2'}(\mathbb{R}, \dot{B}_{r_2,2}^{-\rho_2})}.$$

□

Corolário 2.2.1 *Sejam $\mu \in \mathbb{R}$, e $2 < q_1, q_2 \leq \infty$ e $2 \leq r_1, r_2 < \infty$. Suponhamos também que as seguintes condições são satisfeitas:*

$$\begin{aligned} \frac{1}{q_i} &\leq \left(\frac{1}{2} - \frac{1}{r_i} \right), \quad \text{para } i = 1, 2 \\ 3 \left(\frac{1}{2} - \frac{1}{r_1} \right) - \frac{1}{q_1} &= \mu = 1 - \left[3 \left(\frac{1}{2} - \frac{1}{r_2} \right) - \frac{1}{q_2} \right]. \end{aligned}$$

Supondo $f \in \dot{H}^{\mu}(\mathbb{R}^3)$, $g \in \dot{H}^{\mu}(\mathbb{R}^3)$ e $F \in L^{q_2'}(\mathbb{R}, L^{r_2'})$. Se u é solução (fraca) do problema (2.1) então

$$\|u\|_{L^{q_1}(\mathbb{R}, L^{r_1})} \lesssim \|f\|_{\dot{H}^{\mu}} + \|g\|_{\dot{H}^{\mu-1}} + \|F\|_{L^{q_2'}(\mathbb{R}, L^{r_2'})}.$$

Demonstração: Tomando $\rho_1 = \rho_2 = 0$ no Teorema 2.2.1, teremos de imediato:

$$\|u\|_{L^{q_1}(\mathbb{R}, \dot{B}_{r_1,2}^0)} \lesssim \|f\|_{\dot{H}^\mu} + \|g\|_{\dot{H}^{\mu-1}} + \|F\|_{L^{q'_2}(\mathbb{R}, \dot{B}_{r'_2,2}^0)}. \quad (2.11)$$

Como $2 \leq r_1, r_2 < \infty$ e $1 < r'_1, r'_2 \leq 2$, obtemos pela Proposição 1.4.3:

$$\|u\|_{L^{q_1}(\mathbb{R}, \dot{H}_{r_1}^0)} \lesssim \|u\|_{L^{q_1}(\mathbb{R}, \dot{B}_{r_1,2}^0)} \quad (2.12)$$

$$\|F\|_{L^{q'_2}(\mathbb{R}, \dot{B}_{r'_2,2}^0)} \lesssim \|F\|_{L^{q'_2}(\mathbb{R}, \dot{H}_{r'_2}^0)}. \quad (2.13)$$

Agora utilizando (2.11), (2.12) e (2.13), obtemos:

$$\|u\|_{L^{q_1}(\mathbb{R}, \dot{H}_{r_1}^0)} \lesssim \|f\|_{\dot{H}^\mu} + \|g\|_{\dot{H}^{\mu-1}} + \|F\|_{L^{q'_2}(\mathbb{R}, \dot{H}_{r'_2}^0)}. \quad (2.14)$$

Pela definição das normas L^{r_1} e $\dot{H}_{r_1}^0$, observemos que

$$\|u\|_{L^{q_1}(\mathbb{R}, \dot{H}_{r_1}^0)} = \|u\|_{L^{q_1}(\mathbb{R}, L^{r_1})} \quad (2.15)$$

$$\|F\|_{L^{q'_2}(\mathbb{R}, \dot{H}_{r'_2}^0)} = \|F\|_{L^{q'_2}(\mathbb{R}, L^{r'_2})}. \quad (2.16)$$

Por fim, substituindo (2.15) e (2.16) em (2.14), obtemos o resultado:

$$\|u\|_{L^{q_1}(\mathbb{R}, L^{r_1})} \lesssim \|f\|_{\dot{H}^\mu} + \|g\|_{\dot{H}^{\mu-1}} + \|F\|_{L^{q'_2}(\mathbb{R}, L^{r'_2})}.$$

□

As definições que daremos a seguir serão fortemente usadas no próximo capítulo e juntamente com essas definições enunciaremos mais um importante caso da Estimativa de Strichartz.

Definição 2.2.1

- Diremos que (q, r) é onda admissível se

$$(q, r) \in W = \left\{ (q, r) : (q, r) \in (2, \infty] \times [2, \infty), \frac{1}{q} + \frac{1}{r} \leq \frac{1}{2} \right\}.$$

- Chamaremos de conjunto dual de W o seguinte conjunto

$$\widetilde{W} = \left\{ (\widetilde{q}, \widetilde{r}) : \frac{1}{\widetilde{q}} + \frac{1}{q} = 1, \frac{1}{\widetilde{r}} + \frac{1}{r} = 1, (q, r) \in W \right\}.$$

- Dado $m \in [0, 1]$, diremos que (q, r) é m -onda admissível se $(q, r) \in W$ e vale

$$\frac{1}{q} + \frac{3}{r} = \frac{3}{2} - m.$$

Corolário 2.2.2 (Estimativa m-Strichartz com derivativo)

Seja $m \in [0, 1]$ e $0 \leq \tau < \infty$, se u é solução fraca do problema (2.1) então temos a estimativa m -Strichartz com derivativo

$$\|u\|_{L_t^q([0,\tau])L_x^r} + \|\partial_t D^{-1}u\|_{L_t^q([0,\tau])L_x^r} \lesssim \|f\|_{\dot{H}^m} + \|g\|_{\dot{H}^{m-1}} + \|F\|_{L_t^{\tilde{q}}([0,\tau])L_x^{\tilde{r}}}$$

para $(q, r) \in W$, $(\tilde{q}, \tilde{r}) \in \widetilde{W}$ e $(q, r, \tilde{q}, \tilde{r})$ satisfazendo

$$\frac{1}{q} + \frac{3}{r} = \frac{3}{2} - m = \frac{1}{\tilde{q}} + \frac{3}{\tilde{r}} - 2.$$

Demonstração: Começaremos observando que poderíamos ter enunciado e demonstrado de forma análoga os resultados anteriores a respeito da Estimativa de Strichartz considerando $[0, \tau]$ como região de definição para t ao invés de \mathbb{R} .

A respeito das hipóteses sobre (q, r) e (\tilde{q}, \tilde{r}) vemos que podemos aplicar o Corolário 2.2.1 para $q_1 = q$, $q_2 = \tilde{q}$, $r_1 = r$, $r_2 = \tilde{r}$ e $\mu = m$, lembrando que \tilde{q} e \tilde{r} representam respectivamente os expoentes conjugados de \tilde{q} e \tilde{r} , portanto pelo Corolário 2.2.1, temos:

$$\|u\|_{L_t^q([0,\tau])L_x^r} \lesssim \|f\|_{\dot{H}^\mu} + \|g\|_{\dot{H}^{\mu-1}} + \|F\|_{L_t^{\tilde{q}}([0,\tau])L_x^{\tilde{r}}}. \quad (2.17)$$

Com isso obtemos uma parte da desigualdade que desejamos provar, nos resta agora obter um resultado semelhante para $\|\partial_t D^{-1}u\|_{L_t^q([0,\tau])L_x^r}$.

Pela Observação 2.2.1, vimos que podemos pensar na solução u como uma decomposição $u = u_l + u_{nl}$, onde $u_l = \cos(Dt)f + D^{-1}\sin(Dt)g$ é solução do problema homogêneo (2.2) e $u_{nl} = \int_0^t D^{-1}\sin(D(t-s))F(s)ds$ é solução do problema não homogêneo (2.3). Decompondo u ainda mais, podemos pensar na parte linear u_l como $u_l = u_l^1 + u_l^2$, onde $u_l^1(t) = \cos(Dt)f$ e $u_l^2(t) = D^{-1}\sin(Dt)g$.

Pela fórmula de Euler $e^{i\theta} = \cos \theta + i \sin \theta$, podemos escrever

$$u_l^1 = \cos(Dt)f = \frac{e^{itD}f + e^{-itD}f}{2}$$

$$u_l^2 = D^{-1}\sin(Dt)g = D^{-1}\left(\frac{e^{itD}g - e^{-itD}g}{2i}\right)$$

e obter:

$$D^{-1}\partial_t u_l^1 = \frac{ie^{itD}f - ie^{-itD}f}{2}$$

$$D^{-1}\partial_t u_l^2 = \frac{D^{-1}e^{itD}g + D^{-1}e^{-itD}g}{2}.$$

Portanto,

$$\|D^{-1}\partial_t u_l^1\|_{L_t^q([0,\tau])L_x^r} \lesssim \|e^{itD}f\|_{L_t^q([0,\tau])L_x^r} + \|e^{-itD}f\|_{L_t^q([0,\tau])L_x^r} \quad (2.18)$$

$$\|D^{-1}\partial_t u_l^2\|_{L_t^q([0,\tau])L_x^r} \lesssim \|e^{itD}D^{-1}g\|_{L_t^q([0,\tau])L_x^r} + \|e^{-itD}D^{-1}g\|_{L_t^q([0,\tau])L_x^r}. \quad (2.19)$$

Queremos utilizar aqui o Lema 2.2.1, portanto assim como fizemos na demonstração do Teorema 2.2.1, seja $s \leq r$ tal que $\frac{1}{q} + \frac{1}{s} = \frac{1}{2}$ e tomemos $\gamma_1 = 2\left(\frac{1}{2} - \frac{1}{s}\right)$, pelo Lema 2.2.1 e pela Proposição 1.4.2, obtemos:

$$\|e^{\pm itD}f\|_{L^q([0,\tau],\dot{B}_{s,2}^{-\gamma_1+m})} \lesssim \|f\|_{\dot{B}_{2,2}^m}. \quad (2.20)$$

Por hipótese sabemos que $\frac{1}{q} + \frac{3}{r} = \frac{3}{2} - m$ e portanto

$$\gamma_1 = 2\left(\frac{1}{2} - \frac{1}{s}\right) = \frac{3}{r} + \frac{3}{q} - \frac{3}{2} + m.$$

A última relação é de grande importância, pois ela implicará em

$$0 - \frac{3}{r} = -\gamma_1 + m - \frac{3}{s}$$

e pela Proposição 1.4.1 segue que

$$\|e^{\pm itD}f\|_{L^q([0,\tau],\dot{B}_{r,2}^0)} \lesssim \|e^{\pm itD}f\|_{L^q([0,\tau],\dot{B}_{s,2}^{-\gamma_1+m})}.$$

Recorrendo agora a Proposição 1.4.3 e observando a relação (2.20), obtemos:

$$\|e^{\pm itD}f\|_{L_t^q([0,\tau])L_x^r} \lesssim \|f\|_{\dot{H}^m}$$

e por (2.18) teremos:

$$\|D^{-1}\partial_t u_l^1\|_{L_t^q([0,\tau])L_x^r} \lesssim \|f\|_{\dot{H}^m}. \quad (2.21)$$

De modo similar,

$$\begin{aligned} \|D^{-1}\partial_t u_l^2\|_{L_t^q([0,\tau])L_x^r} &\lesssim \|D^{-1}g\|_{\dot{H}^m} \\ &= \|g\|_{\dot{H}^{m-1}}. \end{aligned} \quad (2.22)$$

Quanto a parte não linear $u_{nl}(t)$, observemos que

$$\partial_t u_{nl}(t) = \int_0^t \cos((t-s)D)F(s)ds.$$

Reescrevendo $\cos((t-s)D)F(s)$ pela fórmula de Euler e utilizando a propriedade triangular da norma $L_t^q([0,\tau])L_x^r$, teremos:

$$\begin{aligned} \|D^{-1}\partial_t u_{nl}\|_{L_t^q([0,\tau])L_x^r} &\lesssim \left\| \int_0^t D^{-1}e^{i(t-s)D}F(s)ds \right\|_{L_t^q([0,\tau])L_x^r} \\ &\quad + \left\| \int_0^t D^{-1}e^{-i(t-s)D}F(s)ds \right\|_{L_t^q([0,\tau])L_x^r}. \end{aligned}$$

De forma similar ao que fizemos no começo desta demonstração podemos utilizar o Lema 2.2.1 para concluir

$$\|D^{-1}\partial_t u_{nl}\|_{L_t^q([0,\tau])L_x^r} \lesssim \|F\|_{L_t^{\tilde{q}}([0,\tau])L_x^{\tilde{r}}}. \quad (2.23)$$

Finalizando, por (2.21), (2.22) e (2.23), temos:

$$\|\partial_t D^{-1}u\|_{L_t^q([0,\tau])L_x^r} \lesssim \|f\|_{\dot{H}^m} + \|g\|_{\dot{H}^{m-1}} + \|F\|_{L_t^{\tilde{q}}([0,\tau])L_x^{\tilde{r}}}. \quad (2.24)$$

Somando as desigualdades (2.17) e (2.24) obtemos o resultado

$$\|u\|_{L_t^q([0,\tau])L_x^r} + \|\partial_t D^{-1}u\|_{L_t^q([0,\tau])L_x^r} \lesssim \|f\|_{\dot{H}^m} + \|g\|_{\dot{H}^{m-1}} + \|F\|_{L_t^{\tilde{q}}([0,\tau])L_x^{\tilde{r}}}.$$

□

Capítulo 3

A Equação da Onda Cúbica

3.1 Introdução

Neste capítulo estudaremos a equação da onda cúbica no \mathbb{R}^3

$$\begin{cases} \partial_{tt}u - \Delta u &= -u^3 \\ u(0, x) &= u_0(x) \\ \partial_t u(0, x) &= u_1(x) \end{cases} \quad (3.1)$$

com dados iniciais $(u_0, u_1) \in H^s(\mathbb{R}^3) \times H^{s-1}(\mathbb{R}^3)$ e $\frac{13}{18} < s < 1$.

Nosso foco estarão nas soluções fracas a valores reais reais u , $\partial_t u$ pertencentes a $C([0, T], H^s(\mathbb{R}^3))$, $C([0, T], H^{s-1}(\mathbb{R}^3))$ respectivamente e que satisfazem a seguinte equação integral:

$$u(t) = \cos(tD)u_0 + D^{-1} \sin(tD)u_1 - \int_0^t D^{-1} \sin((t-t')D)u^3(t')dt'. \quad (3.2)$$

Podemos observar que para $u(t) \in H^s(\mathbb{R}^3)$, teremos aqui $-u^3(t)$ muito bem localizada em um espaço do tipo $L^p(\mathbb{R}^3)$ com $p \geq 1$, de fato pelo Teorema 1.3.2, temos:

$$\|u(t)^3\|_{L^p} = \left(\int |u^3|^p dx \right)^{\frac{1}{p}} = \left(\int |u|^{3p} dx \right)^{\frac{3}{3p}} \lesssim (\|u(t)\|_{H^s})^3$$

com $3p = \frac{6}{3-2s}$. Portanto, como $s > \frac{13}{18} > \frac{1}{2}$ temos $p \geq 1$.

Devido a argumentos de aproximação e densidade, iremos supor neste capítulo que as funções em questão são Schwartz no espaço e de classe C^∞ com respeito ao tempo.

Um resultado importante para este tipo de problema e que certamente motiva as construções que faremos neste capítulo é a lei de conservação de energia que vale para a equação da onda.

Teorema 3.1.1 (Lei de conservação de Energia)

Seja u solução de (3.1), definiremos

$$E(u(t)) = \frac{1}{2} \int_{\mathbb{R}^3} (\partial_t u)^2(t, x) dx + \frac{1}{2} \int_{\mathbb{R}^3} |(Du)(t, x)|^2 dx + \frac{1}{4} \int_{\mathbb{R}^3} u^4(t, x) dx \quad (3.3)$$

como sendo a energia associada a solução u .

Para $E(u(t))$ vale:

$$E(u(t)) = E(u(0)), \quad \forall t \in [0, T].$$

Demonstração: Começaremos calculando $\partial_t E(u(t))$.

$$\begin{aligned} \partial_t E(u(t)) &= \partial_t \left(\frac{1}{2} \int_{\mathbb{R}^3} (\partial_t u)^2 dx + \frac{1}{2} \int_{\mathbb{R}^3} |(Du)|^2 dx + \frac{1}{4} \int_{\mathbb{R}^3} u^4 dx \right) \\ &= \partial_t \left(\frac{1}{2} \int_{\mathbb{R}^3} (\partial_t u)^2 dx + \frac{1}{2} \int_{\mathbb{R}^3} Du \overline{Du} + \frac{1}{4} \int_{\mathbb{R}^3} u^4 dx \right) \\ &= \int_{\mathbb{R}^3} \partial_t^2 u \partial_t u dx + \int_{\mathbb{R}^3} Re(D \partial_t u \overline{Du}) + \int_{\mathbb{R}^3} u^3 \partial_t u dx \\ &= Re \left(\int_{\mathbb{R}^3} \partial_t^2 u \partial_t u + D \partial_t u \overline{Du} + u^3 \partial_t u dx \right). \end{aligned}$$

Assim,

$$\partial_t E(u(t)) = Re \left(\int_{\mathbb{R}^3} \partial_t^2 u \partial_t u + D \partial_t u \overline{Du} + u^3 \partial_t u dx \right).$$

Pelo Teorema 1.2.1, obtemos:

$$\begin{aligned} \int_{\mathbb{R}^3} D \partial_t u \overline{Du} dx &= (2\pi)^{-3} \int_{\mathbb{R}^3} \widehat{D \partial_t u} \overline{\widehat{Du}} d\xi \\ &= (2\pi)^{-3} \int_{\mathbb{R}^3} |\xi| \partial_t \widehat{u} |\xi| \overline{\widehat{u}} d\xi \\ &= (2\pi)^{-3} \int_{\mathbb{R}^3} \partial_t \widehat{u} |\xi|^2 \overline{\widehat{u}} d\xi \\ &= \int_{\mathbb{R}^3} \partial_t u \overline{D^2 u} d\xi. \end{aligned}$$

Portanto,

$$\int_{\mathbb{R}^3} D \partial_t u \overline{Du} dx = \int_{\mathbb{R}^3} \partial_t u \overline{D^2 u} d\xi.$$

Por outro lado,

$$D^2 u = \mathcal{F}^{-1}(|\cdot|^2 \widehat{u}) = \mathcal{F}^{-1}(-\widehat{\Delta u}) = -\Delta u.$$

Assim, obtemos:

$$\partial_t E(u(t)) = \operatorname{Re} \left(\int_{\mathbb{R}^3} \partial_t u (\partial_t^2 u - \Delta u + u^3) dx \right) = 0$$

Portanto,

$$E(u(t)) = E(u(0)), \quad \forall t \in [0, T]. \quad \square$$

Esta lei de conservação é importante para a teoria do problema da onda, porém ela não nos servirá aqui. O motivo é simples, como estamos trabalhando com os dados de Cauchy (u_0, u_1) em $H^s \times H^{s-1}$ para $s < 1$, não temos garantia da finitude da energia $E(u(0))$ e por isso este tipo de relação não se mostra muito atraente. Por outro lado, para $s = 1$ podemos provar que $E(u(0)) < \infty$ e utilizando esta lei de conservação de energia e a teoria da boa colocação local podemos provar a boa colocação global para (3.1), como faremos no próximo Corolário.

Corolário 3.1.1 *O problema (3.1) é globalmente bem posto para $s = 1$.*

Demonstração: A idéia dessa demonstração consiste em utilizar a lei de conservação de energia para obter uma desigualdade do tipo (2) que garante a boa colocação global para este problema. Começaremos então provando que para $s = 1$, vale $E(u(0)) < \infty$. De fato, $s = 1$ implica em $(u_0, u_1) \in H^1 \times H^0$, logo

$$\|\partial_t u(0)\|_{L^2} = \|u_1\|_{H^0} < \infty$$

$$\|Du_0\|_{L^2} \leq \|u_0\|_{H^1} < \infty$$

$$\|u_0\|_{L^2} \leq \|u_0\|_{H^1} < \infty.$$

Pela Proposição 1.1.2 e Teorema 1.3.2, segue para $\lambda = \frac{3}{12}$ que

$$\|u_0\|_{L^4} \leq \|u_0\|_{L^2}^\lambda \|u_0\|_{L^6}^{1-\lambda}$$

$$\lesssim \|u_0\|_{L^2}^\lambda \|u_0\|_{H^1}^{1-\lambda} < \infty.$$

Assim,

$$E(u(0)) = \frac{1}{2} \|\partial_t u(0)\|_{L^2}^2 + \frac{1}{2} \|Du_0\|_{L^2}^2 + \frac{1}{4} \|u_0\|_{L^4}^4 < \infty.$$

Provaremos agora uma estimativa do tipo (2) para todo $T > 0$.

Pela definição de $E(u(T))$ e pela lei de conservação de energia, sabemos que

$$\|\partial_t u(T)\|_{H^0}^2 \lesssim E(u(T)) = E(u(0)).$$

A definição da norma $\|\cdot\|_{H^1}$ e a identidade de Plancherel, produzem:

$$\begin{aligned} \|u(T)\|_{H^1}^2 &= \int (1 + |\xi|^2) |\widehat{u}(T)|^2 d\xi = \|\widehat{u}(T)\|_{L^2}^2 + \|\cdot \widehat{u}(T)\|_{L^2}^2 \\ &= (2\pi)^3 \|u(T)\|_{L^2}^2 + (2\pi)^3 \|Du(T)\|_{L^2}^2. \end{aligned}$$

De um lado sabemos que $\|Du(T)\|_{L^2}^2 \lesssim E(u(0))$. Por outro, utilizando o teorema fundamental do cálculo, segue:

$$\begin{aligned}
\|u(T)\|_{L^2}^2 &\leq (\|u(T) - u(0)\|_{L^2} + \|u(0)\|_{L^2})^2 \\
&\lesssim \|u(T) - u(0)\|_{L^2}^2 + \|u(0)\|_{L^2}^2 \\
&= \left\| \int_0^T \partial_t u(t) dt \right\|_{L^2}^2 + \|u(0)\|_{L^2}^2 \\
&\leq \left(\int_0^T \|\partial_t u(t)\|_{L^2} dt \right)^2 + \|u_0\|_{H^1}^2 \\
&\lesssim \left[\int_0^T (E(u(0)))^{\frac{1}{2}} dt \right]^2 + \|u_0\|_{H^1}^2 \\
&= T^2 E(u(0)) + \|u_0\|_{H^1}^2.
\end{aligned}$$

Assim, obtemos a estimativa

$$\|u(T)\|_{H^1}^2 + \|\partial_t u(T)\|_{H^0}^2 \lesssim \|u_0\|_{H^1}^2 + (T^2 + 2)E(u(0)).$$

que nos fornece a boa colocação global para o caso $s = 1$. \square

Está conjecturado que (3.1) é globalmente bem posto em $H^s(\mathbb{R}^3) \times H^{s-1}(\mathbb{R}^3)$ para $s > \frac{1}{2}$. O estudo da boa colocação global para a equação da onda cúbica tem atraído a atenção de muitos pesquisadores. Kenig, Ponce e Vega em [16] foram os primeiros a provar que (3.1) é globalmente bem posto para $\frac{3}{4} < s < 1$, eles usaram o método de Fourier truncado descoberto por Bourgain em [5]. I. Gallagher e F. Planchon em [11] propuseram um método diferente para provar a boa colocação global para $\frac{3}{4} < s < 1$, H. Bahouri e Jean - Yves Chemin em [2] provaram a boa colocação global para $s = \frac{3}{4}$ usando um método de interpolação não linear e estimativas logarítmicas criadas por S. Klainerman e D. Tataru em [17]. Recentemente foi provado em [25] por T. Roy que o problema da equação da onda cúbica com dados radiais em $H^s \times H^{s-1}$ é globalmente bem posto para $\frac{7}{10} < s < 1$.

Por fim, o objetivo deste capítulo será o de compreender e demonstrar o seguinte teorema dado por T. Roy em [23]:

Teorema 3.1.2 *O problema de Cauchy para a equação da onda cúbica é globalmente bem posto em $H^s(\mathbb{R}^3) \times H^{s-1}(\mathbb{R}^3)$ para $1 > s > \frac{13}{18} \cong 0,722$. Mais ainda, se $s > \frac{13}{18}$ está perto de $\frac{13}{18}$ e T é suficientemente grande então*

$$\|(u(T), \partial_t u(T))\|_{H^s \times H^{s-1}}^2 \leq C(\|u_0\|_{H^s}, \|u_1\|_{H^{s-1}}) T^{\frac{28s-18}{18s-13}+}. \quad (3.4)$$

3.2 Resultados Preliminares

Enunciaremos neste capítulo quatro proposições que nos permitirá demonstrar o Teorema 3.1.2. Antes porém algumas definições são necessárias.

Definição 3.2.1 Denotaremos por I o operador $\widehat{I}f(\xi) = m(\xi)\widehat{f}(\xi)$ onde m é uma função regular radial e não crescente definida por

$$m(\xi) = \begin{cases} 1, & \text{se } |\xi| \leq N \\ \left(\frac{N}{|\xi|}\right)^{1-s}, & \text{se } |\xi| \geq 2N \end{cases}$$

onde $N \gg 1$ representa uma constante que escolheremos futuramente.

A importância desta definição está no fato de desejarmos utilizar a fórmula da energia (3.3) para provarmos o teorema 3.1.2, porém para $s < 1$ como mencionamos anteriormente a energia (3.3) pode não assumir valores finitos dado que a solução $(u(t), \partial_t u(t))$ estará em $H^s(\mathbb{R}^3) \times H^{s-1}(\mathbb{R}^3)$. Por esse motivo trabalharemos com a energia modificada da onda $E(Iu(t))$, definida por

$$E(Iu(t)) = \frac{1}{2} \int_{\mathbb{R}^3} |(\partial_t Iu)(t, x)|^2 dx + \frac{1}{2} \int_{\mathbb{R}^3} |(DIu)(t, x)|^2 dx + \frac{1}{4} \int_{\mathbb{R}^3} |Iu(t, x)|^4 dx. \quad (3.5)$$

Pela identidade de Plancherel segue (i) e (ii) abaixo e pelo Teorema 1.3.2 segue (iii), portanto se $(u(t), \partial_t u(t)) \in H^s(\mathbb{R}^3) \times H^{s-1}(\mathbb{R}^3)$ então $E(Iu(t)) < \infty$.

$$\begin{aligned} \text{(i)} \quad & \int_{\mathbb{R}^3} (|\partial_t Iu(t, x)|)^2 dx = (2\pi)^{-3} \int_{\mathbb{R}^3} |m(\xi)\partial_t \widehat{u}(t, \xi)|^2 d\xi \\ & = (2\pi)^{-3} \left[\int_{|\xi| < 2N} |m(\xi)\partial_t \widehat{u}(t, \xi)|^2 d\xi + \int_{|\xi| \geq 2N} |m(\xi)\partial_t \widehat{u}(t, \xi)|^2 d\xi \right] \\ & \leq C_1 \|\partial_t u\|_{H^{s-1}}^2 < \infty. \\ \text{(ii)} \quad & \int_{\mathbb{R}^3} (|DIu(t, x)|)^2 dx = (2\pi)^{-3} \int_{\mathbb{R}^3} |\xi|^2 |m(\xi)\widehat{u}(t, \xi)|^2 d\xi \\ & = (2\pi)^{-3} \left[\int_{|\xi| < 2N} |\xi|^2 |\widehat{u}(t, \xi)|^2 d\xi + \int_{|\xi| \geq 2N} |\xi|^2 \left(\frac{N}{|\xi|}\right)^{2-2s} |\widehat{u}(t, \xi)|^2 d\xi \right] \\ & \leq C_2 \|u(t)\|_{H^s}^2 < \infty. \\ \text{(iii)} \quad & \|Iu(t)\|_{L^4} \leq C \|Iu(t)\|_{\dot{H}^{\frac{3}{4}}} = C \left(\int_{\mathbb{R}^3} |\xi|^{\frac{3}{2}} |m(\xi)\widehat{u}(t, \xi)|^2 d\xi \right)^{\frac{1}{2}} \\ & \leq C \left[\int_{|\xi| < 2N} |\xi|^{\frac{3}{2}} |\widehat{u}(t, \xi)|^2 d\xi + \int_{|\xi| \geq 2N} |\xi|^{\frac{3}{2}} \left(\frac{N}{|\xi|}\right)^{2-2s} |\widehat{u}(t, \xi)|^2 d\xi \right]^{\frac{1}{2}} \\ & \leq C_3 \|u(t)\|_{H^s} < \infty \end{aligned}$$

onde C_1 , C_2 e C_3 são constantes que dependem de N .

Observemos também que a medida que N cresce o operador I se aproxima do operador identidade, portanto a variação da energia modificada é esperada ser baixa se tomarmos um N muito grande, pelo fato da variação de $E(u(t))$ ser nula. Este método de introduzir o operador I para que seja possível fazer futuras comparações utilizando a fórmula da energia modificada foi originalmente inventado por J. Colliander, M. Kell, G. Staffilani, H. Takaoka e T. Tao em [8] para provar a boa colocação global para a equação semilinear de Schrödinger com dado inicial em $H^s(\mathbb{R}^n)$ para $n = 2$ e 3 e $s = \frac{4}{7}$ e $\frac{5}{6}$ respectivamente.

Lema 3.2.1 (Regra Leibnitz)

Sejam $f, g \in \mathcal{S}(\mathbb{R}^n)$. Para $\alpha \geq 1 - s$ e $1 < p_1, p_2, q_1, q_2, r < \infty$ com $\frac{1}{p_1} + \frac{1}{q_1} = \frac{1}{r} = \frac{1}{p_2} + \frac{1}{q_2}$, vale

$$\|D^\alpha I(fg)\|_{L^r} \lesssim \|D^\alpha I f\|_{L^{p_1}} \|g\|_{L^{q_1}} + \|f\|_{L^{p_2}} \|D^\alpha I g\|_{L^{q_2}}.$$

Demonstração: Seja ψ a função C_0^∞ que definimos no início da seção 1.4, ou seja ψ está suportada em $\{\xi \in \mathbb{R}^3 : \frac{1}{2} \leq |\xi| \leq 2\}$ e satisfaz $\sum_{j \in \mathbb{Z}} \psi(2^j \xi) = 1, \forall \xi \in \mathbb{R}^3 \setminus \{0\}$. Além

disso, definiremos também uma função $\tilde{\psi} \in C_0^\infty$ com suporte em $\{\xi \in \mathbb{R}^3 : \frac{1}{8} \leq |\xi| \leq 8\}$ tal que $\tilde{\psi}(\xi) = 1$ no conjunto $\{\xi \in \mathbb{R}^3 : \frac{1}{4} \leq |\xi| \leq 4\}$. De imediato podemos observar que $\psi(\xi)\tilde{\psi}(\xi) = \psi(\xi), \forall \xi \in \mathbb{R}^3$.

Definindo os operados

$$\widehat{Q_j u}(\xi) = \psi(2^{-j} \xi) \widehat{u}(\xi)$$

$$\widetilde{Q_j u}(\xi) = \tilde{\psi}(2^{-j} \xi) \widehat{u}(\xi)$$

seja P_k o seguinte operador

$$P_k u = \sum_{j \leq k-3} Q_j u.$$

Pela decomposição de Littlewood Paley, temos:

$$u = \sum_{j \in \mathbb{Z}} Q_j u = \sum_{j \in \mathbb{Z}} \widetilde{Q_j} Q_j u.$$

Para as funções f e g , teremos portanto

$$f = \sum_{j \in \mathbb{Z}} Q_j f \quad e \quad g = \sum_{i \in \mathbb{Z}} Q_i g.$$

Utilizaremos aqui a decomposição de Bony.

$$fg = \sum_{j \in \mathbb{Z}} Q_j f P_j g + \sum_{j \in \mathbb{Z}} Q_j g P_j f + \sum_{|i-j| \leq 2} Q_j f Q_i g. \tag{3.6}$$

Veja [9] para mais detalhes a respeito da decomposição de Bony.

Agora, observando que

$$\text{Supp}(\widehat{Q_k f P_k g}) = \text{Supp}(\widehat{Q_k f} * \widehat{P_k g}) \subset \text{Supp}(\widehat{Q_k f}) + \text{Supp}(\widehat{P_k g})$$

$$\text{Supp}(\widehat{Q_k f}) + \text{Supp}(\widehat{P_k g}) \subset \{\xi \in \mathbb{R}^3 : 2^{k-2} \leq |\xi| \leq 2^{k+2}\}$$

mais o fato de $\tilde{\psi}(2^{-k}\xi) = 1, \forall \xi \in \{\xi \in \mathbb{R}^3 : 2^{k-2} \leq |\xi| \leq 2^{k+2}\}$, segue:

$$Q_k f P_k g = \tilde{Q}_k(Q_k f P_k g).$$

Logo, por (3.6), obtemos

$$fg = \sum_{j \in \mathbb{Z}} \tilde{Q}_j(Q_j f P_j g) + \sum_{j \in \mathbb{Z}} \tilde{Q}_j(Q_j g P_j f) + \sum_{|i-j| \leq 2} Q_j f Q_i g \quad (3.7)$$

e pela Proposição 1.4.4 é possível obter:

$$\|D^\alpha I u\|_{L^r} \sim \left\| \left(\sum_{j \in \mathbb{Z}} |2^{j\alpha} m(2^j) Q_j u|^2 \right)^{\frac{1}{2}} \right\|_{L^r}. \quad (3.8)$$

Aplicando o operador $D^\alpha I$ em (3.7) e tomando a norma L^r , teremos:

$$\begin{aligned} \|D^\alpha I(fg)\|_{L^r} &\leq \left\| D^\alpha I \sum_{j \in \mathbb{Z}} (\tilde{Q}_j(Q_j f P_j g)) \right\|_{L^r} + \left\| D^\alpha I \sum_{j \in \mathbb{Z}} (\tilde{Q}_j(Q_j g P_j f)) \right\|_{L^r} \\ &\quad + \left\| D^\alpha I \sum_{|i-j| \leq 2} (Q_j f Q_i g) \right\|_{L^r}. \end{aligned} \quad (3.9)$$

Por outro lado, podemos observar que

$$|\tilde{Q}_j u(x)| \lesssim M u(x) \quad (3.10)$$

$$|Q_j u(x)| \lesssim M u(x) \quad (3.11)$$

$$|P_j u(x)| \lesssim M u(x) \quad (3.12)$$

para todo $u \in \mathcal{S}$, onde M denota o operador maximal descrito na Proposição 1.1.5, ou seja,

$$M u(x) = \sup_{r>0} \frac{1}{m(B(x, r))} \int_{B(x, r)} |u(y)| dy.$$

Pela definição do operador \tilde{Q}_j , sabemos que

$$\tilde{Q}_j u = \mathcal{F}^{-1}(\tilde{\psi}(2^{-j}\cdot)\hat{u}) = 2^{3j} \nu(2^j\cdot) * u$$

onde $\nu(x) = \mathcal{F}^{-1}(\tilde{\psi})(x)$, portanto escrevendo $\psi_j(x) = 2^{3j} \nu(2^j x)$, teremos:

$$\tilde{Q}_j u(x) = \psi_j * u(x). \quad (3.13)$$

Além disso, fixado $N \in \mathbb{N}$, segue pelo Teorema 1.2.1 que

$$\begin{aligned} |\psi_j(x)| &= 2^{3j} |\nu(2^j(x))| = 2^{3j} |\mathcal{F}^{-1}(\tilde{\psi})(2^j(x))| \\ &= 2^{3j} (2\pi)^{-3} \left| \int e^{i(2^j x) \cdot \xi} \tilde{\psi}(\xi) d\xi \right| \\ &\lesssim 2^{3j} \left\| \tilde{\psi} \right\|_{L^1} \end{aligned}$$

de modo geral,

$$\begin{aligned} |((2^j)x_k)^N \psi_j(x)| &= 2^{3j} |((2^j)x_k)^N \nu(2^j(x))| = 2^{3j} |((2^j)x_k)^N \mathcal{F}^{-1}(\tilde{\psi})(2^j(x))| \\ &= 2^{3j} |\mathcal{F}^{-1}(\partial_k^N \tilde{\psi})(2^j(x))| \\ &= 2^{3j} (2\pi)^{-3} \left| \int e^{i(2^j x) \cdot \xi} \partial_k^N \tilde{\psi}(\xi) d\xi \right| \\ &\lesssim 2^{3j} \left\| \partial_k^N \tilde{\psi} \right\|_{L^1}. \end{aligned}$$

para $k \in \{1, 2, 3\}$.

Portanto, obtemos:

$$|\psi_j(x)| \lesssim 2^{3j} \quad (3.14)$$

$$|(2^j x_k)^N \psi_j(x)| \lesssim 2^{3j}, \quad k \in \{1, 2, 3\}. \quad (3.15)$$

Somando então (3.14) e (3.15), obtemos:

$$(1 + |2^j x_1|^N + |2^j x_2|^N + |2^j x_3|^N) |\psi_j(x)| \lesssim 2^{3j}. \quad (3.16)$$

Por outro lado, para a, b, c números reais positivos, podemos provar que

$$3^{-t} (a + b + c)^t \leq a^t + b^t + c^t \leq 3(a + b + c)^t \quad (3.17)$$

para todo $t > 0$.

De fato, $3(a^t + b^t + c^t)^{\frac{1}{t}} \geq a + b + c$, portanto

$$a^t + b^t + c^t \geq 3^{-t} (a + b + c)^t. \quad (3.18)$$

Por outro lado, sabemos que $a + b + c = (a^t)^{\frac{1}{t}} + (b^t)^{\frac{1}{t}} + (c^t)^{\frac{1}{t}}$, e pela relação (3.18), obtemos

$$a + b + c \geq 3^{-\frac{1}{t}} (a^t + b^t + c^t)^{\frac{1}{t}}$$

por fim, aplicando a potência t em ambos os lados da última desigualdade, temos:

$$(a + b + c)^t \geq 3^{-1}(a^t + b^t + c^t).$$

Isso conclui a desigualdade (3.17).

Portanto, tendo em vista (3.17), por (3.16) obtemos:

$$\begin{aligned} (1 + 2^j|x|)^N |\psi_j(x)| &\leq 3^N (1 + 2^{jN}|x|^N) |\psi_j(x)| \\ &\leq 3^N [1 + 2^{jN}(|x_1| + |x_2| + |x_3|)^N] |\psi_j(x)| \\ &\leq 3^{2N} [1 + 2^{jN}(|x_1|^N + |x_2|^N + |x_3|^N)] |\psi_j(x)| \\ &\lesssim 3^{2N} 2^{3j}. \end{aligned}$$

Assim,

$$|\psi_j(x)| \lesssim 3^{2N} (1 + 2^j|x|)^{-N} 2^{3j}, \quad \forall N \in \mathbb{N}. \quad (3.19)$$

Estamos agora em condições de provar $|\tilde{Q}_j u(x)| \lesssim Mu(x)$, por (3.13) é suficiente provarmos $\psi_j * u(x) \lesssim Mu(x)$. Portanto, tomando $N = 4$, teremos:

$$\begin{aligned} |\psi_j * u(x)| &= \left| \int \psi_j(y) u(x - y) dy \right| \leq \int |\psi_j(y)| |u(x - y)| dy \\ &\leq 3^8 2^{3j} \int (1 + 2^j|y|)^{-4} |u(x - y)| dy. \end{aligned}$$

Para facilitar a nossa notação, seja $k(y) = (1 + 2^j|y|)^{-4}$, assim

$$|\psi_j * u(x)| \lesssim 2^{3j} \int k(y) |u(x - y)| dy.$$

Sendo $E = \{(y, t) : y \in \mathbb{R}^3, t > 0, k(y) > t\}$, segue que

$$k(y) = \int_0^{k(y)} dt = \int_0^\infty \chi_E(y, t) dt$$

onde $\chi_E(y, t)$ representa a função característica do conjunto E .

Agora, utilizando o Teorema de Fubini, obtemos:

$$\begin{aligned} |\psi_j * u(x)| &\lesssim 2^{3j} \int_{\mathbb{R}^3} \int_0^\infty \chi_E(y, t) dt |u(x - y)| dy \\ &= 2^{3j} \int_0^\infty \int_{\mathbb{R}^3} \chi_E(y, t) |u(x - y)| dy dt \\ &= 2^{3j} \int_0^\infty \int_{\{y \in \mathbb{R}^3 : k(y) > t\}} |u(x - y)| dy dt. \end{aligned}$$

Seja $E_t = \{y \in \mathbb{R}^3 : k(y) > t\}$, pela definição de $k(y)$ é fácil ver que E_t é uma bola centrada na origem. Denotando a medida de Lebesgue de E_t por $|E_t|$, teremos:

$$\begin{aligned}
|\psi_j * u(x)| &\lesssim 2^{3j} \int_0^\infty \int_{E_t} |u(x-y)| dy dt \\
&= 2^{3j} \int_0^\infty |E_t| \left(\frac{1}{|E_t|} \int_{E_t} |u(x-y)| dy \right) dt \\
&\lesssim 2^{3j} \int_0^\infty |E_t| M u(x) dt \\
&= 2^{3j} M u(x) \int_0^\infty |E_t| dt \\
&= 2^{3j} M u(x) \int_0^\infty \left(\int_{\mathbb{R}^3} \chi_{E_t}(y) dy \right) dt \\
&= 2^{3j} M u(x) \int_{\mathbb{R}^3} \left(\int_0^\infty \chi_{E_t}(y) dt \right) dy \\
&= 2^{3j} M u(x) \int_{\mathbb{R}^3} k(y) dy \\
&= 2^{3j} M u(x) \|k(y)\|_{L^1}.
\end{aligned}$$

Portanto,

$$|\psi_j * u(x)| \lesssim 2^{3j} M u(x) \|k(y)\|_{L^1}.$$

Calculemos agora $\|k(y)\|_{L^1}$.

$$\begin{aligned}
\|k(y)\|_{L^1} &= \int_{\mathbb{R}^3} \frac{1}{(1+2^j|y|)^4} dy \\
&= \int_0^\infty \int_{S^2} \frac{1}{(1+2^j r)^4} d\sigma r^2 dr \\
&= \int_{S^2} d\sigma \int_0^\infty \frac{r^2}{(1+2^j r)^4} dr \\
&= \int_{S^2} d\sigma \int_1^\infty \frac{(w-1)^2}{w^4} \frac{1}{2^j} dw \\
&= \int_{S^2} d\sigma \frac{1}{3} \cdot \frac{1}{2^{3j}}.
\end{aligned}$$

Assim,

$$|\psi_j * u(x)| \lesssim M u(x). \quad (3.20)$$

A prova de $|Q_j u(x)| \lesssim Mu(x)$ ocorre pelos mesmos argumentos que utilizamos para obter (3.20). Para provarmos $|P_j u(x)| \lesssim Mu(x)$, basta observar que

$$\widehat{P_j u}(\xi) = \sum_{k \leq j-3} \psi(2^{-k}\xi) \widehat{u}(\xi) = \phi(2^{-j}\xi) \widehat{u}(\xi)$$

onde $\phi(\xi) = \sum_{k \leq -3} \psi(2^{-k}\xi) \in C_0^\infty(B(0, 2^4))$.

Assim, podemos escrever $P_j u(x) = \phi_j * u(x)$, para alguma função ϕ_j em $\mathcal{S}(\mathbb{R}^3)$ e procedendo de maneira análoga ao que fizemos para obter (3.20), obteremos

$$|P_j u(x)| \lesssim Mu(x).$$

Retomando o objetivo principal dessa demonstração, utilizaremos a seguir (3.8), (3.10), (3.11), (3.12), o Proposição 1.1.5 e a desigualdade de Hölder.

$$\begin{aligned} \left\| D^\alpha I \sum_{j \in \mathbb{Z}} \tilde{Q}_j(Q_j f P_j g) \right\|_{L^r} &\lesssim \left\| \left(\sum_{k \in \mathbb{Z}} |2^{k\alpha} m(2^k) Q_k \sum_{j \in \mathbb{Z}} \tilde{Q}_j(Q_j f P_j g)|^2 \right)^{\frac{1}{2}} \right\|_{L^r} \\ &\lesssim \left\| \left[\sum_{j \in \mathbb{Z}} |2^{j\alpha} m(2^j) \tilde{Q}_j(Q_j f P_j g)|^2 \right]^{\frac{1}{2}} \right\|_{L^r} \\ &\lesssim \left\| \left[\sum_{j \in \mathbb{Z}} |2^{j\alpha} m(2^j) M(Q_j f P_j g)|^2 \right]^{\frac{1}{2}} \right\|_{L^r} \\ &\lesssim \left\| \left(\sum_{j \in \mathbb{Z}} |2^{j\alpha} m(2^j) Q_j f P_j g|^2 \right)^{\frac{1}{2}} \right\|_{L^r} \\ &\lesssim \left\| \left(\sum_{j \in \mathbb{Z}} |2^{j\alpha} m(2^j) Q_j f M g|^2 \right)^{\frac{1}{2}} \right\|_{L^r} \\ &\lesssim \left\| M g \left(\sum_{j \in \mathbb{Z}} |2^{j\alpha} m(2^j) Q_j f|^2 \right)^{\frac{1}{2}} \right\|_{L^r} \\ &\lesssim \|M g\|_{L^{p_1}} \left\| \left(\sum_{j \in \mathbb{Z}} |2^{j\alpha} m(2^j) Q_j f|^2 \right)^{\frac{1}{2}} \right\|_{L^{q_1}} \\ &\lesssim \|g\|_{L^{p_1}} \left\| \left(\sum_{j \in \mathbb{Z}} |D^\alpha I Q_j f|^2 \right)^{\frac{1}{2}} \right\|_{L^{q_1}} \\ &\lesssim \|g\|_{L^{p_1}} \|D^\alpha I f\|_{L^{q_1}}. \end{aligned}$$

Por razões análogas podemos concluir que

$$\left\| D^\alpha I \sum_{j \in \mathbb{Z}} (\tilde{Q}_j(Q_j g P_j f)) \right\|_{L^r} \lesssim \|f\|_{L^{p_2}} \|D^\alpha I g\|_{L^{q_2}}.$$

Para concluir o lema nos resta estimar o último termo de (3.9). Observando que $Q_k(Q_i f Q_j g) = 0$, se $k > \max(i, j) + 4$ e $|i - j| \leq 2$ e utilizando (3.8) e as desigualdades de Cauchy-Schwarz e Hölder concluiremos a demonstração do lema.

$$\begin{aligned}
& \left\| D^\alpha I \sum_{|i-j| \leq 2} (Q_j f Q_i g) \right\|_{L^r} \lesssim \left\| \left[\sum_{k \in \mathbb{Z}} \left| 2^{\alpha k} m(2^k) Q_k \sum_{|i-j| \leq 2} (Q_j f Q_i g) \right|^2 \right]^{\frac{1}{2}} \right\|_{L^r} \\
& = \left\| \left[\sum_{k \in \mathbb{Z}} \left| 2^{\alpha k} m(2^k) Q_k \sum_{|i-j| \leq 2, \max(i,j) \geq k-4} (Q_j f Q_i g) \right|^2 \right]^{\frac{1}{2}} \right\|_{L^r} \\
& \lesssim \left\| \left[\sum_{k \in \mathbb{Z}} \left| Q_k \sum_{|i-j| \leq 2, \max(i,j) \geq k-4} 2^{\alpha \max(i,j)} m(2^{\max(i,j)}) (Q_j f Q_i g) \right|^2 \right]^{\frac{1}{2}} \right\|_{L^r} \\
& \lesssim \left\| \sum_{|i-j| \leq 2, \max(i,j) \geq k-4} 2^{\alpha \max(i,j)} m(2^{\max(i,j)}) (Q_j f Q_i g) \right\|_{L^r} \\
& \lesssim \left\| \sum_{|i-j| \leq 2, \max(i,j) \geq k-4} |2^{\alpha i} m(2^i) (Q_j f Q_i g)| + \sum_{|i-j| \leq 2, \max(i,j) \geq k-4} 2^{\alpha j} |m(2^j) (Q_j f Q_i g)| \right\|_{L^r} \\
& \lesssim \left\| \sum_{|i-j| \leq 2, \max(i,j) \geq k-4} |2^{\alpha i} m(2^i) (Q_j f Q_i g)| \right\|_{L^r} \\
& + \left\| \sum_{|i-j| \leq 2, \max(i,j) \geq k-4} |2^{\alpha j} m(2^j) (Q_j f Q_i g)| \right\|_{L^r} \\
& \lesssim \left\| \left(\sum_{|i-j| \leq 2, \max(i,j) \geq k-4} |Q_j f|^2 \right)^{\frac{1}{2}} \left(\sum_{|i-j| \leq 2, \max(i,j) \geq k-4} |2^{\alpha i} m(2^i) Q_i g|^2 \right)^{\frac{1}{2}} \right\|_{L^r} \\
& + \left\| \left(\sum_{|i-j| \leq 2, \max(i,j) \geq k-4} |2^{\alpha j} m(2^j) Q_j f|^2 \right)^{\frac{1}{2}} \left(\sum_{|i-j| \leq 2, \max(i,j) \geq k-4} |Q_i g|^2 \right)^{\frac{1}{2}} \right\|_{L^r} \\
& \lesssim \left\| \left(\sum_{j \in \mathbb{Z}} |Q_j f|^2 \right)^{\frac{1}{2}} \left(\sum_{i \in \mathbb{Z}} |2^{\alpha i} m(2^i) Q_i g|^2 \right)^{\frac{1}{2}} \right\|_{L^r} \\
& + \left\| \left(\sum_{j \in \mathbb{Z}} |2^{\alpha j} m(2^j) Q_j f|^2 \right)^{\frac{1}{2}} \left(\sum_{i \in \mathbb{Z}} |Q_i g|^2 \right)^{\frac{1}{2}} \right\|_{L^r} \\
& \lesssim \|f\|_{L^{p_2}} \|D^\alpha I\|_{L^{q_2}} + \|D^\alpha I f\|_{L^{q_1}} \|g\|_{L^{p_1}}.
\end{aligned}$$

□

Definição 3.2.2 Dado um intervalo $J = [a, b]$ contido em $[0, \infty)$ e uma função u , definiremos:

$$Z_{m,s}(J, u) = \sup_{(q,r)} \left\{ \|D^{1-m} Iu\|_{L_t^q(J)L_x^r} + \|D^{-m} \partial_t Iu\|_{L_t^q(J)L_x^r} \right\}$$

onde, o sup é tomado sobre os pares (q, r) m -onda admissível.

$$Z(J, u) = \sup \{ Z_{m,s}(J, u) : m \in [0, 1] \}.$$

Obs.: Veja na página 33 a definição de m -onda admissível.

Definição 3.2.3 Sendo $J = [a, b]$ contido em $[0, \infty)$, definiremos:

$$u^{l,J}(t) = \cos((t-a)D)u(a) + D^{-1} \sin((t-a)D)\partial_t u(a)$$

$$u^{nl,J}(t) = - \int_a^t D^{-1} \sin((t-t')D)u^3(t')dt'.$$

Portanto se u satisfaz a equação integral (3.2) e $t \in J$, poderemos escrever

$$u(t) = u^{l,J}(t) + u^{nl,J}(t).$$

Definição 3.2.4 Dado $\lambda \in \mathbb{R}$ denotaremos por u_λ a seguinte função

$$u_\lambda(t, x) = \frac{1}{\lambda} u\left(\frac{t}{\lambda}, \frac{x}{\lambda}\right).$$

É fácil ver que se u satisfaz o problema da onda (3.1), então u_λ irá satisfazer o seguinte problema:

$$\begin{cases} \partial_{tt} u_\lambda - \Delta u_\lambda &= -u_\lambda^3 \\ u_\lambda(0, x) &= \frac{1}{\lambda} u_0\left(\frac{x}{\lambda}\right) \\ \partial_t u_\lambda(0, x) &= \frac{1}{\lambda^2} u_1\left(\frac{x}{\lambda}\right) \end{cases}$$

Estabeleceremos agora as proposições.

Proposição 3.2.1 Se u satisfaz (3.1) em $[0, T]$, então vale:

$$\|u(T)\|_{H^s}^2 + \|\partial_t u(T)\|_{H^{s-1}}^2 \lesssim \|u_0(T)\|_{H^s}^2 + (T^2 + 1) \sup_{t \in [0, T]} E(Iu(t)).$$

Demonstração: Pela desigualdade triangular da norma H^s , segue

$$\begin{aligned} \|u(T)\|_{H^s}^2 &= \|P_{\leq 1}u(T) + P_{> 1}u(T)\|_{H^s}^2 \\ &\leq (\|P_{\leq 1}u(T)\|_{H^s} + \|P_{> 1}u(T)\|_{H^s})^2 \\ &\lesssim \|P_{\leq 1}u(T)\|_{H^s}^2 + \|P_{> 1}u(T)\|_{H^s}^2 \\ &= \|P_{\leq 1}u(T)\|_{H^s}^2 + \int_{1 \leq |\xi| \leq 2N} (1+|\xi|^2)^s |\widehat{u}(T, \xi)|^2 d\xi + \int_{|\xi| \geq 2N} (1+|\xi|^2)^s |\widehat{u}(T, \xi)|^2 d\xi \end{aligned}$$

a igualdade na última linha se justifica pelo fato de $\widehat{P_{>1}u}(T, \xi) = 0$ para $|\xi| \leq 1$. Antes do próximo passo devemos observar que sendo $|\xi| \geq 1$, vale

$$(1 + |\xi|^2)^s \leq (|\xi|^2 + |\xi|^2)^s = 2^s |\xi|^{2s}$$

assim,

$$\|u(T)\|_{H^s}^2 \lesssim \|P_{\leq 1}u(T)\|_{H^s}^2 + \int_{1 \leq |\xi| \leq 2N} |\xi|^{2s} |\widehat{u}(T, \xi)|^2 d\xi + \int_{|\xi| \geq 2N} |\xi|^{2s} |\widehat{u}(T, \xi)|^2 d\xi.$$

De um lado, como $\frac{13}{18} < s < 1$, segue que

$$\begin{aligned} \int_{1 \leq |\xi| \leq 2N} |\xi|^{2s} |\widehat{u}(T, \xi)|^2 d\xi &\leq \int_{1 \leq |\xi| \leq 2N} |\xi|^2 \frac{m(\xi)^2}{m(\xi)^2} |\widehat{u}(T, \xi)|^2 d\xi \\ &\lesssim \|DIu(T)\|_{L^2}^2 \\ &\lesssim E(Iu(T)) \end{aligned}$$

por outro lado, teremos também

$$\begin{aligned} \int_{|\xi| \geq 2N} |\xi|^{2s} |\widehat{u}(T, \xi)|^2 d\xi &\leq \int_{|\xi| \geq 2N} |\xi|^2 \frac{N^{2(1-s)}}{|\xi|^{2(1-s)}} |\widehat{u}(T, \xi)|^2 d\xi \\ &\lesssim \int_{\mathbb{R}^3} |DIu(T, x)|^2 dx \\ &\lesssim E(Iu(T)). \end{aligned}$$

Utilizando a desigualdade triangular para a norma H^s , o Teorema fundamental do cálculo e a identidade de Plancherel, teremos:

$$\begin{aligned} \|P_{\leq 1}u(T)\|_{H^s} &\leq \|P_{\leq 1}u(T) - P_{\leq 1}u(0)\|_{H^s} + \|P_{\leq 1}u(0)\|_{H^s} \\ &\leq \int_0^T \|P_{\leq 1}\partial_t u(t)\|_{H^s} dt + \|u_0\|_{H^s} \\ &\lesssim \|u_0\|_{H^s} + T \sup_{t \in [0, T]} \|\partial_t Iu(t)\|_{L^2}. \end{aligned}$$

Portanto,

$$\|P_{\leq 1}u(T)\|_{H^s}^2 \lesssim \|u_0\|_{H^s}^2 + T^2 \sup_{t \in [0, T]} E(Iu(t)).$$

Por fim, estimando $\|\partial_t u(T)\|_{H^{s-1}}^2$,

$$\|\partial_t u(T)\|_{H^{s-1}}^2 = \int_{\mathbb{R}^3} (1 + |\xi|^2)^{s-1} |\widehat{\partial_t u}(T, \xi)|^2 d\xi \leq \int_{\mathbb{R}^3} m(\xi)^2 |\widehat{\partial_t u}(T, \xi)|^2 d\xi \lesssim E(Iu(T))$$

teremos:

$$\begin{aligned} \|u(T)\|_{H^s}^2 + \|\partial_t u(T)\|_{H^{s-1}}^2 &\lesssim \|u_0\|_{H^s}^2 + T^2 \sup_{t \in [0, T]} E(Iu(t)) + 3E(Iu(T)) \\ &\lesssim \|u_0\|_{H^s}^2 + (T^2 + 1) \sup_{t \in [0, T]} E(Iu(t)). \end{aligned}$$

□

Proposição 3.2.2 (Limitação local e global)

Seja $J = [a, b]$ um intervalo contido em $[0, \infty)$. Assumindo que u satisfaça (3.1) e que

$$\sup_{t \in J} E(Iu(t)) \leq 2 \tag{3.21}$$

então

$$Z(J, u^{l, J}) \lesssim 1. \tag{3.22}$$

Mais ainda, se (p, q) é m -onda admissível então

$$\|D^{1-m} Iu\|_{L_t^q(J)L_x^p} \lesssim (\max\{1, |J|\})^{\frac{1}{q}} \tag{3.23}$$

e

$$\|D^{1-m} Iu^{nl, J}\|_{L_t^q(J)L_x^p} \lesssim (\max\{1, |J|\})^{\frac{1}{q}}. \tag{3.24}$$

Demonstração: Para facilitar a notação iremos supor $J = [0, \tau]$, pelo que faremos na demonstração pode-se ver que não há perda de generalidade uma vez que temos $Z(J, u^{l, J}) \leq Z(J', u^{l, J'})$ e $Z_{m,s}(J, u) \leq Z_{m,s}(J', u)$, para $J = [a, b]$ e $J' = [0, b]$.

Aplicando a m -estimativa de Strichartz com derivativo para $D^{1-m} Iu^{l, J}$ e a identidade de Plancherel, teremos:

$$\begin{aligned} \|D^{1-m} Iu^{l, J}\|_{L_t^q([0, \tau])L_x^p} + \|D^{-m} \partial_t Iu^{l, J}\|_{L_t^q([0, \tau])L_x^p} &\lesssim \|D^{1-m} Iu_0\|_{\dot{H}^m} + \|D^{1-m} Iu_1\|_{\dot{H}^{m-1}} \\ &\lesssim \|DIu_0\|_{L^2} + \|Iu_1\|_{L^2} \lesssim 1. \end{aligned}$$

Portanto,

$$Z(J, u^{l, J}) \lesssim 1$$

Demonstraremos agora (3.23) e (3.24). Por (3.22) e a desigualdade triangular é suficiente demonstrar apenas (3.23). Se dividirmos o intervalo $[0, \tau]$ em subintervalos $(J_k)_{k \in \{1, \dots, n\}}$ de modo que $|J_1|, |J_2|, \dots, |J_{n-1}| = \tau_0$ e $|J_n| \leq \tau_0$ para τ_0 constante a ser determinada, teremos $Z_{m,s}(J, u) = Z_{m,s}(\cup_{k=1}^n J_k, u) \lesssim \sum_{k=1}^n Z_{m,s}(J_k, u)$. Portanto será suficiente provarmos $Z_{m,s}(J_k, u) \lesssim 1$, $k \in \{1, 2, \dots, n\}$. Provaremos a afirmação para $k = 1$, por iteração também será verdade para $k > 1$.

A prova se constituirá em dois passos.

Passo 1: Assumiremos $m \leq s$. Aplicando a m -Strichartz com derivativo para $D^{1-m} Iu$, teremos:

$$\begin{aligned}
& \|D^{1-m}Iu\|_{L_t^q([0,\tau_0])L_x^r} + \|D^{-m}\partial_t Iu\|_{L_t^q([0,\tau_0])L_x^r} \\
& \lesssim \|D^{1-m}Iu_0\|_{\dot{H}^m} + \|D^{1-m}Iu_1\|_{\dot{H}^{m-1}} + \|D^{1-m}I(uuu)\|_{L_t^1([0,\tau_0])L_x^{\frac{6}{5-2m}}} \\
& \lesssim \|DIu_0\|_{L^2} + \|Iu_1\|_{L^2} + \|D^{1-m}I(uuu)\|_{L_t^1([0,\tau_0])L_x^{\frac{6}{5-2m}}} \\
& \lesssim 1 + \|D^{1-m}I(uuu)\|_{L_t^1([0,\tau_0])L_x^{\frac{6}{5-2m}}}.
\end{aligned}$$

Utilizando a regra fracionária de Leibnitz, teremos:

$$\begin{aligned}
& \|D^{1-m}I(uuu)\|_{L_t^1([0,\tau_0])L_x^{\frac{6}{5-2m}}} = \left\| \|D^{1-m}I(uuu)\|_{L_x^{\frac{6}{5-2m}}} \right\|_{L_t^1([0,\tau_0])} \\
& \lesssim \left\| \|D^{1-m}I(uu)\|_{L_x^{\frac{6}{4-2m}}} \|u\|_{L_x^6} + \|D^{1-m}Iu\|_{L_x^{\frac{6}{3-2m}}} \|u^2\|_{L_x^3} \right\|_{L_t^1([0,\tau_0])} \\
& \lesssim \left\| \|D^{1-m}Iu\|_{L_x^{\frac{6}{3-2m}}} \|u\|_{L_x^6} \|u\|_{L_x^6} + \|D^{1-m}Iu\|_{L_x^{\frac{6}{3-2m}}} \|u^2\|_{L_x^3} \right\|_{L_t^1([0,\tau_0])} \\
& \lesssim \|D^{1-m}Iu\|_{L_t^\infty([0,\tau_0])L_x^{\frac{6}{3-2m}}} \|u\|_{L_t^2([0,\tau_0])L_x^6}^2.
\end{aligned}$$

Portanto,

$$\|D^{1-m}Iu\|_{L_t^q([0,\tau_0])L_x^r} + \|D^{-m}\partial_t Iu\|_{L_t^q([0,\tau_0])L_x^r} \lesssim 1 + \|D^{1-m}Iu\|_{L_t^\infty([0,\tau_0])L_x^{\frac{6}{3-2m}}} \|u\|_{L_t^2([0,\tau_0])L_x^6}^2$$

e pela definição de $Z_{m,s}(\tau_0, u)$, mais o fato de $(\infty, \frac{6}{3-2m})$ ser m-onda admissível segue que

$$\begin{aligned}
Z_{m,s}(\tau_0, u) & \lesssim 1 + \|D^{1-m}Iu\|_{L_t^\infty([0,\tau_0])L_x^{\frac{6}{3-2m}}} \|u\|_{L_t^2([0,\tau_0])L_x^6}^2 \\
& \lesssim 1 + Z_{m,s}(\tau_0, u) \|u\|_{L_t^2([0,\tau_0])L_x^6}^2 \\
& = 1 + Z_{m,s}(\tau_0, u) \|P_{\leq N}u + P_{> N}u\|_{L_t^2([0,\tau_0])L_x^6}^2 \\
& \leq 1 + Z_{m,s}(\tau_0, u) \left(\|P_{\leq N}u\|_{L_t^2([0,\tau_0])L_x^6} + \|P_{> N}u\|_{L_t^2([0,\tau_0])L_x^6} \right)^2.
\end{aligned}$$

Agora a desigualdade de Hölder no tempo, produzirá:

$$\begin{aligned}
& Z_{m,s}(\tau_0, u) \\
& \lesssim 1 + Z_{m,s}(\tau_0, u) \left(\tau_0^{\frac{1}{3}} \|P_{\leq N}u\|_{L_t^2([0,\tau_0])L_x^6} + \tau_0^{s-\frac{1}{2}} \|P_{> N}u\|_{L_t^{\frac{1}{1-s}}([0,\tau_0])L_x^6} \right)^2. \quad (3.25)
\end{aligned}$$

Retomando as definições (1.13), (1.15) dos operadores $P_{\leq N}$ e $P_{> N}$, se escrevermos

$$\phi\left(\frac{\xi}{N}\right) = \frac{\phi\left(\frac{\xi}{N}\right)}{m(\xi)} m(\xi) \quad e \quad 1 - \phi\left(\frac{\xi}{N}\right) = \frac{(1 - \phi\left(\frac{\xi}{N}\right)) N^{1-s}}{m(\xi)} \frac{|\xi|^{1-s}}{N^{1-s}} m(\xi)$$

teremos,

$$P_{\leq N}u(x) = T_{\nu_1}(Iu)(x) \quad e \quad P_{>N}u(x) = \frac{T_{\nu_2}(D^{1-s}Iu)(x)}{N^{1-s}}$$

onde T_{ν_1} e T_{ν_2} são operadores definidos por

$$\widehat{T_{\nu_1}u}(\xi) = \frac{\phi(\frac{\xi}{N})}{m(\xi)} \widehat{u}(\xi)$$

$$\widehat{T_{\nu_2}u}(\xi) = \frac{(1 - \phi(\frac{\xi}{N})) N^{1-s}}{m(\xi) |\xi|^{1-s}} \widehat{u}(\xi).$$

Não é difícil observar que as funções

$$\nu_1(\xi) = \frac{\phi(\frac{\xi}{N})}{m(\xi)} \quad e \quad \nu_2(\xi) = \frac{(1 - \phi(\frac{\xi}{N})) N^{1-s}}{m(\xi) |\xi|^{1-s}}$$

satisfazem as hipóteses da Proposição 1.2.6 e que a constante A_p da proposição não depende do N , portanto devido a Proposição 1.2.6, teremos

$$\|P_{\leq N}u(x)\|_{L_t^6([0,\tau_0])L_x^6} \lesssim \|Iu\|_{L_t^6([0,\tau_0])L_x^6}$$

$$\|P_{>N}u(x)\|_{L_t^6([0,\tau_0])L_x^6} \lesssim \frac{\|D^{1-s}Iu\|_{L_t^{\frac{1}{1-s}}([0,\tau_0])L_x^6}}{N^{1-s}}$$

e por (3.25), segue que

$$Z_{m,s}(\tau_0, u) \lesssim 1 + Z_{m,s}(\tau_0, u) \left(\tau_0^{\frac{1}{3}} \|Iu\|_{L_t^6([0,\tau_0])L_x^6} + \tau_0^{s-\frac{1}{2}} \frac{\|D^{1-s}Iu\|_{L_t^{\frac{1}{1-s}}([0,\tau_0])L_x^6}}{N^{1-s}} \right)^2.$$

O fato de $(\frac{1}{1-s}, 6)$ ser s -onda admissível e de L^6 estar mergulhado em \dot{H}^1 como nos diz o Teorema 1.3.2, justificam as próximas duas desigualdades

$$Z_{m,s}(\tau_0, u) \lesssim 1 + Z_{m,s}(\tau_0, u) \left(\tau_0^{\frac{1}{3}} \|Iu\|_{L_t^6([0,\tau_0])L_x^6} + \tau_0^{s-\frac{1}{2}} \frac{Z_{s,s}(\tau_0, u)}{N^{1-s}} \right)^2$$

$$\lesssim 1 + Z_{m,s}(\tau_0, u) \left[\tau_0^{\frac{1}{2}} (\sup_{t \in J} E(Iu(t)))^{\frac{1}{6}} + \tau_0^{s-\frac{1}{2}} \frac{Z_{s,s}(\tau_0, u)}{N^{1-s}} \right]^2. \quad (3.26)$$

Supondo $m = s$, se $\tau_0 > 0$ é suficientemente pequeno então por (3.21) e (3.26), teremos

$$Z_{s,s}(\tau_0, u) \lesssim 1. \quad (3.27)$$

Por outro lado, supondo agora $m < s$, então por (3.26) e (3.27), segue

$$Z_{m,s}(\tau_0, u) \lesssim 1. \quad (3.28)$$

Passo 2: Suponhamos $m > s$. Por (3.26),(3.27) e (3.28), temos

$$\begin{aligned} \|D^{1-r}I(uuu)\|_{L_t^1[0,\tau_0]L_x^{\frac{6}{5-2r}}} &\lesssim Z_{r,s}(\tau_0, u) \left[\tau_0^{\frac{1}{2}} \left(\sup_{t \in [0,\tau_0]} E(Iu(t)) \right)^{\frac{1}{6}} + \tau_0^{s-\frac{1}{2}} \frac{Z_{s,s}(\tau_0, u)}{N^{1-s}} \right]^2 \\ &\lesssim 1 \end{aligned} \quad (3.29)$$

para $r \leq s$. A desigualdade

$$\|D^{1-m}I(uuu)\|_{L_t^1([0,\tau_0])L_x^{\frac{6}{5-2m}}} \lesssim \|D^{1-r}I(uuu)\|_{L_t^1([0,\tau_0])L_x^{\frac{6}{5-2r}}} \quad (3.30)$$

segue pela Proposição 1.3.3.

Como fizemos anteriormente, utilizaremos a estimativa m-Strichartz com derivativo para $D^{1-m}Iu$.

$$Z_{m,s}(\tau_0, u) \lesssim \|DIu_0\|_{L^2} + \|Iu_1\|_{L^2} + \|D^{1-m}I(uuu)\|_{L_t^1([0,\tau_0])L_x^{\frac{6}{5-2m}}}.$$

Por (3.29) e (3.30), segue:

$$Z_{m,s}(\tau_0, u) \lesssim 1.$$

□

Proposição 3.2.3 (Ganho Local de Regularidade do Termo Não Linear)
Seja $J = [a, b]$ um intervalo contido em $[0, \infty)$ e u satisfazendo (3.1) e (3.21), então

$$\|\partial_t Iu^{nl,J}\|_{L_t^6(J)L_x^3} + \|DIu^{nl,J}\|_{L_t^6(J)L_x^3} \lesssim (\max(1, |J|))^{\frac{2}{3}}.$$

Demonstração: Por motivos similares as citadas na demonstração da proposição anterior, também iremos supor aqui $J = [0, \tau]$. Aplicando a estimativa $\frac{1}{3}$ -Strichartz com derivativo para $DIu^{nl,J}$, teremos

$$\|\partial_t Iu^{nl,J}\|_{L_t^6([0,\tau])L_x^3} + \|DIu^{nl,J}\|_{L_t^6([0,\tau])L_x^3} \lesssim \|DI(uuu)\|_{L_t^{\frac{3}{2}}([0,\tau])L_x^{\frac{6}{5}}}.$$

Utilizando agora a regra fracionária de Leibnitz, segue:

$$\begin{aligned} \|DI(uuu)\|_{L_t^{\frac{3}{2}}([0,\tau])L_x^{\frac{6}{5}}} &= \left\| \|DI(uuu)\|_{L_x^{\frac{6}{5}}} \right\|_{L_t^{\frac{3}{2}}([0,\tau])} \\ &\lesssim \left\| \|DI(uu)\|_{L_x^{\frac{3}{2}}} \|u\|_{L_x^6} + \|DIu\|_{L_x^2} \|u^2\|_{L_x^3} \right\|_{L_t^{\frac{3}{2}}([0,\tau])} \\ &\lesssim \left\| 2 \|DIu\|_{L_x^2} \|u\|_{L_x^6} \|u\|_{L_x^6} + \|DIu\|_{L_x^2} \|u^2\|_{L_x^3} \right\|_{L_t^{\frac{3}{2}}([0,\tau])} \\ &\lesssim \left\| \|DIu\|_{L_x^2} \|u\|_{L_x^6}^2 \right\|_{L_t^{\frac{3}{2}}([0,\tau])} \\ &\lesssim \|DIu\|_{L_t^\infty([0,\tau])L_x^2} \|u\|_{L_t^3([0,\tau])L_x^6}^2. \end{aligned}$$

Portanto,

$$\begin{aligned} \|DI(uuu)\|_{L_t^{\frac{3}{2}}([0,\tau])L_x^6} &\lesssim \|DIu\|_{L_t^\infty([0,\tau])L_x^2} \|u\|_{L_t^3([0,\tau])L_x^6}^2 \\ &\lesssim \|DIu\|_{L_t^\infty([0,\tau])L_x^2} \left(\|P_{<N}u\|_{L_t^3([0,\tau])L_x^6} + \|P_{\geq N}u\|_{L_t^3([0,\tau])L_x^6} \right)^2. \end{aligned}$$

Por (1.14) e (1.15) sabemos que

$$\widehat{P_{\geq N}u}(\xi) = (1 - \phi(\frac{2\xi}{N}))\widehat{u}(\xi) \quad e \quad \widehat{P_{<N}u}(\xi) = \phi(\frac{2\xi}{N})\widehat{u}(\xi).$$

Por outro lado, podemos escrever

$$\begin{aligned} 1 - \phi(\frac{2\xi}{N}) &= \frac{(1 - \phi(\frac{2\xi}{N})) N^{\frac{1}{3}} |\xi|^{\frac{1}{3}}}{m(\xi)} \frac{1}{N^{\frac{1}{3}}} m(\xi) \\ \phi(\frac{2\xi}{N}) &= \frac{\phi(\frac{2\xi}{N})}{m(\xi)} m(\xi) \end{aligned}$$

e definindo

$$\begin{aligned} \nu_1(\xi) &= \frac{(1 - \phi(\frac{2\xi}{N})) N^{\frac{1}{3}}}{m(\xi)} \frac{1}{|\xi|^{\frac{1}{3}}} \\ \nu_2(\xi) &= \frac{\phi(\frac{2\xi}{N})}{m(\xi)} \end{aligned}$$

teremos

$$P_{\geq N}u(x) = \frac{T_{\nu_1}(D^{\frac{1}{3}}Iu)(x)}{N^{\frac{1}{3}}} \quad e \quad P_{<N}u(x) = T_{\nu_2}(Iu)(x).$$

Agora, recorrendo a Proposição 1.2.6 obtemos

$$\begin{aligned} \|P_{<N}u(x)\|_{L_t^3([0,\tau_0])L_x^6} &\lesssim \|Iu\|_{L_t^3([0,\tau_0])L_x^6} \\ \|P_{\geq N}u(x)\|_{L_t^3([0,\tau_0])L_x^6} &\lesssim \frac{\|D^{\frac{1}{3}}Iu\|_{L^3([0,\tau_0])L_x^6}}{N^{\frac{1}{3}}}. \end{aligned}$$

Assim,

$$\begin{aligned} \|DI(uuu)\|_{L_t^{\frac{3}{2}}([0,\tau])L_x^6} &\lesssim \|DIu\|_{L_t^\infty([0,\tau])L_x^2} \left(\|D^{1-1}Iu\|_{L_t^3([0,\tau])L_x^6} + \|D^{1-\frac{2}{3}}Iu\|_{L_t^3([0,\tau])L_x^6} \right)^2 \\ &\lesssim \|DIu\|_{L_t^\infty([0,\tau])L_x^2} \left(\tau^{\frac{1}{3}} \|D^{1-1}Iu\|_{L_t^\infty([0,\tau])L_x^6} + \|D^{1-\frac{2}{3}}Iu\|_{L_t^3([0,\tau])L_x^6} \right)^2. \end{aligned}$$

Tendo visto que $(\infty, 2)$ é 0-onda admissível, $(\infty, 6)$ é 1-onda admissível e $(3, 6)$ é $\frac{2}{3}$ -onda admissível, podemos usar a Proposição 3.2.2 para obter:

$$\|DI(uuu)\|_{L_t^{\frac{3}{2}}([0,\tau])L_x^6} \lesssim \tau^{\frac{2}{3}}.$$

Concluindo,

$$\|\partial_t Iu^{nl,J}\|_{L_t^6([0,\tau])L_x^3} + \|DIu^{nl,J}\|_{L_t^6([0,\tau])L_x^3} \lesssim \tau^{\frac{2}{3}}.$$

□

Proposição 3.2.4 (Lei de Quase Conservação de Energia)

Se $J = [a, b]$ é um intervalo contido em $[0, \infty)$ e u uma função satisfazendo (3.1) e (3.21), então vale a seguinte lei de quase conservação de energia:

$$\left| \sup_{t \in J} E(Iu(t)) - E(Iu(a)) \right| \lesssim \max \left(\frac{(\max\{1, |J|\})^{\frac{1}{2}}}{N^{1-}}, \frac{(\max\{1, |J|\})^{\frac{5}{2}}}{N^{2-}} \right). \quad (3.31)$$

Demonstração: Para o que virá a seguir atentemos para o fato de que embora as funções $u(t, x)$ e $\partial_t u(t, x)$ sejam reais, as funções $Iu(t, x)$ e $\partial_t Iu(t, x)$ são complexas por serem definidas via transformada inversa de Fourier, para efeito de notação, denotaremos o conjugado de um número complexo z por \bar{z} .

Seja $\tau \in J$, começaremos estimando a variação $|E(Iu(\tau)) - E(Iu(a))|$, para isso utilizaremos o Teorema fundamental do cálculo e a Proposição 1.2.4.

$$|E(Iu(\tau)) - E(Iu(a))| = \left| \int_a^\tau \partial_t E(Iu(t)) dt \right|.$$

Calculemos $\partial_t E(Iu(t))$:

$$\begin{aligned} \partial_t E(Iu(t)) &= \partial_t \int_{\mathbb{R}^3} \frac{1}{2} \partial_t Iu(t, x) \overline{\partial_t Iu(t, x)} + \frac{1}{2} DIu(t, x) \overline{DIu(t, x)} + \frac{1}{4} (Iu(t, x) \overline{Iu(t, x)})^2 dx \\ &= \operatorname{Re} \left(\int_{\mathbb{R}^3} \partial_t^2 Iu(t, x) \overline{\partial_t Iu(t, x)} + DIu(t, x) \overline{D \partial_t Iu(t, x)} + |Iu(t, x)|^2 Iu(t, x) \overline{\partial_t Iu(t, x)} dx \right) \\ &= \operatorname{Re} \left(\int_{\mathbb{R}^3} \overline{\partial_t Iu(t, x)} [Iu(t, x) \overline{Iu(t, x)} Iu(t, x) - I(uuu)] dx \right) \\ &= \operatorname{Re} \left(\int_{\mathbb{R}^3} \overline{\partial_t Iu(t, \xi)} Iu(t, x) \overline{Iu(t, x)} Iu(t, x) dx - \int_{\mathbb{R}^3} \overline{\partial_t Iu(t, x)} I(uuu) dx \right). \end{aligned}$$

Pela Proposição 1.2.4, seguem as duas igualdades abaixo

$$\begin{aligned} \int_{\mathbb{R}^3} \overline{\partial_t Iu(t, \xi)} Iu(t, x) \overline{Iu(t, x)} Iu(t, x) dx \\ = (2\pi)^{-9} \int_{\sum_{i=1}^4 \xi_i=0} \widehat{\overline{\partial_t Iu(t, \xi_1)}} \widehat{Iu(t, \xi_2)} \widehat{\overline{Iu(t, \xi_3)}} \widehat{Iu(t, \xi_4)} d\xi \end{aligned}$$

e

$$\begin{aligned} \int_{\mathbb{R}^3} \overline{\partial_t Iu(t, x)} I(uuu) dx \\ = (2\pi)^{-9} \int_{\sum_{i=1}^4 \xi_i=0} \frac{m(\xi_2 + \xi_3 + \xi_4)}{m(\xi_2)m(\xi_3)m(\xi_4)} \widehat{\overline{\partial_t Iu(t, \xi_1)}} \widehat{Iu(t, \xi_2)} \widehat{\overline{Iu(t, \xi_3)}} \widehat{Iu(t, \xi_4)} d\xi \end{aligned}$$

com $d\xi$ denotando $d\xi_1 d\xi_2 d\xi_3 d\xi_4$. Daqui até o fim desta seção usaremos esta notação sempre que não houver perigo de confusão. Portanto,

$$|E(Iu(\tau)) - E(Iu(a))| \leq \left| \int_0^\tau \int_{\sum_{i=1}^4 \xi_i=0} \mu(\xi) \widehat{\partial_t Iu}(t, \xi_1) \widehat{Iu}(t, \xi_2) \widehat{Iu}(t, \xi_3) \widehat{Iu}(t, \xi_4) d\xi dt \right|$$

onde $\mu(\xi) = 1 - \frac{m(\xi_2 + \xi_3 + \xi_4)}{m(\xi_2)m(\xi_3)m(\xi_4)}$.

Usaremos a decomposição homogênea de Littlewood-Paley para estimar variação de energia. Sendo $u_i = P_{N_i} u$, definiremos:

$$X = \left| \int_0^\tau \int_{\sum_{i=1}^4 \xi_i=0} \mu(\xi) \widehat{\partial_t Iu_1}(t, \xi_1) \widehat{Iu_2}(t, \xi_2) \widehat{Iu_3}(t, \xi_3) \widehat{Iu_4}(t, \xi_4) d\xi dt \right|.$$

Para estimar X utilizaremos a seguinte estratégia, descrita em três passos:

1. Buscaremos uma estimativa para $\mu(\xi_2, \xi_3, \xi_4)$ da seguinte forma:

$$\mu(\xi_2, \xi_3, \xi_4) \leq B(N_2, N_3, N_4).$$

Então para algum $A \subset \{1, 2, 3, 4\}$ a ser escolhido nós iremos decompor $u_i, \forall i \in A$, nas partes lineares $u_i^{l,J}$ e não lineares $u_i^{nl,J}$ e depois de expandirmos nos restará estimar a seguinte expressão

$$Y = \left| \int_0^\tau \int_{\sum_{i=1}^4 \xi_i=0} \mu(\xi) \widehat{\partial_t Iv_1}(t, \xi_1) \widehat{Iv_2}(t, \xi_2) \widehat{Iv_3}(t, \xi_3) \widehat{Iv_4}(t, \xi_4) d\xi dt \right|$$

com $v_j, j \in \{1, 2, 3, 4\}$, denotando u_j ou $u_j^{l,J}$ ou $u_j^{nl,J}$, note que os valores de v_j dependerão da escolha de A .

Este passo se encerra com a aplicação do seguinte teorema de Coifman-Meyer.

Teorema 3.2.1 *Seja $\sigma : \mathbb{R}^{nk} \mapsto \mathbb{C}$ uma função infinitamente diferenciável tal que $\forall \alpha \in \mathbb{N}^{nk}$ existe um $c(\alpha)$ satisfazendo*

$$|\partial_\xi^\alpha \sigma(\xi)| \leq \frac{c(\alpha)}{(1 + |\xi|)^{|\alpha|}}, \quad \forall \xi = (\xi_1, \dots, \xi_k) \in \mathbb{R}^{nk}.$$

Seja Λ_σ o operador multilinear

$$\Lambda_\sigma(f_1, \dots, f_k)(x) = \int_{\mathbb{R}^{nk}} e^{ix(\xi_1 + \dots + \xi_k)} \sigma(\xi_1, \dots, \xi_k) \widehat{f_1}(\xi_1) \dots \widehat{f_k}(\xi_k) d\xi_1 \dots d\xi_k$$

e $q_j \in (1, \infty)$ para $j \in \{1, \dots, k\}$ com $\frac{1}{q} = \frac{1}{q_1} + \dots + \frac{1}{q_k} \leq 1$, então existe uma constante $C = C(q_j, n, k, c(\alpha))$ de modo que para funções f_1, \dots, f_k em \mathcal{S} tem-se:

$$\|\Lambda_\sigma(f_1, \dots, f_k)\|_{L^q(\mathbb{R}^n)} \leq \|f_1\|_{L^{q_1}(\mathbb{R}^n)} \dots \|f_k\|_{L^{q_k}(\mathbb{R}^n)}.$$

Para demonstração deste teorema veja [7].

Antes de aplicarmos o teorema de Coifman Meyer devemos estabelecer a seguinte desigualdade:

$$Y \lesssim \left| B \int_0^\tau \int_{\mathbb{R}^3} \widehat{\Lambda}_{\frac{\mu}{B}}(\overline{\partial_t I v_1}(t) I v_2(t) \overline{I v_3}(t))(-\xi_4) \widehat{I v_4}(t, \xi_4) d\xi_4 dt \right|. \quad (3.32)$$

De fato,

$$\begin{aligned} & \widehat{\Lambda}_{\frac{\mu}{B}}(\overline{\partial_t I v_1}(t) I v_2(t) \overline{I v_3}(t))(-\xi_4) \\ &= \int_{\mathbb{R}^3} e^{ix\xi_4} \int_{\mathbb{R}^{3.3}} e^{ix(\xi_1+\xi_2+\xi_3)} \frac{\mu(\xi_1+\dots+\xi_3)}{B} \widehat{\partial_t I v_1}(t, \xi_1) \widehat{I v_2}(t, \xi_2) \widehat{I v_3}(t, \xi_3) d\xi_1 d\xi_2 d\xi_3 dx. \end{aligned}$$

Multiplicando por $\widehat{I u_4}(t, \xi_4)$ e integrando em ξ_4 , teremos:

$$\begin{aligned} & \int_{\mathbb{R}^3} \widehat{\Lambda}_{\frac{\mu}{B}}(\overline{\partial_t I v_1}(t) I v_2(t) \overline{I v_3}(t))(-\xi_4) \widehat{I v_4}(t, \xi_4) d\xi_4 \\ &= \int_{\mathbb{R}^3} \int_{\mathbb{R}^{3.4}} e^{ix(\xi_1+\xi_2+\xi_3+\xi_4)} \frac{\mu}{B} \widehat{\partial_t I v_1}(t, \xi_1) \widehat{I v_2}(t, \xi_2) \widehat{I v_3}(t, \xi_3) \widehat{I v_4}(t, \xi_4) d\xi_1 \dots dx d\xi_4 \\ &= \int_{\mathbb{R}^3} \int_{\mathbb{R}^{3.4}} e^{ix(\xi_1+\xi_2+\xi_3+\xi_4)} dx \frac{\mu}{B} \widehat{\partial_t I v_1}(t, \xi_1) \widehat{I v_2}(t, \xi_2) \widehat{I v_3}(t, \xi_3) \widehat{I v_4}(t, \xi_4) d\xi_1 \dots d\xi_4 \\ &= \int_{\mathbb{R}^3} (2\pi)^3 \delta_0(\xi_1 + \dots + \xi_4) \frac{\mu}{B} \widehat{\partial_t I v_1}(t, \xi_1) \widehat{I v_2}(t, \xi_2) \widehat{I v_3}(t, \xi_3) \widehat{I v_4}(t, \xi_4) d\xi_1 \dots d\xi_4 \\ &= (2\pi)^3 \int_{\xi_1+\xi_2+\xi_3+\xi_4=0} \frac{\mu}{B} \widehat{\partial_t I v_1}(t, \xi_1) \widehat{I v_2}(t, \xi_2) \widehat{I v_3}(t, \xi_3) \widehat{I v_4}(t, \xi_4) d\xi_1 \dots d\xi_4. \end{aligned}$$

Por fim, multiplicando a última igualdade por B e integrando na variável t de 0 à τ obtemos (3.32).

Neste ponto estamos em condições de melhorar a estimativa (3.32). De fato, aplicando (1.3) à (3.32), teremos:

$$\begin{aligned} Y &\lesssim (2\pi)^3 \left| B \int_0^\tau \int_{\mathbb{R}^3} \Lambda_{\frac{\mu}{B}}(\overline{\partial_t I v_1}(t) I v_2(t) \overline{I v_3}(t))(x) I v_4(t, x) dx dt \right| \\ &\lesssim (2\pi)^3 B \int_0^\tau \int_{\mathbb{R}^3} \left| \Lambda_{\frac{\mu}{B}}(\overline{\partial_t I v_1}(t) I v_2(t) \overline{I v_3}(t))(x) I v_4(t, x) \right| dx dt. \end{aligned}$$

Agora, a desigualdade de Hölder e o Teorema 3.2.1 implicam em

$$Y \lesssim B(N_2, N_3, N_4) \|\partial_t I v_1\|_{L_t^{p_1}(J)L_x^{q_1}} \|I v_2\|_{L_t^{p_2}(J)L_x^{q_2}} \dots \|I v_4\|_{L_t^{p_4}(J)L_x^{q_4}} \quad (3.33)$$

com $(p_j, q_j) \in [0, \infty] \times (0, \infty)$ de modo que $\sum_{j=1}^4 \frac{1}{p_j} = 1 = \sum_{j=1}^4 \frac{1}{q_j}$ e (p_j, q_j) é m_j -onda admissível para algum m_j tal que $0 \leq m_j < 1$ e $\frac{1}{p_j} + \frac{1}{q_j} = \frac{1}{2}$.

2. Para refinarmos a estimativa (3.33) provaremos neste passo três desigualdades que chamaremos de desigualdades de Bernstein que conduzirá a demonstração da Proposição 3.2.4.

Nas condições do passo anterior, seguem as desigualdades de Bernstein:

$$\|Iv_j\|_{L_t^{p_j}(J)L_x^{q_j}} \lesssim N_j^{m_j-1} \|D^{1-m_j}Iv_j\|_{L_t^{p_j}(J)L_x^{q_j}}$$

$$\|\partial_t Iv_1\|_{L_t^{p_1}(J)L_x^{q_1}} \lesssim N_1^{m_1} \|D^{-m_1}\partial_t Iv_1\|_{L_t^{p_1}(J)L_x^{q_1}}$$

$$\|Iv_j\|_{L_t^6(J)L_x^3} \lesssim \frac{1}{N_j} \|DIv_j\|_{L_t^6(J)L_x^3}.$$

Como as três desigualdades são provadas da mesma forma, será suficiente provarmos apenas uma delas, provaremos então a primeira.

Suponhamos sem perda de generalidade que $v_j = P_{N_j}u$, portanto se definirmos $w(t, x) = Iv_j(t, \frac{x}{N_j})$ então teremos $D^k w(t, x) = N_j^{-k} D^k Iv_j(t, \frac{x}{N_j})$, onde tomamos $k = 1 - m_j$ para simplificar a notação. Calculando as normas, obtemos:

$$\|w\|_{L_t^{p_j}(J)L_x^{q_j}} = N_j^{\frac{3}{q_j}} \|Iv_j\|_{L_t^{p_j}(J)L_x^{q_j}}$$

$$\|D^k w\|_{L_t^{p_j}(J)L_x^{q_j}} = N_j^{\frac{3}{q_j}-k} \|D^k Iv_j\|_{L_t^{p_j}(J)L_x^{q_j}}.$$

Portanto, provando a desigualdade

$$\|w\|_{L_t^{p_j}(J)L_x^{q_j}} \leq C \|D^k w\|_{L_t^{p_j}(J)L_x^{q_j}}$$

para alguma constante universal C, teremos o resultado.

$$\|Iv_j\|_{L_t^{p_j}(J)L_x^{q_j}} \leq CN_j^{-k} \|D^k Iv_j\|_{L_t^{p_j}(J)L_x^{q_j}}.$$

De fato, aplicando a transformada de Fourier com relação a variável x , teremos:

$$\widehat{w}(t, \xi) = N_j^3 m(N_j \xi) \widehat{v}_j(t, N_j \xi) = N_j^3 m(N_j \xi) \psi(\xi) \widehat{u}(t, N_j \xi).$$

Como sabemos $\text{Supp}(\psi) \subset \{\xi \in \mathbb{R}^3 : \frac{1}{2} \leq |\xi| \leq 2\} = \mathbf{C}$ e pela Proposição 1.2.1, existe $\phi \in \mathcal{C}_0^\infty(\{\xi \in \mathbb{R}^3 : \frac{1}{4} < |\xi| < 4\})$ tal que $\phi(\xi) = 1, \forall \xi \in \mathbf{C}$.

Portanto,

$$\widehat{w}(t, \xi) = \phi(\xi) \widehat{w}(t, \xi) = \phi(\xi) |\xi|^{-k} |\xi|^k \widehat{w}(t, \xi).$$

Agora, aplicando a transformada inversa de Fourier obtemos:

$$w(t, x) = D^{-k}g(x) *_x D^k w(t, x)$$

onde $g = \mathcal{F}^{-1}(\phi)$.

Fixando t, segue pela desigualdade de Young que

$$\|w(t, \cdot)\|_{L_x^{q_j}} \leq \|D^{-k}g\|_{L^1} \|D^k w(t, \cdot)\|_{L_x^{q_j}}.$$

Porém,

$$\begin{aligned} \|D^{-k}g\|_{L^1} &= \int |D^{-k}g(x)| dx \\ &= \int \frac{(1+|x|^2)^3}{(1+|x|^2)^3} |D^{-k}g(x)| dx \leq C_0 \|(1+|\cdot|^2)^3 |D^{-k}g|\|_{L^\infty} \end{aligned}$$

e pelo Corolário 1.2.1, segue:

$$\begin{aligned} \|D^{-k}g\|_{L^1} &\leq C_0 (2\pi)^{-3} \|(Id - \Delta)^3 |\cdot|^{-k} \phi\|_{L^1} \\ &\leq C. \end{aligned}$$

Observando a expressão de $\|(Id - \Delta)^3 |\cdot|^{-k} \phi\|_{L^1}$ e a hipótese $K \leq 1$ é fácil ver que podemos tomar um $C > 0$ de forma que independa de K .

Assim,

$$\|w(t, \cdot)\|_{L_x^{q_j}} \leq C \|D^k w(t, \cdot)\|_{L_x^{q_j}}.$$

Calculando agora a norma na variável t, obteremos o resultado

$$\|w\|_{L_x^{q_j} L_t^{p_j}} \leq C \|D^k w\|_{L_x^{q_j} L_t^{p_j}}.$$

3. Em alguns casos criaremos N_j^\pm para alguns j's considerando pequenas variações $(p_j^\pm, q_j^\pm) \in [1, \infty] \times (1, \infty)$ m_j^\pm -onda admissível de (p_j, q_j) . Por exemplo, se criarmos pequenas variações $(p_1^+, q_1^-), (p_j^+, q_j^-)$ e $(6^-, 3^+)$ respectivamente de $(p_1, q_1), (p_j, q_j)$ e $(6, 3)$, então pelas desigualdades de Bernstein e Hölder, teremos:

$$\|Iv_j\|_{L_t^{p_j^+}(J)L_x^{q_j^-}} \lesssim N_j^- N_j^{m_j-1} \|D^{1-(m_j^-)} Iv_j\|_{L_t^{p_j^+}(J)L_x^{q_j^-}}$$

$$\|\partial_t Iv_1\|_{L_t^{p_1^+}(J)L_x^{q_1^-}} \lesssim N_1^- N_1^{m_1} \|D^{-(m_1^-)} \partial_t Iv_1\|_{L_t^{p_1^+}(J)L_x^{q_1^-}}$$

$$\|Iv_j\|_{L_t^{6^-}(J)L_x^{3^+}} \lesssim \frac{N_j^+}{N_j} \|DIv_j\|_{L_t^6(J)L_x^3}$$

$$\|\partial_t I v_1\|_{L_t^{6-}(J)L_x^{3+}} \lesssim N_1^+ \|\partial_t I v_1\|_{L_t^6(J)L_x^3}.$$

Outra desigualdade que também nos será útil, é

$$\|I v_j\|_{L_t^{2+}(J)L_x^{\infty-}} \lesssim N_j^+ \|D^{1-(1-)} I v_j\|_{L_t^{2+}(J)L_x^{\infty-}}. \quad (3.34)$$

Para a prova desta desigualdade denotaremos a medida de Lebesgue do intervalo J por τ , assim, sejam $\epsilon > 0$, $\epsilon' > 0$ e $\epsilon'' > 0$ tal que $\frac{\epsilon}{2} = \frac{\epsilon'}{2} - \frac{\epsilon''}{3}$, logo obtemos

$$\begin{aligned} \|I v_j\|_{L_t^{\frac{2}{1-\epsilon}}(J)L_x^{\frac{2}{\epsilon}}} &\lesssim N_j^{\epsilon'} \left\| D^{-\epsilon'} I v_j \right\|_{L_t^{\frac{2}{1-\epsilon}}(J)L_x^{\frac{2}{\epsilon}}} \\ &\lesssim N_j^{\epsilon'} \tau^{\frac{\epsilon'-\epsilon}{2}} \left\| D^{-\epsilon'} I v_j \right\|_{L_t^{\frac{2}{1-\epsilon'}}(J)L_x^{\frac{2}{\epsilon}}} \\ &\lesssim N_j^{\epsilon'} \tau^{\frac{\epsilon'-\epsilon}{2}} \left\| D^{-\epsilon'+\epsilon''} I v_j \right\|_{L_t^{\frac{2}{1-\epsilon'}}(J)L_x^{\frac{2}{\epsilon}}} \\ &\lesssim N_j^{\epsilon''-\epsilon'} \tau^{\frac{\epsilon'-\epsilon}{2}} \left\| D^{1-(1-\epsilon')} I v_j \right\|_{L_t^{\frac{2}{1-\epsilon'}}(J)L_x^{\frac{2}{\epsilon}}} \end{aligned}$$

aplicando Bernstein para obter a primeira desigualdade, Hölder para obter a segunda, Proposição 1.3.3 para a terceira e Bernstein para a quarta.

Agora tomando $\epsilon' = 5\epsilon$, teremos $\epsilon'' - \epsilon' = \epsilon$ e portanto,

$$\|I v_j\|_{L_t^{\frac{2}{1-\epsilon}}(J)L_x^{\frac{2}{\epsilon}}} \lesssim N_j^{\epsilon} \tau^{2\epsilon} \left\| D^{1-(1-\epsilon')} I v_j \right\|_{L_t^{\frac{2}{1-\epsilon'}}(J)L_x^{\frac{2}{\epsilon}}}.$$

Escolheremos então $\epsilon > 0$ tal que $\tau^{2\epsilon} \leq 2$, assim

$$\|I v_j\|_{L_t^{\frac{2}{1-\epsilon}}(J)L_x^{\frac{2}{\epsilon}}} \lesssim N_j^{\epsilon} \left\| D^{1-(1-\epsilon')} I v_j \right\|_{L_t^{\frac{2}{1-\epsilon'}}(J)L_x^{\frac{2}{\epsilon}}}.$$

Concluindo, para $\epsilon > 0$ muito pequeno, teremos:

$$\|I v_j\|_{L_t^{2+}(J)L_x^{\infty-}} \lesssim N_j^+ \|D^{1-(1-)} I v_j\|_{L_t^{2+}(J)L_x^{\infty-}}.$$

Uma vez descrita a estratégia, vamos agora aplica-lá.

Por questão de simetria, podemos assumir que $N_2 \geq N_3 \geq N_4$.

Seja N_1^*, \dots, N_4^* os quatro números N_1, \dots, N_4 na ordem $N_1^* \geq N_2^* \geq N_3^* \geq N_4^*$.

Como estamos interessados em estimar X nos casos em que $X \neq 0$, podemos supor que $N_1^* \gtrsim N$ desde que μ não se anule e $N_1^* \sim N_2^*$ desde que $\xi_1 + \xi_2 + \xi_3 + \xi_4 = 0$ não implique em $X = 0$.

Há três casos a se analisar.

- **Caso 1:** $N_1^* = N_2$ e $N_2^* = N_1$.

Escrevendo $u_i = u_i^{l,J} + u_i^{nl,J}$, $i \in \{1, 2\}$, precisaremos estimar

$$\begin{aligned}
X_1 &= \left| \int_0^\tau \int_{\sum_{i=1}^4 \xi_i=0} \mu(\xi) \widehat{\partial_t I u_1^{l,J}}(t, \xi_1) \widehat{I u_2^{l,J}}(t, \xi_2) \widehat{I u_3}(t, \xi_3) \widehat{I u_4}(t, \xi_4) d\xi dt \right| \\
X_2 &= \left| \int_0^\tau \int_{\sum_{i=1}^4 \xi_i=0} \mu(\xi) \widehat{\partial_t I u_1^{l,J}}(t, \xi_1) \widehat{I u_2^{nl,J}}(t, \xi_2) \widehat{I u_3}(t, \xi_3) \widehat{I u_4}(t, \xi_4) d\xi dt \right| \\
X_3 &= \left| \int_0^\tau \int_{\sum_{i=1}^4 \xi_i=0} \mu(\xi) \widehat{\partial_t I u_1^{nl,J}}(t, \xi_1) \widehat{I u_2^{l,J}}(t, \xi_2) \widehat{I u_3}(t, \xi_3) \widehat{I u_4}(t, \xi_4) d\xi dt \right| \\
X_4 &= \left| \int_0^\tau \int_{\sum_{i=1}^4 \xi_i=0} \mu(\xi) \widehat{\partial_t I u_1^{nl,J}}(t, \xi_1) \widehat{I u_2^{nl,J}}(t, \xi_2) \widehat{I u_3}(t, \xi_3) \widehat{I u_4}(t, \xi_4) d\xi dt \right|.
\end{aligned}$$

Há dois subcasos a considerar:

-Caso 1.a: $N_3 \gtrsim N$.

Para este caso, teremos

$$\begin{aligned}
|\mu| &\lesssim \frac{m(N_1)}{m(N_2)m(N_3)m(N_4)} \\
&\lesssim \frac{1}{m(N_3)m(N_4)}.
\end{aligned} \tag{3.35}$$

Por (3.22),(3.23),(3.24), (3.34) e (3.35), temos:

$$\begin{aligned}
X_1 &\lesssim \frac{1}{m(N_3)m(N_4)} \left\| \partial_t I u_1^{l,J} \right\|_{L_t^{2+(J)} L_x^{\infty-}} \left\| I u_2^{l,J} \right\|_{L_t^{\infty}(J) L_x^2} \left\| I u_3 \right\|_{L_t^{\infty-}(J) L_x^{2+}} \left\| I u_4 \right\|_{L_t^{2+(J)} L_x^{\infty-}} \\
&\lesssim \frac{1}{m(N_3)m(N_4)} N_1^- N_1 \frac{1}{N_2} \frac{N_3^+}{N_3} N_4^+ \left\| D^{-(1-)} \partial_t I u_1^{l,J} \right\|_{L_t^{2+(J)} L_x^{\infty-}} \left\| D^{1-0} I u_2^{l,J} \right\|_{L_t^{\infty}(J) L_x^2} \\
&\quad \left\| D^{1-(0+)} I u_3 \right\|_{L_t^{\infty-}(J) L_x^{2+}} \left\| D^{1-(1-)} I u_4 \right\|_{L_t^{2+(J)} L_x^{\infty-}} \\
&\lesssim (\max\{1, |J|\})^{\frac{1}{2}} \frac{N_2^- N_4^+}{N_1^-}.
\end{aligned}$$

De modo similar,

$$\begin{aligned}
X_2 &\lesssim \frac{1}{m(N_3)m(N_4)} \left\| \partial_t Iu_1^{l,J} \right\|_{L_t^{2+}(J)L_x^{\infty-}} \left\| Iu_2^{nl,J} \right\|_{L_t^{\infty}(J)L_x^2} \left\| Iu_3 \right\|_{L_t^{\infty-}(J)L_x^{2+}} \\
&\quad \left\| Iu_4 \right\|_{L_t^{2+}(J)L_x^{\infty-}} \\
&\lesssim (\max\{1, |J|\})^{\frac{1}{2}} \frac{N_2^{-} N_4^+}{N_1^{-}} \\
X_3 &\lesssim \frac{1}{m(N_3)m(N_4)} \left\| \partial_t Iu_1^{l,J} \right\|_{L_t^{\infty}(J)L_x^2} \left\| Iu_2^{nl,J} \right\|_{L_t^{2+}(J)L_x^{\infty-}} \left\| Iu_3 \right\|_{L_t^{\infty-}(J)L_x^{2+}} \\
&\quad \left\| Iu_4 \right\|_{L_t^{2+}(J)L_x^{\infty-}} \\
&\lesssim \frac{1}{m(N_3)m(N_4)} N_2^{-} \frac{N_3^+}{N_3} N_4^+ \left\| D^{(-0)} \partial_t Iu_1^{nl,J} \right\|_{L_t^{\infty}(J)L_x^2} \left\| D^{1-(1-)} Iu_2^{l,J} \right\|_{L_t^{2+}(J)L_x^{\infty-}} \\
&\quad \left\| D^{1-(0+)} Iu_3 \right\|_{L_t^{\infty}(J)L_x^2} \left\| D^{1-(1-)} Iu_4 \right\|_{L_t^{2+}(J)L_x^{\infty-}}. \\
&\lesssim (\max\{1, |J|\})^{\frac{1}{2}} \frac{N_2^{-} N_4^+}{N_1^{-}}.
\end{aligned}$$

Para estimarmos X_4 escreveremos $u_3 = u_3^{l,J} + u_3^{nl,J}$ e assim será suficiente estimarmos

$$X_{4,1} = \left| \int_0^{\tau} \int_{\sum_{i=1}^4 \xi_i=0} \mu(\xi) \widehat{\partial_t Iu_1^{nl,J}}(t, \xi_1) \widehat{Iu_2^{nl,J}}(t, \xi_2) \widehat{Iu_3^{l,J}}(t, \xi_3) \widehat{Iu_4}(t, \xi_4) d\xi dt \right|$$

e

$$X_{4,2} = \left| \int_0^{\tau} \int_{\sum_{i=1}^4 \xi_i=0} \mu(\xi) \widehat{\partial_t Iu_1^{nl,J}}(t, \xi_1) \widehat{Iu_2^{nl,J}}(t, \xi_2) \widehat{Iu_3^{nl,J}}(t, \xi_3) \widehat{Iu_4}(t, \xi_4) d\xi dt \right|.$$

Portanto,

$$\begin{aligned}
X_{4,1} &\lesssim \frac{1}{m(N_3)m(N_4)} \left\| \partial_t Iu_1^{nl,J} \right\|_{L_t^{\infty-}(J)L_x^{2+}} \left\| Iu_2^{nl,J} \right\|_{L_t^{\infty}(J)L_x^2} \left\| Iu_3^{l,J} \right\|_{L_t^{2+}(J)L_x^{\infty-}} \\
&\quad \left\| Iu_4 \right\|_{L_t^{2+}(J)L_x^{\infty-}} \\
X_{4,1} &\lesssim \frac{1}{m(N_3)m(N_4)} N_1^+ \frac{1}{N_2} N_3^+ N_4^+ \left\| D^{-(0+)} \partial_t Iu_1^{nl,J} \right\|_{L_t^{\infty-}(J)L_x^{2+}} \left\| DIu_2^{nl,J} \right\|_{L_t^{\infty}(J)L_x^2} \\
&\quad \left\| D^{1-1-} Iu_3^{l,J} \right\|_{L_t^{2+}(J)L_x^{\infty-}} \left\| D^{1-(1-)} Iu_4 \right\|_{L_t^{2+}(J)L_x^{\infty-}} \\
&\lesssim (\max\{1, |J|\})^{\frac{1}{2}} \frac{N_2^{-} N_4^+}{N_1^{-}}
\end{aligned}$$

e pela Proposição 3.2.3, teremos

$$\begin{aligned}
X_{4,2} &\lesssim \frac{1}{m(N_3)m(N_4)} \left\| \partial_t Iu_1^{nl,J} \right\|_{L_t^{6-}(J)L_x^{3+}} \left\| Iu_2^{nl,J} \right\|_{L_t^6(J)L_x^3} \left\| Iu_3^{nl,J} \right\|_{L_t^6(J)L_x^3} \\
&\quad \left\| Iu_4 \right\|_{L_t^{2+}(J)L_x^{\infty-}} \\
&\lesssim \frac{1}{m(N_3)m(N_4)} N_1^+ \frac{1}{N_2} \frac{1}{N_3} N_4^+ \left\| \partial_t Iu_1^{nl,J} \right\|_{L_t^6(J)L_x^3} \left\| DIu_2^{nl,J} \right\|_{L_t^6(J)L_x^3} \\
&\quad \left\| DIu_3^{nl,J} \right\|_{L_t^6(J)L_x^3} \left\| D^{1-(1-)} Iu_4 \right\|_{L_t^{2+}(J)L_x^{\infty-}} \\
&\lesssim (\max\{1, |J|\})^{\frac{5}{2}} \frac{N_2^- N_4^+}{N^{2-}}.
\end{aligned}$$

-Caso 1.b: $N_3 \ll N$.

$$\begin{aligned}
|\mu(\xi_2, \xi_3, \xi_4)| &= \left| 1 + \frac{m(\xi_2, \xi_3, \xi_4)}{m(\xi_2)m(\xi_3)m(\xi_4)} \right| \\
&= \left| \frac{m(\xi_2)m(\xi_3)m(\xi_4) + m(\xi_2, \xi_3, \xi_4)}{m(\xi_2)m(\xi_3)m(\xi_4)} \right|.
\end{aligned}$$

Pelo teorema da desigualdade do valor médio, segue:

$$\begin{aligned}
|\mu(\xi_2, \xi_3, \xi_4)| &\lesssim \frac{|\nabla(\xi_2)||\xi_3 + \xi_4|}{m(\xi_2)} \\
&\lesssim \frac{N_3}{N_2}.
\end{aligned}$$

Agora para este μ que acabamos de calcular, se repetirmos os argumentos do Caso 1.a para os novos $X_1, X_2, X_3, X_{4,1}$ e $X_{4,2}$, veremos que aparece um fator N_3^α com $\alpha \geq 0$ e conseqüentemente comparável à N^α . Por exemplo,

$$\begin{aligned}
X_1 &\lesssim \frac{N_3}{N_2} \left\| \partial_t Iu_1^{l,J} \right\|_{L_t^{2+}(J)L_x^{\infty-}} \left\| Iu_2^{l,J} \right\|_{L_t^\infty(J)L_x^2} \left\| Iu_3 \right\|_{L_t^{\infty-}(J)L_x^{2+}} \left\| Iu_4 \right\|_{L_t^{2+}(J)L_x^{\infty-}} \\
X_1 &\lesssim \frac{N_3}{N_2} N_1^- N_1 \frac{1}{N_2} \frac{N_3 \pm}{N_3} N_4^+ \left\| D^{-(1-)} \partial_t Iu_1^{l,J} \right\|_{L_t^{2+}(J)L_x^{\infty-}} \left\| D^{1-0} Iu_2^{l,J} \right\|_{L_t^\infty(J)L_x^2} \\
&\quad \left\| D^{1-(0+)} Iu_3 \right\|_{L_t^\infty(J)L_x^2} \left\| D^{1-(1-)} Iu_4 \right\|_{L_t^{2+}(J)L_x^{\infty-}} \\
&\lesssim (\max\{1, |J|\})^{\frac{1}{2}} \frac{N_2^- N_4^+}{N^{1-}}.
\end{aligned}$$

- Caso 2: $N_1^* = N_1$ e $N_2^* = N_2$.

Pelo fato de $N_1 \sim N_2$, neste caso se repetirão todos o argumentos do caso anterior.

- Caso 3: $N_1^* = N_2$ e $N_2^* = N_3$.

Escrevendo $u_i = u_i^{l,J} + u_i^{nl,J}$, $i \in \{2, 3\}$, precisaremos estimar

$$\begin{aligned}
X'_1 &= \left| \int_0^\tau \int_{\sum_{i=1}^4 \xi_i=0} \mu(\xi) \widehat{\partial_t I u_1}(t, \xi_1) \widehat{I u_2^{l,J}}(t, \xi_2) \widehat{I u_3^{l,J}}(t, \xi_3) \widehat{I u_4}(t, \xi_4) d\xi dt \right| \\
X'_2 &= \left| \int_0^\tau \int_{\sum_{i=1}^4 \xi_i=0} \mu(\xi) \widehat{\partial_t I u_1}(t, \xi_1) \widehat{I u_2^{l,J}}(t, \xi_2) \widehat{I u_3^{nl,J}}(t, \xi_3) \widehat{I u_4}(t, \xi_4) d\xi dt \right| \\
X'_3 &= \left| \int_0^\tau \int_{\sum_{i=1}^4 \xi_i=0} \mu(\xi) \widehat{\partial_t I u_1}(t, \xi_1) \widehat{I u_2^{nl,J}}(t, \xi_2) \widehat{I u_3^{l,J}}(t, \xi_3) \widehat{I u_4}(t, \xi_4) d\xi dt \right| \\
X'_4 &= \left| \int_0^\tau \int_{\sum_{i=1}^4 \xi_i=0} \mu(\xi) \widehat{\partial_t I u_1}(t, \xi_1) \widehat{I u_2^{nl,J}}(t, \xi_2) \widehat{I u_3^{nl,J}}(t, \xi_3) \widehat{I u_4}(t, \xi_4) d\xi dt \right|
\end{aligned}$$

para

$$|\mu| \lesssim \frac{m(N_1)}{m(N_2)m(N_3)m(N_4)}. \quad (3.36)$$

Por (3.22), (3.23), (3.24), (3.34) e (3.36), teremos:

$$\begin{aligned}
X'_1 &\lesssim \frac{m(N_1)}{m(N_2)m(N_3)m(N_4)} \|\partial_t I u_1\|_{L_t^{\infty-}(J)L_x^{2+}} \left\| I u_2^{l,J} \right\|_{L_t^{\infty}(J)L_x^2} \left\| I u_3^{l,J} \right\|_{L_t^{2+}(J)L_x^{\infty-}} \\
&\quad \left\| I u_4 \right\|_{L_t^{2+}(J)L_x^{\infty-}} \\
&\lesssim \frac{m(N_1)}{m(N_2)m(N_3)m(N_4)} N_1^+ \frac{1}{N_2} N_3^+ N_4^+ \left\| D^{-(0+)} \partial_t I u_1^{nl,J} \right\|_{L_t^{\infty-}(J)L_x^{2+}} \left\| D I u_2^{l,J} \right\|_{L_t^{\infty}(J)L_x^2} \\
&\quad \left\| D^{1-(1-)} I u_3^{l,J} \right\|_{L_t^{2+}(J)L_x^{\infty-}} \left\| D^{1-(1-)} I u_4 \right\|_{L_t^{2+}(J)L_x^{\infty-}} \\
&\lesssim (\max\{1, |J|\})^{\frac{1}{2}} \frac{N_1^+ N_2^{--} N_4^+}{N_1^-}
\end{aligned}$$

e

$$\begin{aligned}
X'_2 &\lesssim \frac{m(N_1)}{m(N_2)m(N_3)m(N_4)} \|\partial_t I u_1\|_{L_t^{\infty-}(J)L_x^{2+}} \left\| I u_2^{l,J} \right\|_{L_t^{2+}(J)L_x^{\infty-}} \left\| I u_3^{nl,J} \right\|_{L_t^{\infty}(J)L_x^2} \\
&\quad \left\| I u_4 \right\|_{L_t^{2+}(J)L_x^{\infty-}}
\end{aligned}$$

$$\begin{aligned}
X'_2 &\lesssim \frac{m(N_1)}{m(N_2)m(N_3)m(N_4)} N_1^+ N_2^+ \frac{1}{N_3} N_4^+ \left\| D^{-(0+)} \partial_t I u_1 \right\|_{L_t^{\infty-}(J) L_x^{2+}} \\
&\quad \left\| D^{1-(1-)} I u_2^{l,j} \right\|_{L_t^{2+}(J) L_x^{\infty-}} \left\| D^{1-(1-)} I u_3^{l,j} \right\|_{L_t^{\infty}(J) L_x^2} \left\| D^{1-(1-)} I u_4 \right\|_{L_t^{2+}(J) L_x^{\infty-}} \\
&\lesssim (\max\{1, |J|\})^{\frac{1}{2}} \frac{N_1^+ N_2^{---} N_4^+}{N^{1-}}.
\end{aligned}$$

Similarmente, como $N_2 \sim N_3$, teremos

$$\begin{aligned}
X'_3 &\lesssim \frac{m(N_1)}{m(N_2)m(N_3)m(N_4)} \left\| \partial_t I u_1 \right\|_{L_t^{\infty-}(J) L_x^{2+}} \left\| I u_2^{nl,J} \right\|_{L_t^{\infty}(J) L_x^2} \left\| I u_3^{l,j} \right\|_{L_t^{2+}(J) L_x^{\infty-}} \\
&\quad \left\| I u_4 \right\|_{L_t^{2+}(J) L_x^{\infty-}} \\
&\lesssim (\max\{1, |J|\})^{\frac{1}{2}} \frac{N_1^+ N_2^{---} N_4^+}{N^{1-}}.
\end{aligned}$$

Para estimarmos X'_4 escreveremos $u_1 = u_1^{l,j} + u_1^{nl,j}$ e assim será suficiente estimarmos

$$X'_{4,1} = \left| \int_0^\tau \int_{\sum_{i=1}^4 \xi_i=0} \mu(\xi) \widehat{\partial_t I u_1^{l,j}}(t, \xi_1) \widehat{I u_2^{nl,j}}(t, \xi_2) \widehat{I u_3^{nl,j}}(t, \xi_3) \widehat{I u_4}(t, \xi_4) d\xi dt \right|$$

e

$$X'_{4,2} = \left| \int_0^\tau \int_{\sum_{i=1}^4 \xi_i=0} \mu(\xi) \widehat{\partial_t I u_1^{nl,j}}(t, \xi_1) \widehat{I u_2^{nl,j}}(t, \xi_2) \widehat{I u_3^{nl,j}}(t, \xi_3) \widehat{I u_4}(t, \xi_4) d\xi dt \right|.$$

Portanto,

$$\begin{aligned}
X'_{4,1} &\lesssim \frac{m(N_1)}{m(N_2)m(N_3)m(N_4)} \left\| \partial_t I u_1^{l,j} \right\|_{L_t^{2+}(J) L_x^{\infty-}} \left\| I u_2^{nl,j} \right\|_{L_t^{\infty}(J) L_x^2} \left\| I u_3^{nl,j} \right\|_{L_t^{\infty-}(J) L_x^{2+}} \\
&\quad \left\| I u_4 \right\|_{L_t^{2+}(J) L_x^{\infty-}} \\
X'_{4,1} &\lesssim \frac{m(N_1)}{m(N_2)m(N_3)m(N_4)} N_1^- N_1 \frac{1}{N_2} \frac{N_3^+}{N_3} N_4^+ \left\| D^{-(1-)} \partial_t I u_1^{l,j} \right\|_{L_t^{2+}(J) L_x^{\infty-}} \\
&\quad \left\| D I u_2^{nl,j} \right\|_{L_t^{\infty}(J) L_x^2} \left\| D^{1-(0+)} I u_3^{nl,j} \right\|_{L_t^{\infty-}(J) L_x^{2+}} \left\| D^{1-(1-)} I u_4 \right\|_{L_t^{2+}(J) L_x^{\infty-}} \\
&\lesssim (\max\{1, |J|\})^{\frac{1}{2}} \frac{N_1^+ N_2^{---} N_4^+}{N^{1-}}.
\end{aligned}$$

Pela Proposição 3.2.3, temos

$$\begin{aligned}
X'_{4,2} &\lesssim \frac{m(N_1)}{m(N_2)m(N_3)m(N_4)} \left\| \partial_t Iu_1^{nl,J} \right\|_{L_t^{6-}(J)L_x^{3+}} \left\| Iu_2^{nl,J} \right\|_{L_t^6(J)L_x^3} \left\| Iu_3^{nl,J} \right\|_{L_t^6(J)L_x^3} \\
&\quad \left\| Iu_4 \right\|_{L_t^{2+}(J)L_x^{\infty-}} \\
&\lesssim \frac{m(N_1)}{m(N_2)m(N_3)m(N_4)} N_1^+ \frac{1}{N_2} \frac{1}{N_3} N_4^+ \left\| \partial_t Iu_1^{nl,J} \right\|_{L_t^6(J)L_x^3} \left\| DIu_2^{nl,J} \right\|_{L_t^6(J)L_x^3} \\
&\quad \left\| DIu_3^{nl,J} \right\|_{L_t^6(J)L_x^3} \left\| D^{1-(1-)} Iu_4 \right\|_{L_t^{2+}(J)L_x^{\infty-}} \\
&\lesssim (\max\{1, |J|\})^{\frac{5}{2}} \frac{N_1^+ N_2^- N_4^+}{N^{2-}} \quad \square
\end{aligned}$$

3.3 Prova do teorema principal

Nesta seção provaremos o seguinte teorema:

Teorema 3.3.1 *O problema de Cauchy para a equação da onda cúbica é globalmente bem posto em $H^s(\mathbb{R}^3) \times H^{s-1}(\mathbb{R}^3)$ para $1 > s > \frac{13}{18} \cong 0,722$. Mais ainda, se $s > \frac{13}{18}$ está perto de $\frac{13}{18}$ e T é suficientemente grande então*

$$\|(u(T), \partial_t u(T))\|_{H^s \times H^{s-1}}^2 \leq C(\|u_0\|_{H^s}, \|u_1\|_{H^{s-1}}) T^{\frac{28s-18}{18s-13}+}. \quad (3.37)$$

Demonstração: Seja $T > 0$ e $N = N(T) \gg 1$ um parametro diádico a ser escolhido futuramente. A prova deste Teorema ocorrerá em três passos.

Passo 1: Provaremos que existe uma constante $C_0 = C_0(\|u_0\|_{H^s}, \|u_1\|_{H^{s-1}})$ tal que, se λ satisfaz $\lambda = C_0 N^{\frac{2(1-s)}{2s-1}}$ então $E(Iu_\lambda(0)) \leq \frac{1}{2}$.

Seja $\lambda \gg 1$, gostaríamos de estimar $E(Iu_\lambda(0))$.

Pela identidade de Plancherel teremos:

$$\begin{aligned} \|DIu_\lambda(0)\|_{L^2}^2 &\lesssim \int_{\mathbb{R}^3} |\xi|^2 m(\xi)^2 |\widehat{u}_\lambda(0, \xi)|^2 d\xi \\ &\lesssim \int_{|\xi| \leq 2N} |\xi|^2 |\widehat{u}_\lambda(0, \xi)|^2 d\xi + \int_{|\xi| \geq 2N} |\xi|^2 \frac{N^{2(1-s)}}{|\xi|^{2(1-s)}} |\widehat{u}_\lambda(0, \xi)|^2 d\xi \\ &\lesssim N^{2(1-s)} \|u_\lambda(0)\|_{\dot{H}^s}^2 \\ &\lesssim N^{2(1-s)} \lambda^{1-2s} \|u_0\|_{\dot{H}^s}^2 \\ &\lesssim N^{2(1-s)} \lambda^{1-2s} \|u_0\|_{H^s}^2 \\ \| \partial_t Iu_\lambda(0) \|_{L^2}^2 &\lesssim \int_{\mathbb{R}^3} m(\xi)^2 |\partial_t \widehat{u}_\lambda(0, \xi)|^2 d\xi \\ &\lesssim \int_{|\xi| \leq 2N} |\partial_t \widehat{u}_\lambda(0, \xi)|^2 d\xi + \int_{|\xi| \geq 2N} \frac{N^{2(1-s)}}{|\xi|^{2(1-s)}} |\partial_t \widehat{u}_\lambda(0, \xi)|^2 d\xi \\ &\lesssim N^{2(1-s)} \|\partial_t u_\lambda(0)\|_{\dot{H}^{s-1}}^2 \\ &\lesssim N^{2(1-s)} \left(\int_{|\xi| \leq 1} |\partial_t \widehat{u}_\lambda(0, \xi)|^2 d\xi + \int_{|\xi| \geq 1} |\xi|^{2(s-1)} |\partial_t \widehat{u}_\lambda(0, \xi)|^2 d\xi \right) \\ &\lesssim N^{2(1-s)} \left(\frac{1}{\lambda} \int_{|\xi| \leq \lambda} |\widehat{u}_1(\xi)|^2 d\xi + \lambda^{1-2s} \int_{|\xi| \geq \lambda} |\xi|^{2(s-1)} |\widehat{u}_1(\xi)|^2 d\xi \right) \\ &\lesssim N^{2(1-s)} \lambda^{1-2s} \|u_1\|_{H^{s-1}}^2. \end{aligned}$$

Utilizando o Teorema 1.3.2 para $s = \frac{3}{4}$, obtemos:

$$\begin{aligned}
\|Iu_\lambda(0)\|_{L^4}^2 &\lesssim \int_{\mathbb{R}^3} |\xi|^{\frac{3}{2}} |\widehat{Iu_\lambda}(0, \xi)|^2 d\xi \\
&\lesssim \int_{|\xi| \leq 2N} |\xi|^{\frac{3}{2}} |\widehat{u_\lambda}(0, \xi)|^2 d\xi + \int_{|\xi| \geq 2N} |\xi|^{\frac{3}{2}} \frac{N^{2(1-s)}}{|\xi|^{2(1-s)}} |\widehat{u_\lambda}(0, \xi)|^2 d\xi \\
&\lesssim \frac{1}{\lambda^{\frac{1}{2}}} \int_{|\xi| \leq 2N\lambda} |\xi|^{\frac{3}{2}} |\widehat{u_0}(\xi)|^2 d\xi + N^{2(1-s)} \lambda^{\frac{3}{2}-2s} \int_{|\xi| \geq 2N\lambda} |\xi|^{2s-\frac{1}{2}} |\widehat{u_0}(\xi)|^2 d\xi \\
&= \frac{1}{\lambda^{\frac{1}{2}}} \int_{|\xi| \leq 2N\lambda} |\xi|^{\frac{3}{2}+2s-2s} |\widehat{u_0}(\xi)|^2 d\xi + N^{2(1-s)} \lambda^{\frac{3}{2}-2s} \int_{|\xi| \geq 2N\lambda} \frac{|\xi|^{2s}}{|\xi|^{\frac{1}{2}}} |\widehat{u_0}(\xi)|^2 d\xi \\
&\lesssim \frac{\text{Max}\{(N\lambda)^{\frac{3}{2}-2s}, 1\}}{\lambda^{\frac{1}{2}}} \|u_0\|_{H^s}^2 + N^{\frac{3}{2}-2s} \lambda^{1-2s} \|u_0\|_{H^s}^2.
\end{aligned}$$

Portanto,

$$\|Iu_\lambda(0)\|_{L^4}^4 \lesssim N^{2(1-s)} \lambda^{1-2s} \|u_0\|_{H^s}^4.$$

Assim,

$$E(Iu_\lambda(0)) \lesssim N^{2(1-s)} \lambda^{1-2s} (\|u_0\|_{H^s}^2 + \|u_1\|_{H^{s-1}}^2 + \|u_0\|_{H^s}^4).$$

Portanto existe $C_0 = C_0(\|u_0\|_{H^s}, \|u_1\|_{H^{s-1}})$ tal que, se λ satisfaz

$$\lambda = C_0 N^{\frac{2(1-s)}{2s-1}} \tag{3.38}$$

então

$$E(Iu_\lambda(0)) \leq \frac{1}{2}. \tag{3.39}$$

Passo 2: Seja F_T o seguinte conjunto:

$$F_T = \left\{ T' \in [0, T] : \sup_{t \in [0, \lambda T']} E(Iu_\lambda(t)) \leq 1 \right\}$$

com λ satisfazendo (3.38). Neste passo iremos provar que F_T é todo intervalo $[0, T]$ para algum $N = N(T) \gg 1$.

Como $[0, T]$ é conexo em \mathbb{R} , é suficiente provarmos que F_T é não vazio, fechado e aberto em $[0, T]$.

- F_T é não vazio, pois $0 \in F_T$ pelo passo 1.
- Seja $\{T'_n\}_{n \in \mathbb{N}}$ uma sequência em F_T convergindo para algum $T_0 \in [0, T]$.

Dado $\bar{t} \in [0, \lambda T_0]$, segue:

1. Se $\bar{t} < \lambda T_0$, então existe $n_0 \in \mathbb{N}$ tal que $\bar{t} \leq \lambda T'_{n_0}$ e portanto

$$E(Iu_\lambda(\bar{t})) \leq \sup_{t \in [0, \lambda T'_{n_0}]} E(Iu_\lambda(t)) \leq 1.$$

2. Se $\bar{t} = \lambda T_0$, então por continuidade teremos as convergências:

$$\lim_{n \rightarrow \infty} |\partial_t Iu_\lambda(x, \lambda T'_n)|^2 = |\partial_t Iu_\lambda(x, \lambda T_0)|^2$$

$$\lim_{n \rightarrow \infty} |DIu_\lambda(x, \lambda T'_n)|^2 = |DIu_\lambda(x, \lambda T_0)|^2$$

$$\lim_{n \rightarrow \infty} |Iu_\lambda(x, \lambda T'_n)|^4 = |Iu_\lambda(x, \lambda T_0)|^4.$$

E pelo teorema da convergência domínada, segue a convergência:

$$\lim_{n \rightarrow \infty} E(Iu_\lambda(\lambda T'_n)) = E(Iu_\lambda(\lambda T_0)).$$

Como $E(Iu_\lambda(\lambda T'_n)) \leq 1$ por hipótese, pois $T'_n \in F_T$ para todo $n \in \mathbb{N}$, então $E(Iu_\lambda(\lambda T_0)) \leq 1$.

Portanto, $\sup_{t \in [0, \lambda T_0]} E(Iu_\lambda(t)) \leq 1$ e assim F_T é fechado em $[0, T]$.

- Provaremos agora que F_T é aberto.

Utilizando o teorema da convergência domínada e repetindo alguns dos últimos argumentos, temos a continuidade de $E(Iu_\lambda(t))$, portanto tomando $\tilde{T}' \in F_T$ e fixando $0 < \epsilon < 1$, existe $\delta > 0$ tal que

$$|\lambda \tilde{T}' - t| < \delta \Rightarrow |E(Iu_\lambda(\lambda \tilde{T}')) - E(Iu_\lambda(t))| < \epsilon, \quad \forall t \in [0, \lambda T]. \quad (3.40)$$

Tomando $\eta < \frac{\delta}{\lambda}$, afirmamos que se $T' \in (\tilde{T}' - \eta, \tilde{T}' + \eta) \cap [0, T]$ então

$$\sup_{t \in [0, \lambda T']} E(Iu_\lambda(t)) \leq 2.$$

De fato, fixado $T' \in (\tilde{T}' - \eta, \tilde{T}' + \eta) \cap [0, T]$, há dois casos a considerar:

1. Se $T' \leq \tilde{T}'$, então $\sup_{t \in [0, \lambda T']} E(Iu_\lambda(t)) \leq \sup_{t \in [0, \lambda \tilde{T}']} E(Iu_\lambda(t)) \leq 1$, pois $\tilde{T}' \in F_T$.
2. Se $T' > \tilde{T}'$, então $[0, \lambda T'] = [0, \lambda \tilde{T}'] \cup [\lambda \tilde{T}', \lambda T']$. Portanto,

$$\sup_{t \in [0, \lambda T']} E(Iu_\lambda(t)) = \max \left\{ \sup_{t \in [0, \lambda \tilde{T}']} E(Iu_\lambda(t)), \sup_{t \in [\lambda \tilde{T}', \lambda T']} E(Iu_\lambda(t)) \right\}.$$

Dado $t \in [\lambda \tilde{T}', \lambda T']$, temos

$$|\lambda \tilde{T}' - t| < |\lambda \tilde{T}' - \lambda T'| < \lambda |\tilde{T}' - T'| < \lambda \eta < \delta.$$

Por (3.40) e desigualdade triangular, segue:

$$E(Iu_\lambda(t)) \leq |E(Iu_\lambda(\lambda\tilde{T}')) - E(Iu_\lambda(t))| + E(Iu_\lambda(\lambda\tilde{T}')) < \epsilon + 1 \leq 2.$$

Portanto,

$$\sup_{t \in [0, \lambda T']} E(Iu_\lambda(t)) \leq 2. \quad (3.41)$$

Primeiramente, observemos que se $\sup_{t \in [0, \lambda T']} E(Iu_\lambda(t)) \leq \frac{1}{2}$, então $T' \in F_T$. O nosso intuito neste momento é o exaurir todas as possibilidades e a ainda sim concluir que $T' \in F_T$. Portanto, suponhamos agora que $\sup_{t \in [0, \lambda T']} E(Iu_\lambda(t)) > \frac{1}{2}$.

Se $\lambda T' \leq 1$, então por (3.39), (3.41) e Proposição 3.2.4, teremos:

$$\left| \sup_{t \in [0, \lambda T']} E(Iu_\lambda(t)) - \frac{1}{2} \right| \leq \left| \sup_{t \in [0, \lambda T']} E(Iu_\lambda(t)) - E(Iu_\lambda(0)) \right| \lesssim \frac{1}{N^{1-}}. \quad (3.42)$$

Se por outro lado supormos $\lambda T' > 1$, então podemos dividir o intervalo $[0, \lambda T']$ em subintervalos $(J_i = [T_{i-1}, T_i])_{i \in [1, \dots, n]}$ tal que $|J_1| = \dots = |J_{n-1}| = \epsilon$ e $|J_n| \leq \epsilon$, onde $1 < \epsilon \leq \lambda T'$ é uma constante ainda a ser determinada.

Dessa forma obtemos

$$\left| \sup_{t \in [0, \lambda T']} E(Iu_\lambda(t)) - \frac{1}{2} \right| \leq \sum_{i=1}^n \left| \sup_{t \in J_i} E(Iu_\lambda(t)) - E(Iu_\lambda(T_{i-1})) \right|$$

e pela Proposição 3.2.4, teremos:

$$\left| \sup_{t \in [0, \lambda T']} E(Iu_\lambda(t)) - \frac{1}{2} \right| \lesssim \frac{\lambda T'}{\epsilon} \left(\frac{\epsilon^{\frac{1}{2}}}{N^{1-}} + \frac{\epsilon^{\frac{5}{2}}}{N^{2-}} \right). \quad (3.43)$$

Procuramos agora minimizar o lado direito de (3.43) com respeito a ϵ .

Se $\lambda T' > N^{\frac{1}{2}}$, então escolhendo $\epsilon \sim N^{\frac{1}{2}}$, teremos:

$$\left| \sup_{t \in [0, \lambda T']} E(Iu_\lambda(t)) - \frac{1}{2} \right| \lesssim \frac{\lambda T'}{N^{\frac{5}{4-}}}. \quad (3.44)$$

Agora, se $\lambda T' \lesssim N^{\frac{1}{2}}$, então escolheremos $\epsilon = \lambda T'$ para obter

$$\left| \sup_{t \in [0, \lambda T']} E(Iu_\lambda(t)) - \frac{1}{2} \right| \lesssim \frac{1}{N^{\frac{3}{4-}}}. \quad (3.45)$$

Sendo K_0, K_1 e K_2 as constantes determinadas pela relação \lesssim em (3.42), (3.44) e (3.45) respectivamente, seja $K = \max\{K_0, K_1, K_2\}$.

Lembrando que $\lambda = C_0 N^{\frac{2(1-s)}{2s-1}}$, segue

$$\frac{\lambda T}{N^{\frac{5}{4}-}} = \frac{TC_0 N^{\frac{2(1-s)}{2s-1}}}{N^{\frac{5}{4}-}} = \frac{TC_0 N^{\frac{2(1-s)}{2s-1}}}{N^{\frac{5}{4}-\eta}} = TC_0 N^{\frac{2(1-s)}{2s-1} - \frac{5}{4} + \eta} \quad (3.46)$$

para algum $\eta > 0$ muito pequeno.

Como $s > \frac{13}{18}$, temos $\frac{2(1-s)}{2s-1} - \frac{5}{4} + \eta < 0$ e portanto para N suficientemente grande, podemos ter $\frac{K\lambda T}{N^{\frac{5}{4}-}} \leq \frac{1}{2}$.

Portando, desde que $s > \frac{13}{18}$ podemos para cada T escolher $N = N(T) \gg 1$ tal que

$$K \max \left(\frac{1}{N^{1-}}, \frac{\lambda T}{N^{\frac{5}{4}-}}, \frac{1}{N^{\frac{3}{4}-}} \right) \leq \frac{1}{2}. \quad (3.47)$$

Com esta escolha de N , teremos:

$$\left| \sup_{t \in [0, \lambda T']} E(Iu_\lambda(t)) - \frac{1}{2} \right| \leq \frac{1}{2}$$

e portanto,

$$\sup_{t \in [0, \lambda T']} E(Iu_\lambda(t)) \leq \left| \sup_{t \in [0, \lambda T']} E(Iu_\lambda(t)) - \frac{1}{2} \right| + \frac{1}{2} \leq 1.$$

Com isso provamos que se $T' \in (\tilde{T}' - \delta, \tilde{T}' + \delta) \cap [0, T]$ então $T' \in F_T$ e portanto F_T é aberto em $[0, T]$.

Logo, pela conexidade de $[0, T]$, temos $F_T = [0, T]$.

Passo 3: Efetuando uma mudança de escala e utilizando o Passo 2, obteremos

$$\begin{aligned} \sup_{t \in [0, T]} E(Iu(t)) &\lesssim \lambda \sup_{t \in [0, \lambda T]} E(Iu_\lambda(t)) \\ &\lesssim \lambda. \end{aligned} \quad (3.48)$$

e pela Proposição 3.2.1 obtemos uma relação do tipo (2) que nos garante a boa colocação global do problema em $H^s \times H^{s-1}$ para $\frac{13}{18} < s < 1$. Agora, se T é suficientemente grande e $s > \frac{13}{18}$ está suficientemente perto de $\frac{13}{18}$ então existirá um N satisfazendo

$$\frac{0,9}{2} \leq \frac{K\lambda T}{N^{\frac{5}{4}-}} \leq \frac{1}{2}. \quad (3.49)$$

Note que esta escolha de N é feita de modo que ainda satisfaça (3.47).

Por (3.46) e (3.49), teremos

$$N^{\frac{2(1-s)}{1-2s} + \frac{5}{4}-} \leq \frac{2}{0,9} KTC_0$$

e portanto:

$$N \leq \left(\frac{2}{0,9} KTC_0 \right)^{\frac{8s-4}{18s-13}^+}. \quad (3.50)$$

Agora, utilizando a Proposição 3.2.1 e (3.48) partiremos da relação

$$\|u(T)\|_{H^s}^2 + \|\partial_t u(T)\|_{H^{s-1}}^2 \lesssim \|u_0\|_{H^s} + (T^2 + 1)\lambda$$

e refinando ela ao longo do texto obteremos (3.37).

Lembrando que λ satisfaz (3.38), segue apartir da última desigualdade e de (3.50) que

$$\|u(T)\|_{H^s}^2 + \|\partial_t u(T)\|_{H^{s-1}}^2 \lesssim \|u_0\|_{H^s} + (T^2 + 1)C_0 \left(\left(\frac{2}{0,9} KTC_0 \right)^{\frac{8s-4}{18s-13}^+} \right)^{\frac{2(1-s)}{2s-1}}.$$

Tendo em vista que $\frac{2(1-s)}{2s-1} \leq \frac{5}{4}$, $\forall s \geq \frac{13}{18}$, segue para T suficientemente grande,

$$\begin{aligned} \|u(T)\|_{H^s}^2 + \|\partial_t u(T)\|_{H^{s-1}}^2 &\lesssim \|u_0\|_{H^s} + (T^2 + 1)C_0 \left(\left(\frac{2}{0,9} KTC_0 \right)^{\frac{8s-4}{18s-13}^+} \right)^{\frac{5}{4}} \\ &= \|u_0\|_{H^s} + T^2 C_0 \left(\frac{2}{0,9} KTC_0 \right)^{\frac{10s-5}{18s-13}^+} + C_0 \left(\frac{2}{0,9} KTC_0 \right)^{\frac{10s-5}{18s-13}^+}. \end{aligned}$$

Portanto,

$$\|u(T)\|_{H^s}^2 + \|\partial_t u(T)\|_{H^{s-1}}^2 \lesssim \quad (3.51)$$

$$\|u_0\|_{H^s} + C_0 \left(\left(\frac{2}{0,9} KC_0 \right)^{\frac{10s-5}{18s-13}^+} \right) T^{\frac{46s-31}{18s-13}^+} + C_0 \left(\left(\frac{2}{0,9} KC_0 \right)^{\frac{10s-5}{18s-13}^+} \right) T^{\frac{10s-5}{18s-13}^+}.$$

Como $s > \frac{13}{18}$ temos $10s - 5 < 28s - 18$ e portanto para $T \geq 1$, obtemos a relação abaixo:

$$T^{\frac{10s-5}{18s-13}^+} < T^{\frac{28s-18}{18s-13}^+}. \quad (3.52)$$

Por outro lado se s está suficientemente próximo de $\frac{13}{18}$, podemos ter

$$T^{\frac{46s-31}{18s-13}^+} < T^{\frac{28s-18}{18s-13}^+}. \quad (3.53)$$

Para concluir, por (3.51), (3.52) e (3.53), obtemos:

$$\begin{aligned} \|u(T)\|_{H^s}^2 + \|\partial_t u(T)\|_{H^{s-1}}^2 &\lesssim \|u_0\|_{H^s} + C_0 \left(\left(\frac{2}{0,9} K C_0 \right)^{\frac{10s-5}{18s-13}^+} \right) T^{\frac{28s-18}{18s-13}^+} \\ &\lesssim \left[\|u_0\|_{H^s} + C_0 \left(\left(\frac{2}{0,9} K C_0 \right)^{\frac{10s-5}{18s-13}^+} \right) \right] T^{\frac{28s-18}{18s-13}^+}. \end{aligned}$$

Finalizando a demonstração. \square

Referências Bibliográficas

- [1] Alinhac, S., *Hiperbolic Differential Equations*, Springer, New York, 2009.
- [2] Bahouri, H., Chemin, J.Y., *On Global Well-Posedness for Defocusing Cubic Wave Equation*, International Mathematics Researches Notes, 1-12, 2006.
- [3] Barros-Neto, J., *An Introduction to the Theory of Distributions*, Marcel Dekker, New York, 1973.
- [4] Bergh, J. e Löfström, J., *Interpolation Spaces*, Springer, Berlim, 1976.
- [5] Bourgain, J., *Refinement of Strichartz inequality and applications to 2D - NLS with critical nonlinearity*, Internat. Math. Res. Notices, **5** (1998), 253-283.
- [6] Chemin, J.-Y., *Théorie des Équations D'Évolution, Notes du Course*, Laboratoire J. L. Lions.
- [7] Coifman, R. R. and Meyer, Y., *Commutateurs d'integrales singulières et opérateurs multilinéaires*, Ann. Inst. Fourier (Grenoble), **28** (1978), 177-202.
- [8] Colliander, J., Keel, M., Staffilani, G., Takaoka H., and Tao, T., *Almost conservation laws and global rough solutions to a nonlinear Schrödinger equation*, Math. Res. Letters, **9** (2002), 659-682.
- [9] Danchin, R., *Fourier Analysis Methods for PDE's, Notes of Course*, Wuhan Normal University, 2005.
- [10] Folland, G.B., *Real Analysis: Moderns techniques and its applications*, Jonh Wiley, New York, 1984.
- [11] Gallagher, I. e Planchon, F., *On global solutions to a dofocusing semi-linear wave equation*, Revista Mathematicá Iberoamericana, **19** (2003), 161-177.
- [12] Ginebre, J. e Velo, G., *Generalized Strichartz inequalities for the wave equation*, J.Funct. Anal.**133**(1995), 50-68.
- [13] Hörmander, L., *The Analysis of Linear Partial Differential Operators*, Vol.1, Springer-Verlang, Berlin, 1990.
- [14] Hounie, J., *Teoria Elementar das Distribuições*, Instituto de matemática Pura e Aplicada, Rio de Janeiro, 1970.

- [15] Keel, M. e Tao, T., *Endpoint Strichartz estimates*, Amer. J. Math. **120** (1998),no. 5, 955,980.
- [16] Kenig , C. E., Ponce, G., Vega, L., *Global well-posedness for semi-linear wave equations*, Communications in Partial Differential Equations **25**, n. 9-10, 1741-1752, 2000.
- [17] Klainerman, W., Tataru, D., *On the optimal local regularity for Yang-Mills equations in \mathbb{R}^{4+1}* , Journal of the American Mathematical Society **12**, n.1, 93-116, 1999.
- [18] Lindbald, H. and Sogge, C., *On existence and scattering with minimal regularity for semilinear wave equations*, Journal of Functional Anaysis **130**, n.102, 357-426, 1995.
- [19] Marshall, B., *Mixed norm estimates for the Klein-Gordon equation*, Conference on harmonic analysis in honor of Antoni Zygmund, Vol. I, II (Chicago, Ill., 1981), Wadsworth Math. Ser., Wadsworth, Belmont, CA, (1983),pp. 638-649.
- [20] Oliveira, C. R. de, *Introdução a Análise Funcional*, 3 ed., Instituto de Matemática Pura e Aplicada, Rio de Janeiro, 2010.
- [21] Pecher, H. , *Nonlinear small data scattering for the wave and Klein-Gordon equation*,Math. Z. **185** (1984), no. 2, 261-270.
- [22] Peetre, J., *New thoughts on Besov spaces*, Duke University Mathematical Series **1**, Durham N. C. (1976).
- [23] Roy, T., *Adapted linear-nonlinear decomposition and global well-posedness for solutions to the defocusing cubic wave equation on \mathbb{R}^3* , Discrete and Continuous Dynamical Systems, Volume **24**, Number 4, August 2009.
- [24] Roy, T., *Global Analysis of the Defocusing Cubic Wave Equation in Dimension 3*, Ph.D thesis, University of California Los Angeles, 2008.
- [25] Roy, T., *Global well-posedness for the radial defocusing cubic wave equation on \mathbb{R}^3 and for rough data*, Electronic Journal of Differential Equations, Vol. 2007(2007), No. 166, pp. 1-22.
- [26] Stein, E. M., *Singular Integrals and Differentiability Properties of Functions*. Princeton Univ. Press, Princeton. NJ, 1970.
- [27] Strichartz, R., *Restrictions of Fourier transforms to quadratic surfaces and decay of solutions of wave equations*, Duke Math. J. **44** (1977), no. 3, 705-714.
- [28] Triebel H. , *Theory of function spaces, Monographs in Mathematics*, vol. **78**, Birkhäuser Verlag, Basel, 1983.